

ANEXO 10: Curvas Características de los perfiles base (Perfiles FX).

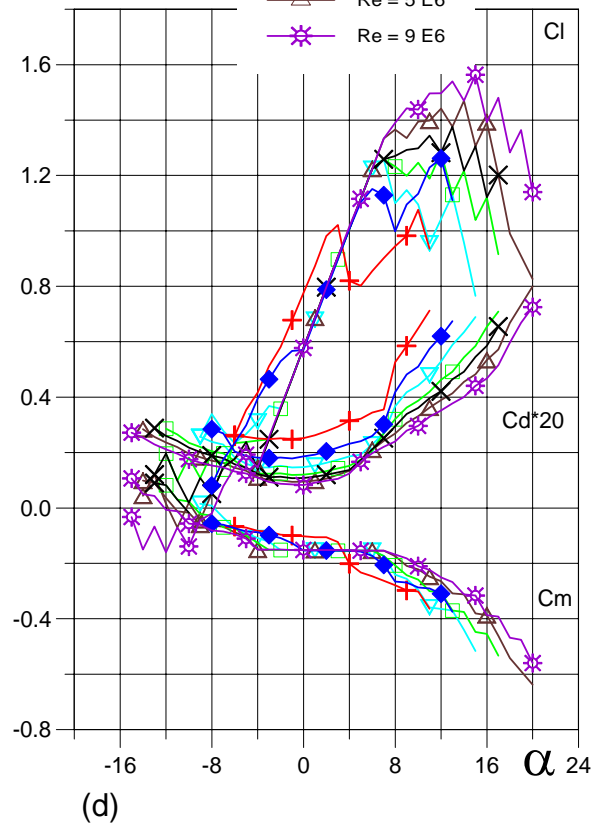
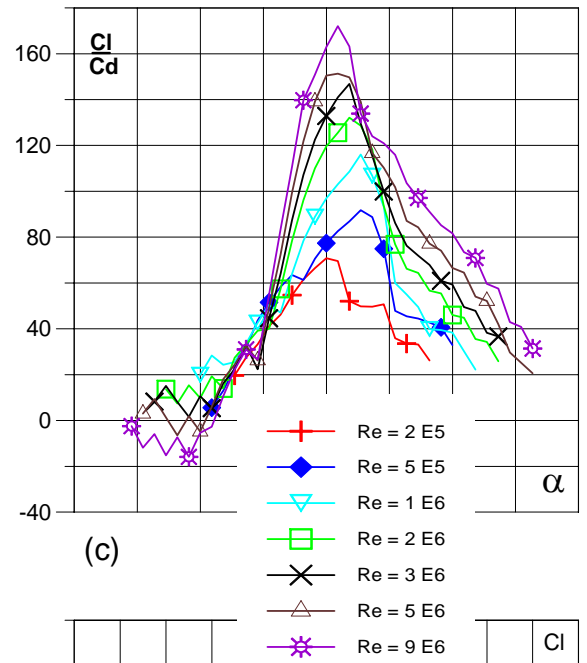
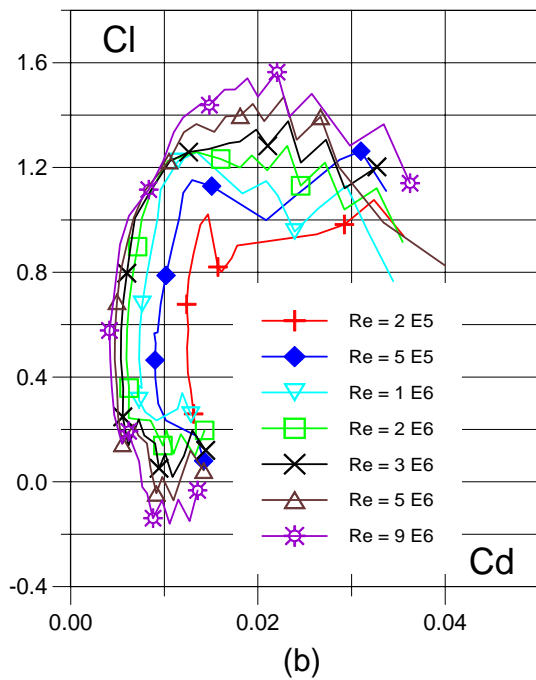
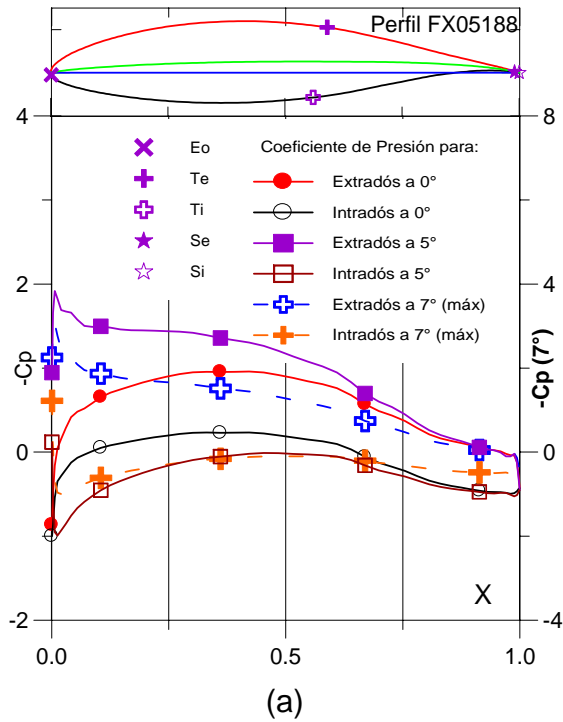


Fig. 5.3.3. (a) C_p (0° , 5° y Máx) vs. X para $Re = 1 E 6$ (leer $C_{p\text{máx}}$ a la derecha) y (b) Curvas Polares del Perfil FX05188.

Fig. 5.3.4. (c) Curvas de Cl/C_d y (d) Cl , C_d , C_m vs. Ángulo de ataque del Perfil FX05188.

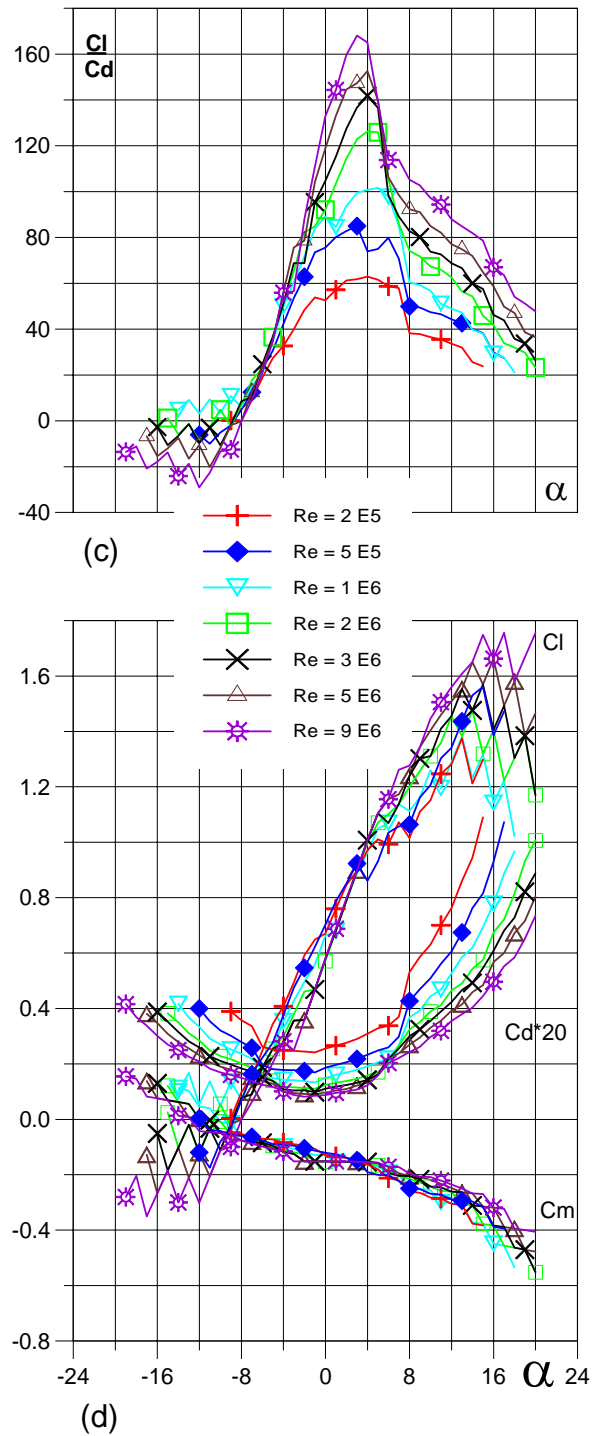
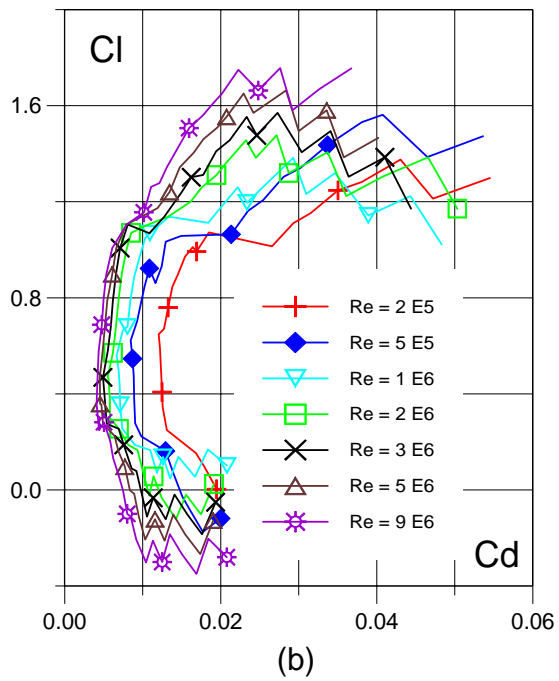
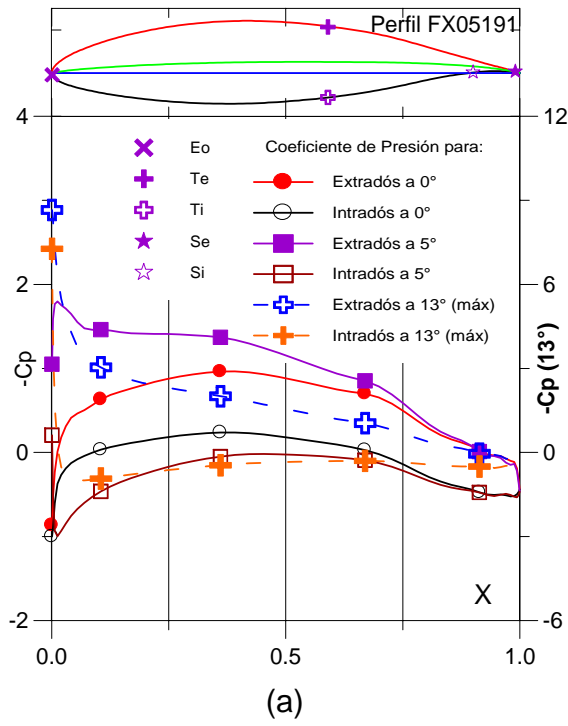


Fig. 5.3.5. (a) C_p (0° , 5° y Máx) vs. X para $Re = 1 E 6$ (leer $C_{p\text{máx}}$ a la derecha) y (b) Curvas Polares del Perfil FX05191.

Fig. 5.3.6. (c) Curvas de Cl/Cd y (d) Cl , Cd , C_m vs. Ángulo de ataque del Perfil FX05191.

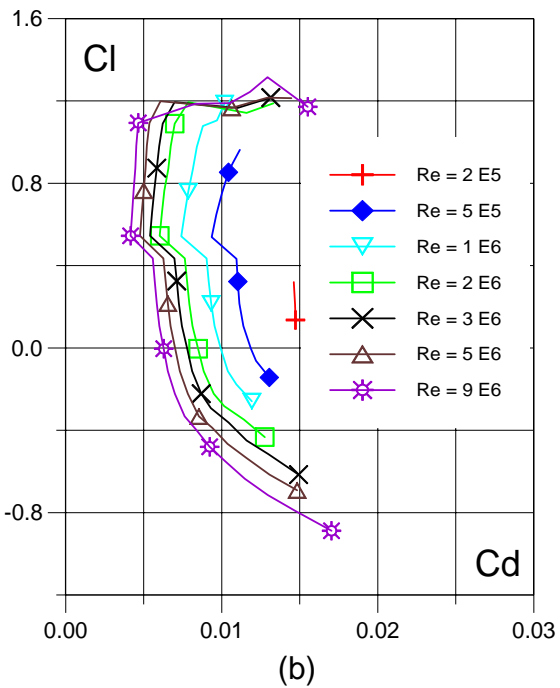
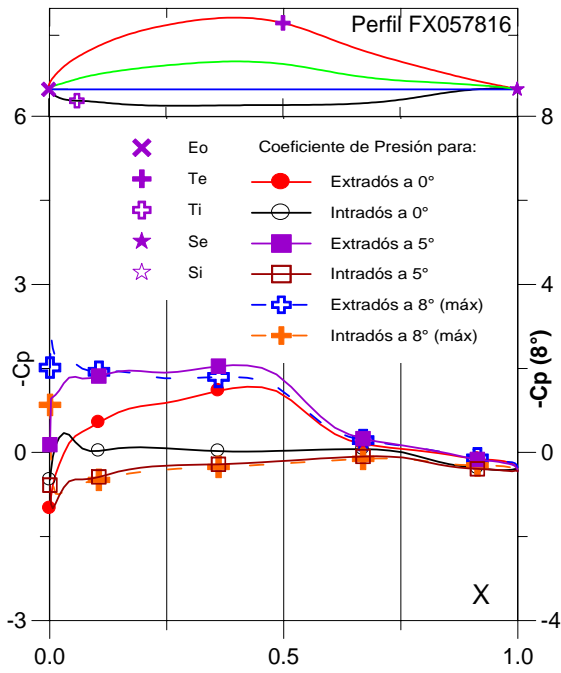


Fig. 5.3.7. (a) C_p (0°, 5° y Máx) vs. X para $Re = 1 E 6$ (leer $C_{p\text{máx}}$ a la derecha) y (b) Curvas Polares del Perfil FX057816.

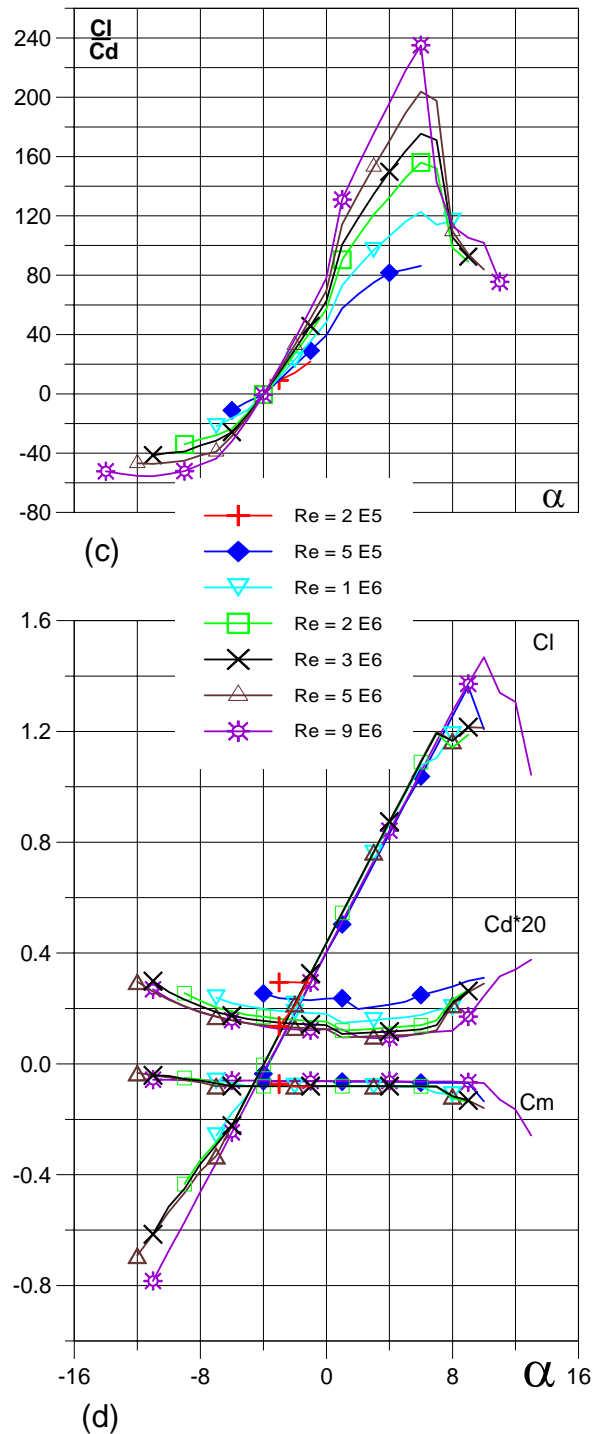


Fig. 5.3.8. (c) Curvas de Cl/Cd y (d) Cl, Cd, Cm vs. Ángulo de ataque del Perfil FX057816.

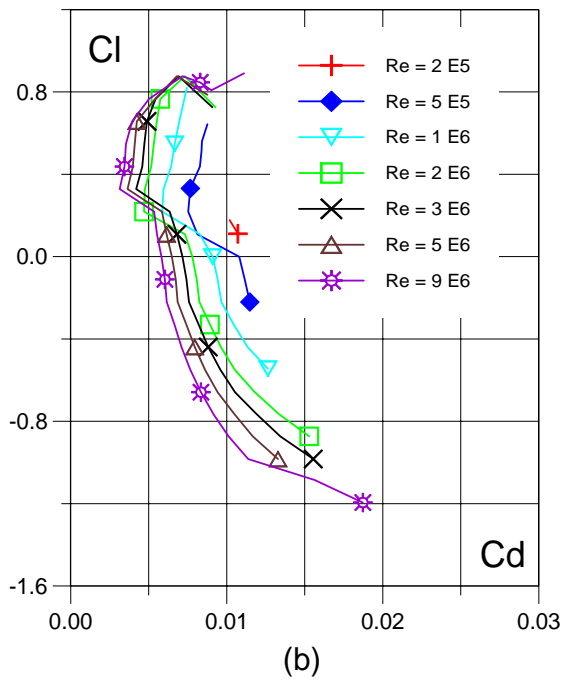
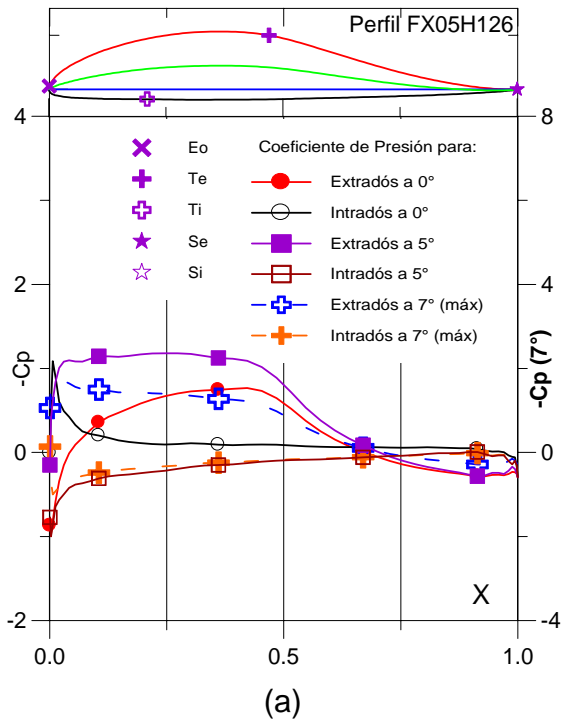


Fig. 5.3.9. (a) C_p (0, 5 y Max) vs. X para $Re = 1 E 6$ (leer $C_{p\text{max}}$ a la derecha) y (b) Curvas Polares del Perfil FX05H126.

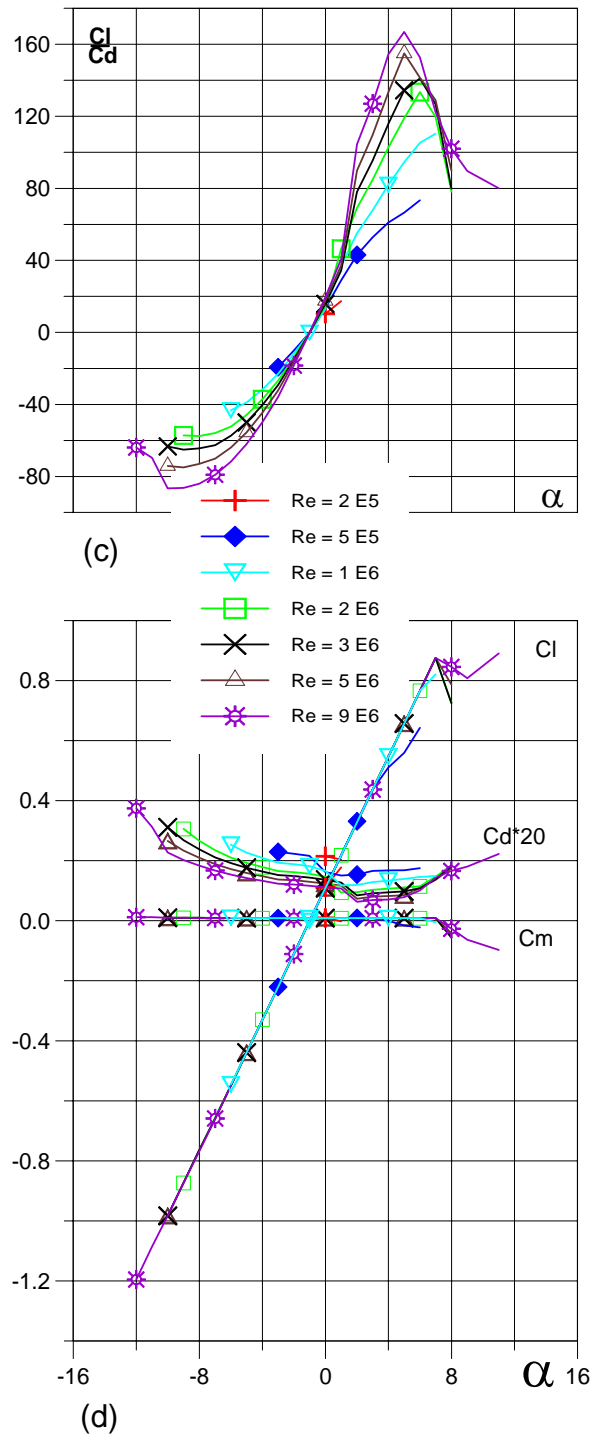


Fig. 5.3.10. (c) Curvas de Cl/C_d y (d) Cl , C_d , C_m vs. ngulo de ataque del Perfil FX05H126.

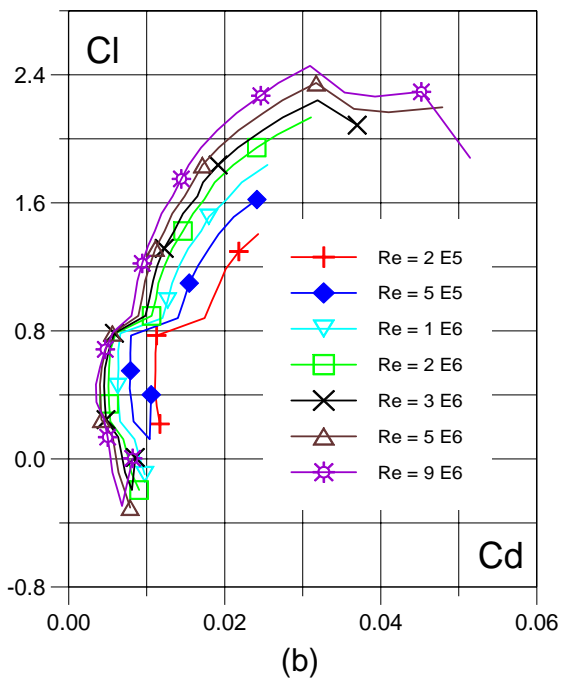
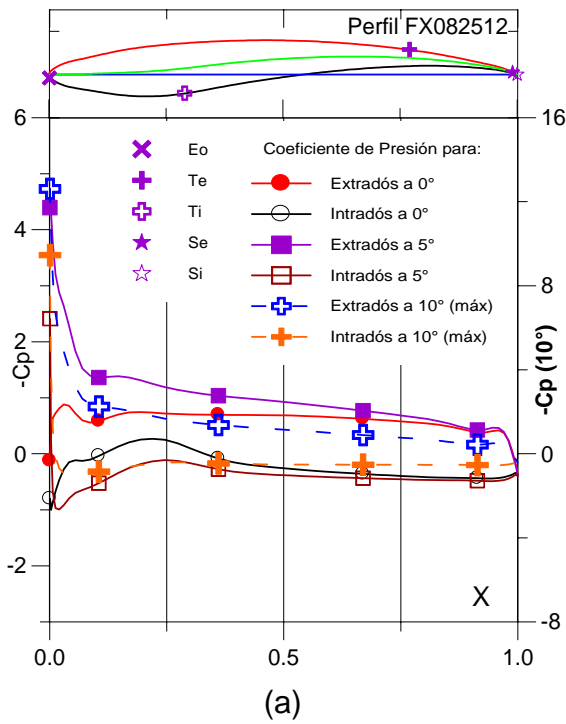


Fig. 5.3.11. (a) C_p (0° , 5° y Máx) vs. X para $Re = 1 E 6$ (leer $C_{p\text{máx}}$ a la derecha) y (b) Curvas Polares del Perfil FX082512.

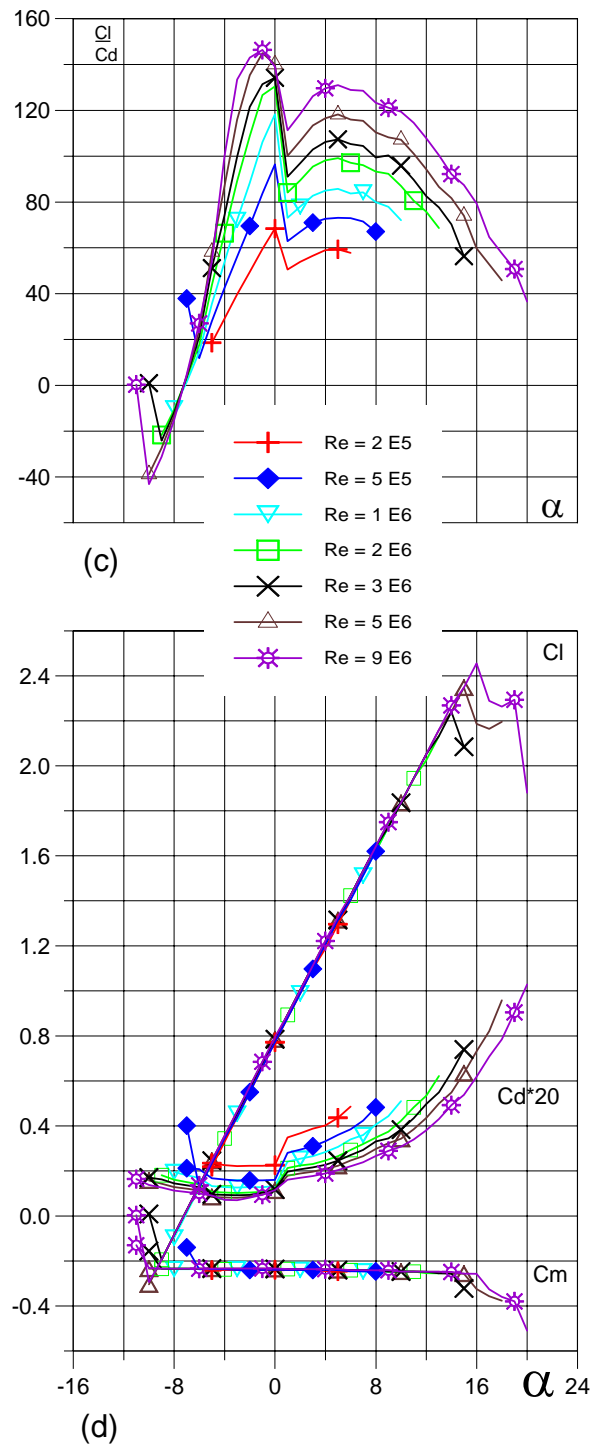


Fig. 5.3.12. (c) Curvas de Cl/Cd y (d) Cl , Cd , C_m vs. Ángulo de ataque del Perfil FX082512.

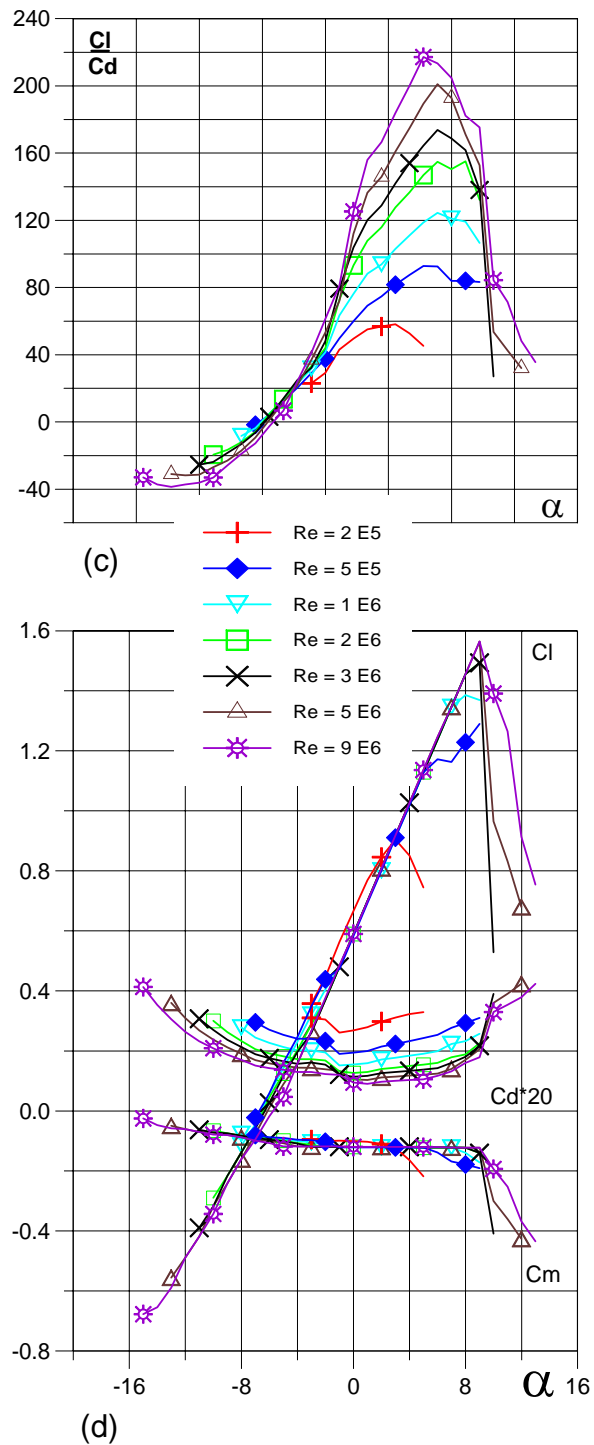
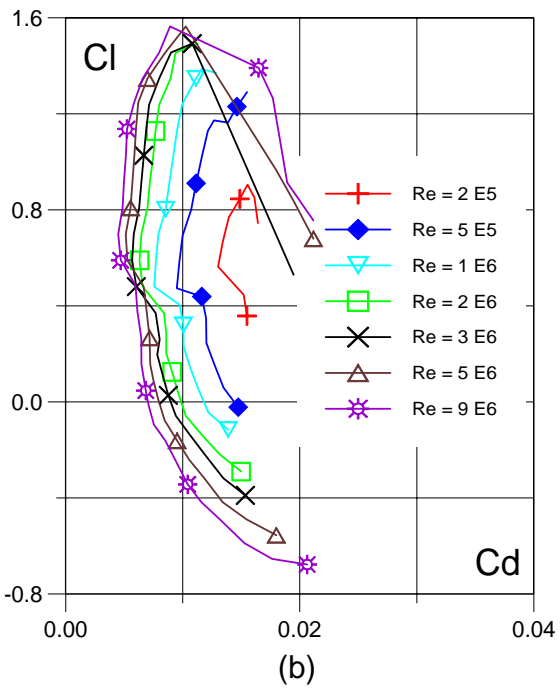
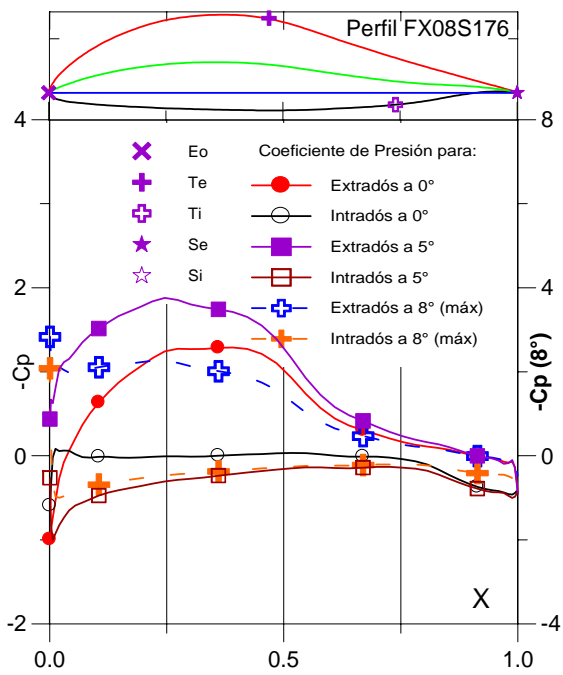


Fig. 5.3.13. (a) C_p (0° , 5° y Máx) vs. X para $Re = 1 E 6$ (leer $C_{p\text{máx}}$ a la derecha) y (b) Curvas Polares del Perfil FX08S176.

Fig. 5.3.14. (c) Curvas de Cl/Cd y (d) Cl , Cd , C_m vs. Ángulo de ataque del Perfil FX08S176.

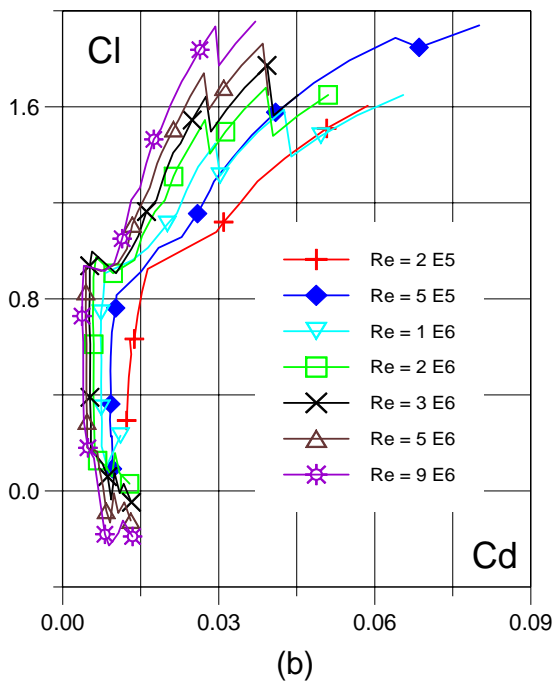
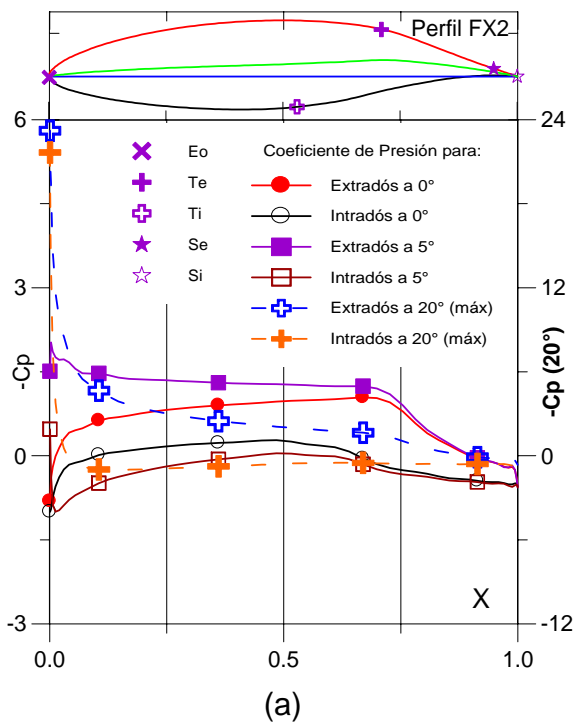


Fig. 5.3.15. (a) C_p (0° , 5° y Max) vs. X para $Re = 1 \times 10^6$ (leer $C_{p\text{max}}$ a la derecha) y (b) Curvas Polares del Perfil FX2.

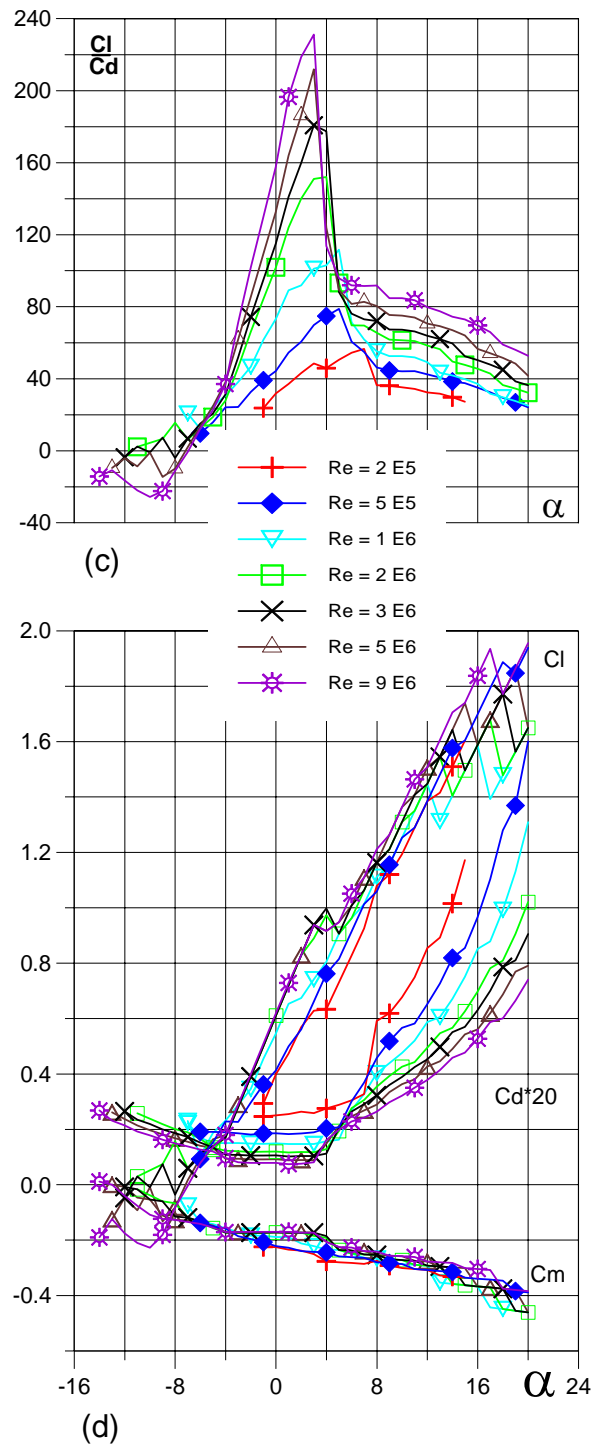


Fig. 5.3.16. (c) Curvas de C_l/C_d y (d) C_l , C_d , C_m vs. ngulo de ataque del Perfil FX2.

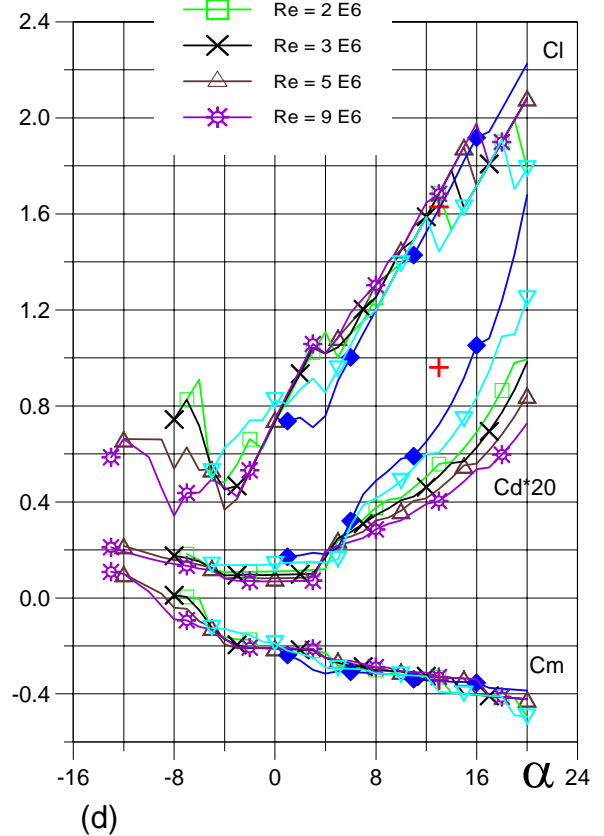
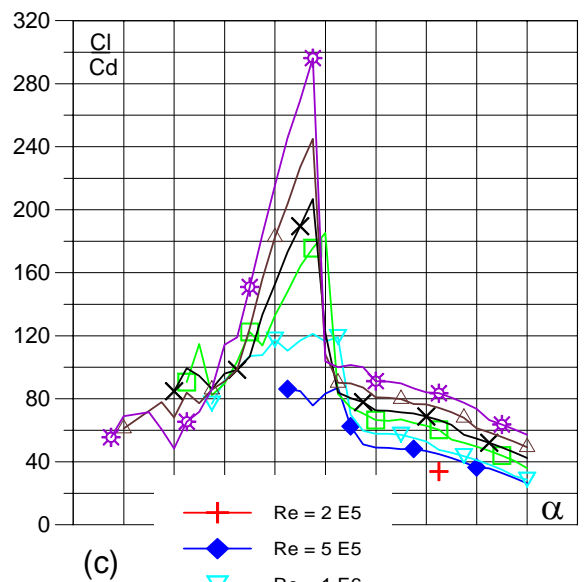
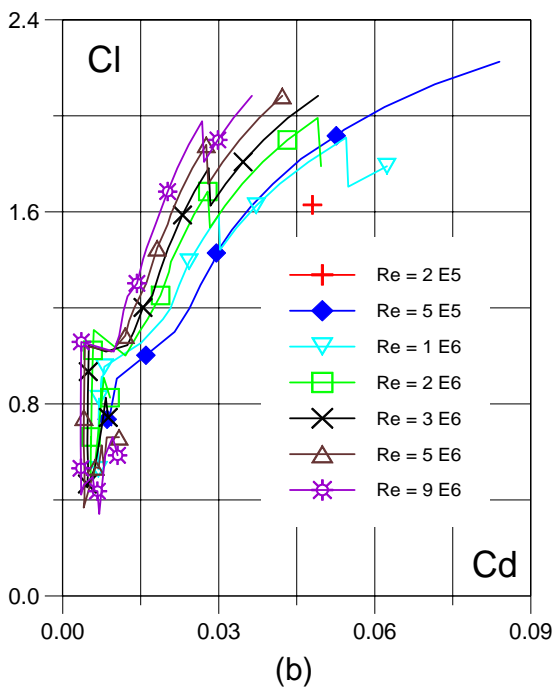
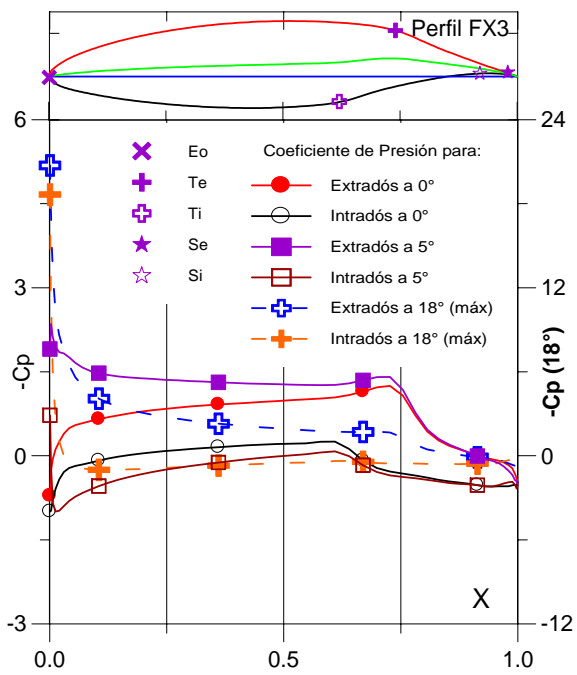


Fig. 5.3.17. (a) C_p (0° , 5° y Max) vs. X para $Re = 1 E 6$ (leer $C_{p\text{max}}$ a la derecha) y (b) Curvas Polares del Perfil FX3.

Fig. 5.3.18. (c) Curvas de Cl/Cd y (d) Cl , Cd , C_m vs. ngulo de ataque del Perfil FX3.

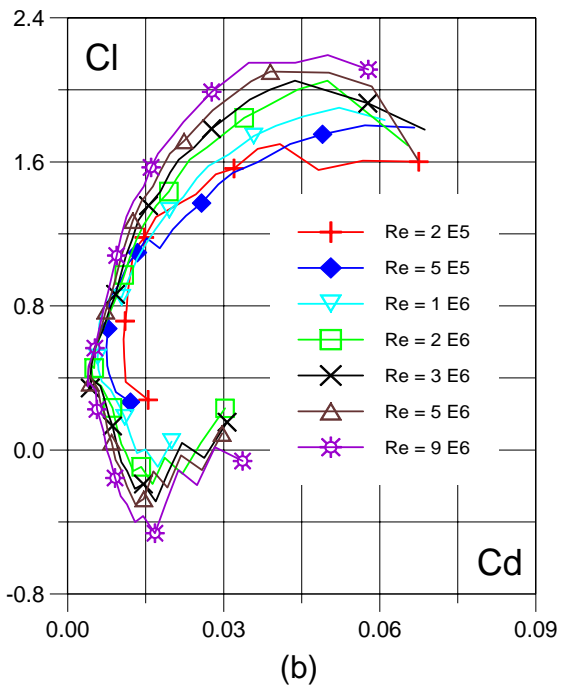
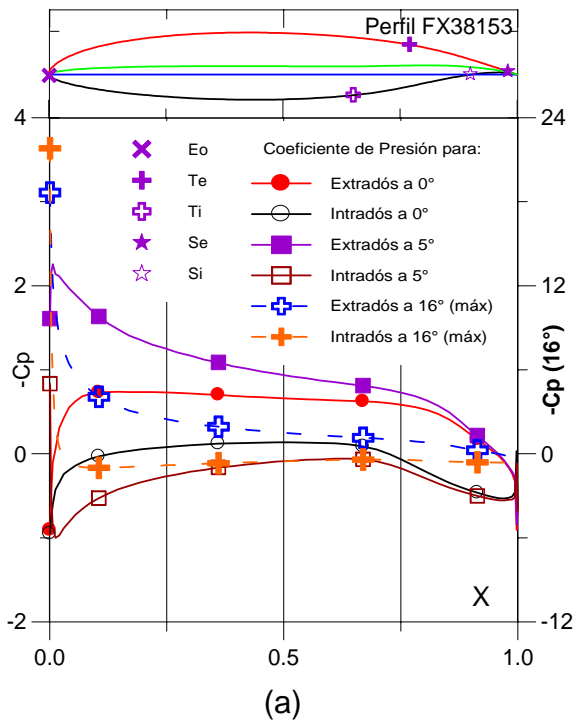


Fig. 5.3.19. (a) C_p (0°, 5° y Máx) vs. X para $Re = 1 E 6$ (leer $C_{p\text{máx}}$ a la derecha) y (b) Curvas Polares del Perfil FX38153.

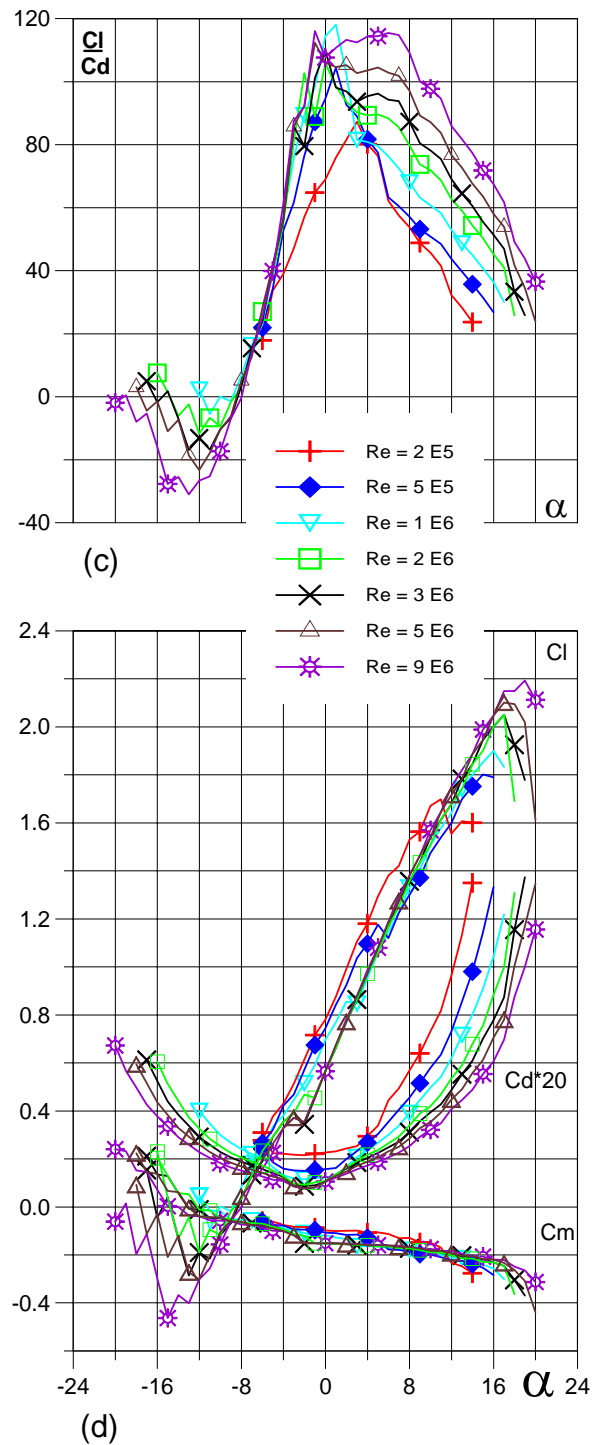


Fig. 5.3.20. (c) Curvas de C_l/C_d y (d) C_l , C_d , C_m vs. Ángulo de ataque del Perfil FX38153.

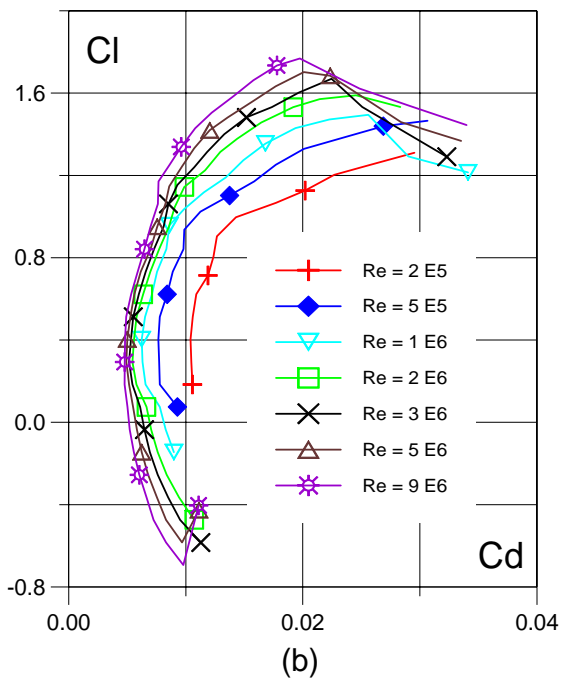
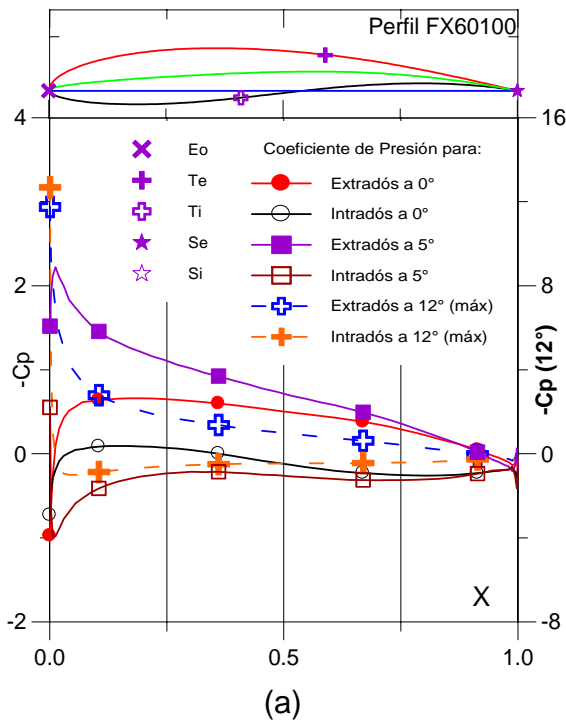


Fig. 5.3.21. (a) C_p (0° , 5° y Máx) vs. X para $Re = 1 E 6$ (leer $C_{p\text{máx}}$ a la derecha) y (b) Curvas Polares del Perfil FX60100.

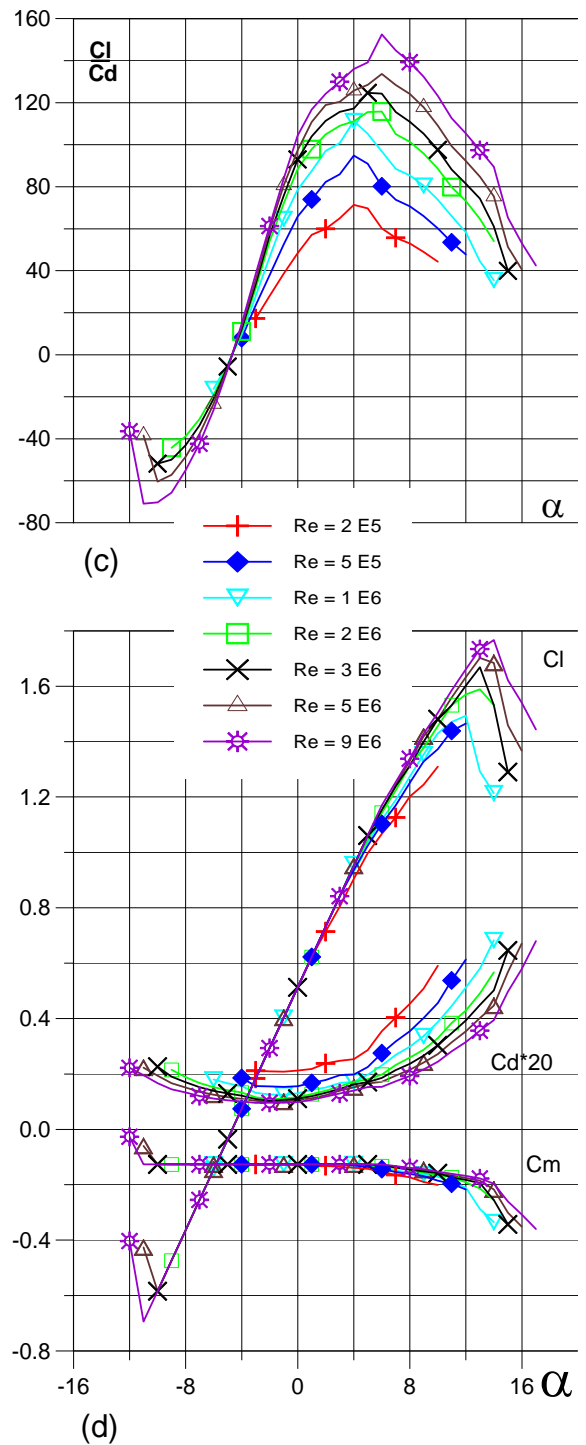


Fig. 5.3.22. (c) Curvas de Cl/Cd y (d) Cl , Cd , C_m vs. Ángulo de ataque del Perfil FX60100.

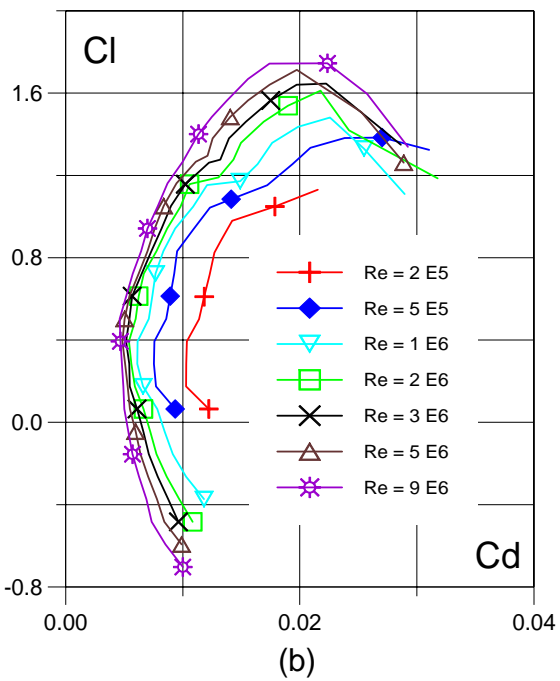
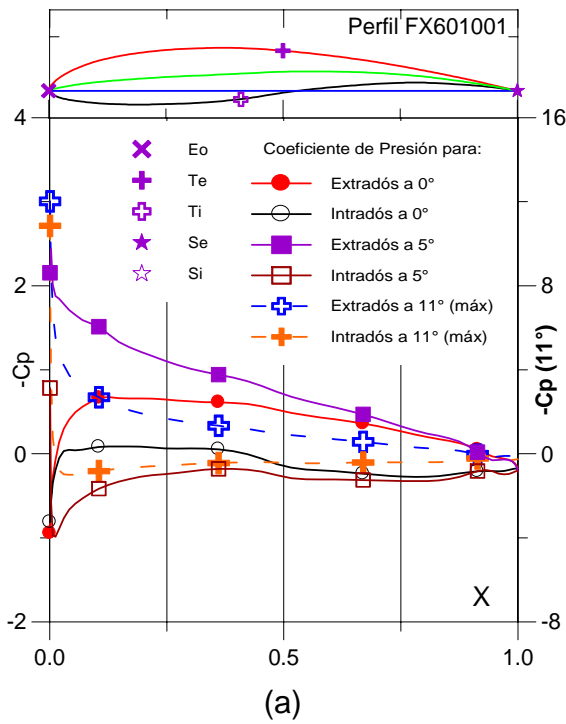


Fig. 5.3.23. (a) C_p (0° , 5° y Máx) vs. X para $Re = 1 E 6$ (leer $C_{p\text{máx}}$ a la derecha) y (b) Curvas Polares del Perfil FX601001.

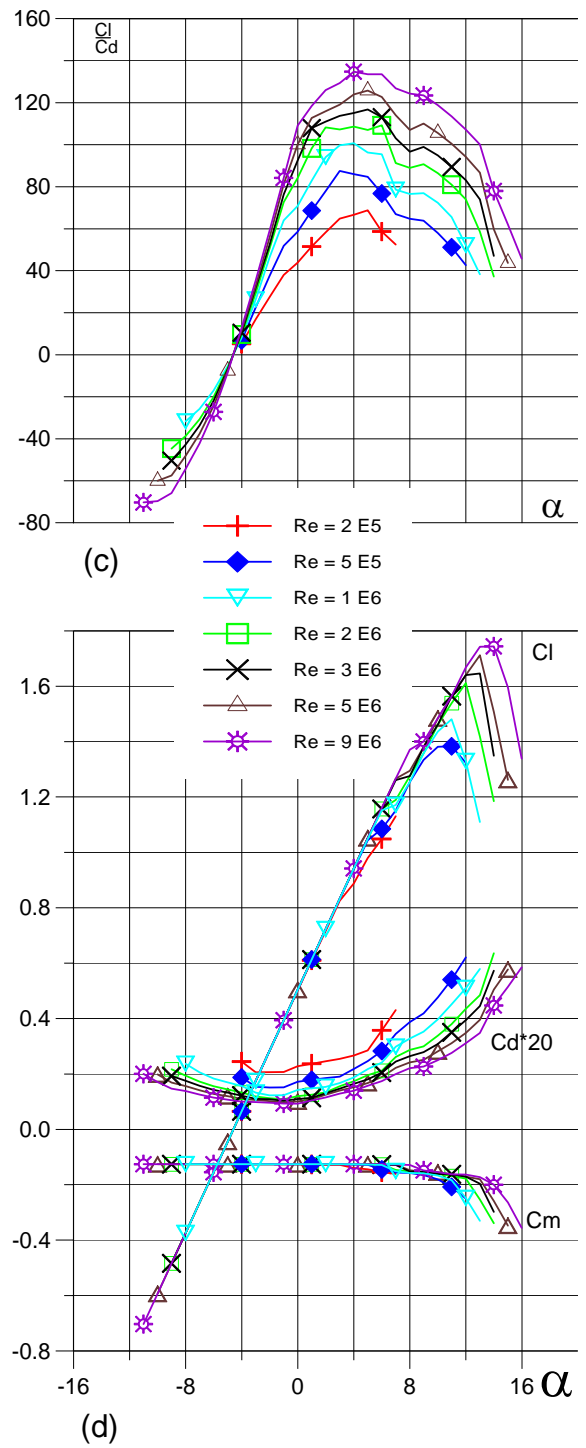


Fig. 5.3.24. (c) Curvas de Cl/C_d y (d) Cl , C_d , C_m vs. Ángulo de ataque del Perfil FX601001.

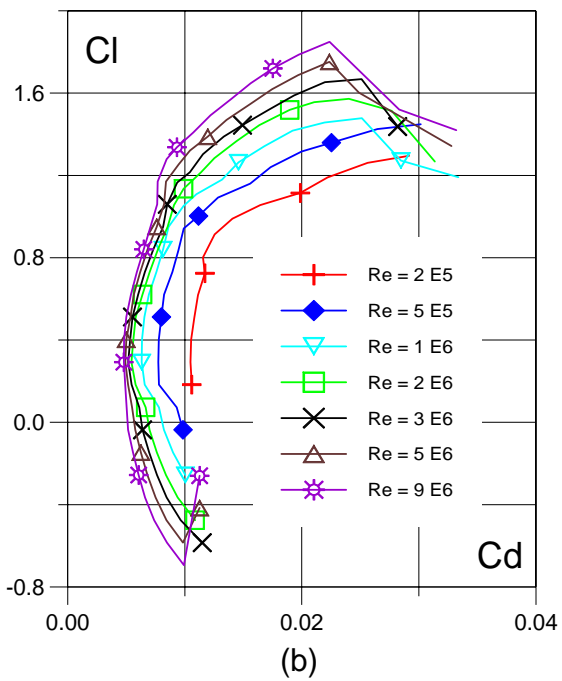
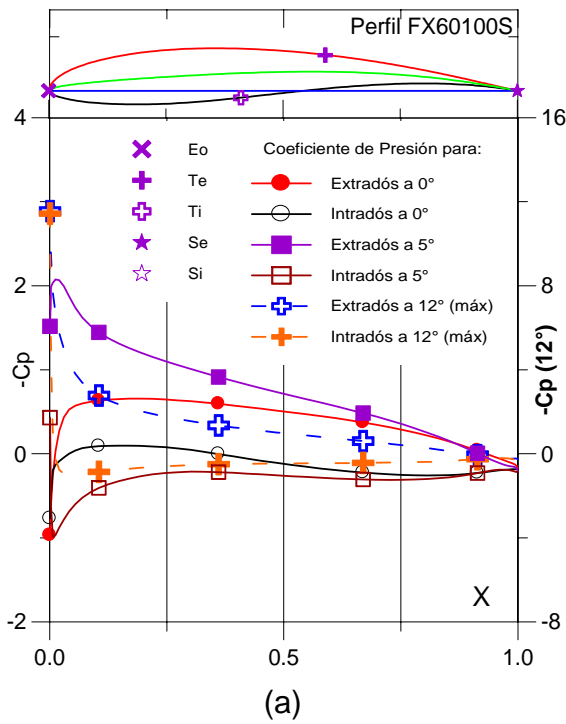


Fig. 5.3.25. (a) C_p (0° , 5° y Máx) vs. X para $Re = 1 E 6$ (leer $C_{p\text{máx}}$ a la derecha) y (b) Curvas Polares del Perfil FX60100S.

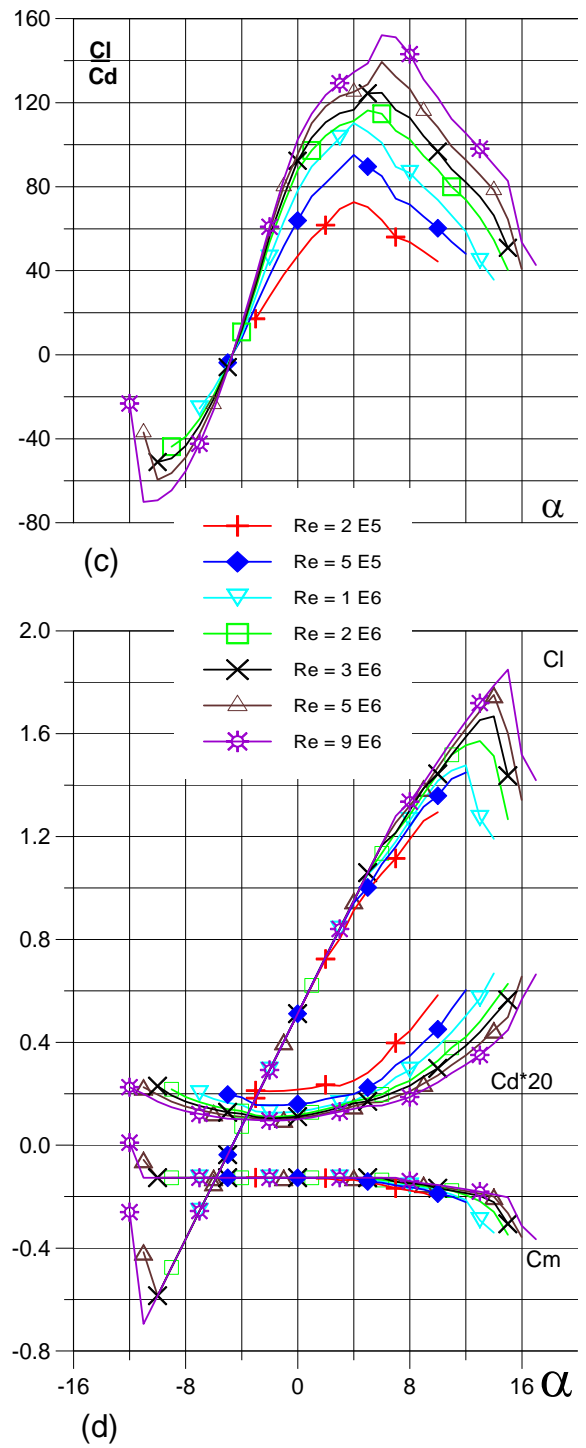


Fig. 5.3.26. (c) Curvas de Cl/C_d y (d) Cl , C_d , C_m vs. Ángulo de ataque del Perfil FX60100S.

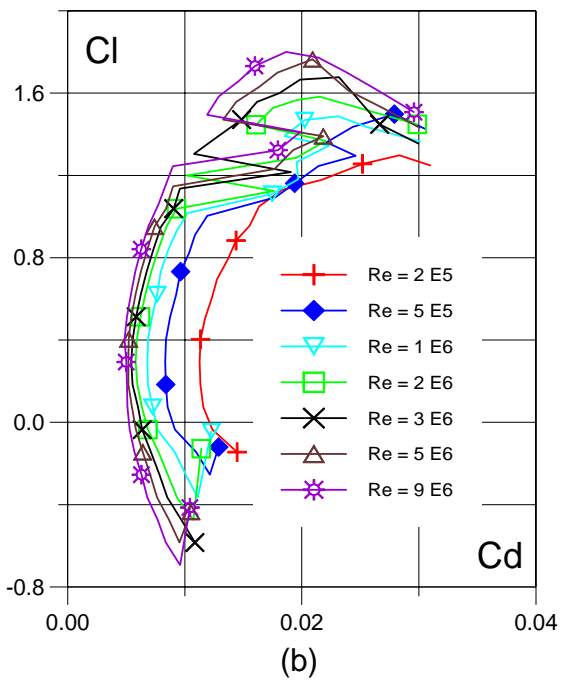
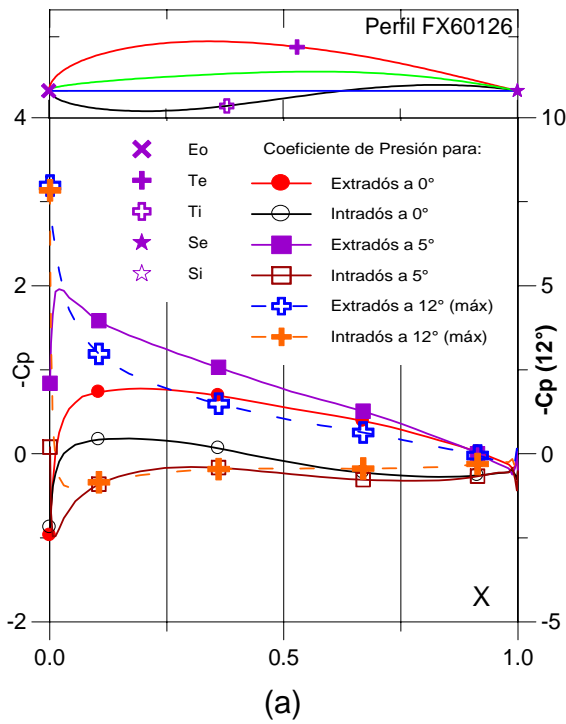


Fig. 5.3.27. (a) C_p (0° , 5° y Máx) vs. X para $Re = 1 E 6$ (leer $C_{p\text{máx}}$ a la derecha) y (b) Curvas Polares del Perfil FX60126.

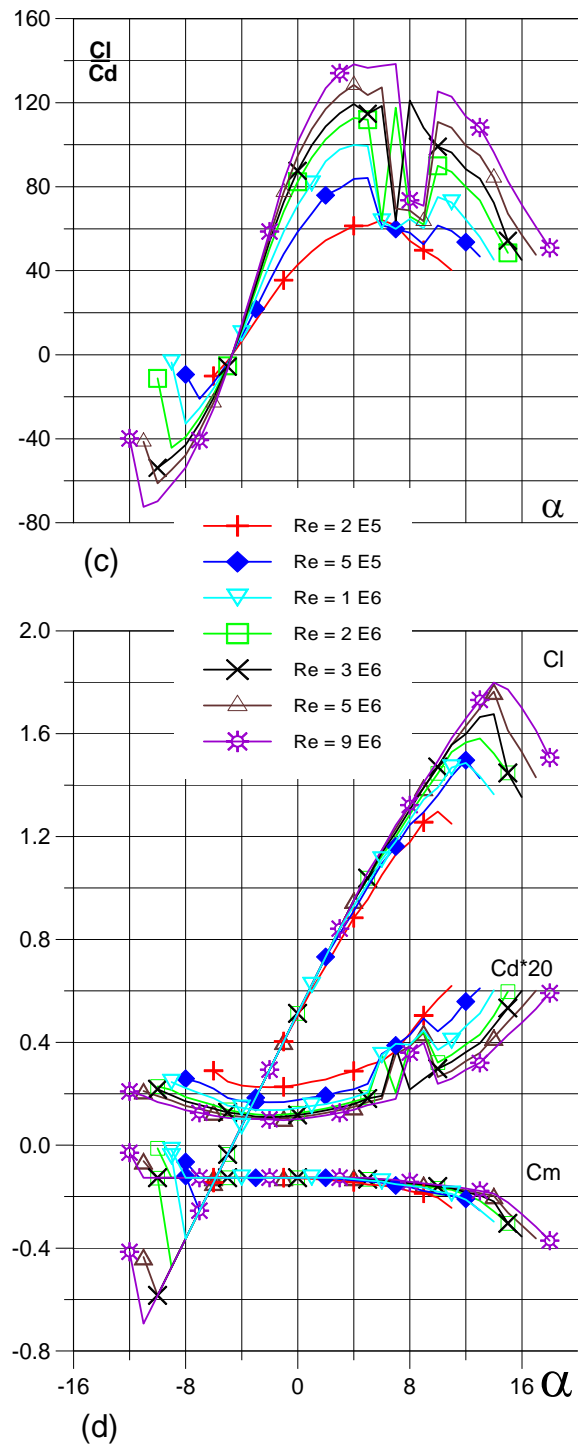


Fig. 5.3.28. (c) Curvas de Cl/C_d y (d) Cl , C_d , C_m vs. Ángulo de ataque del Perfil FX60126.

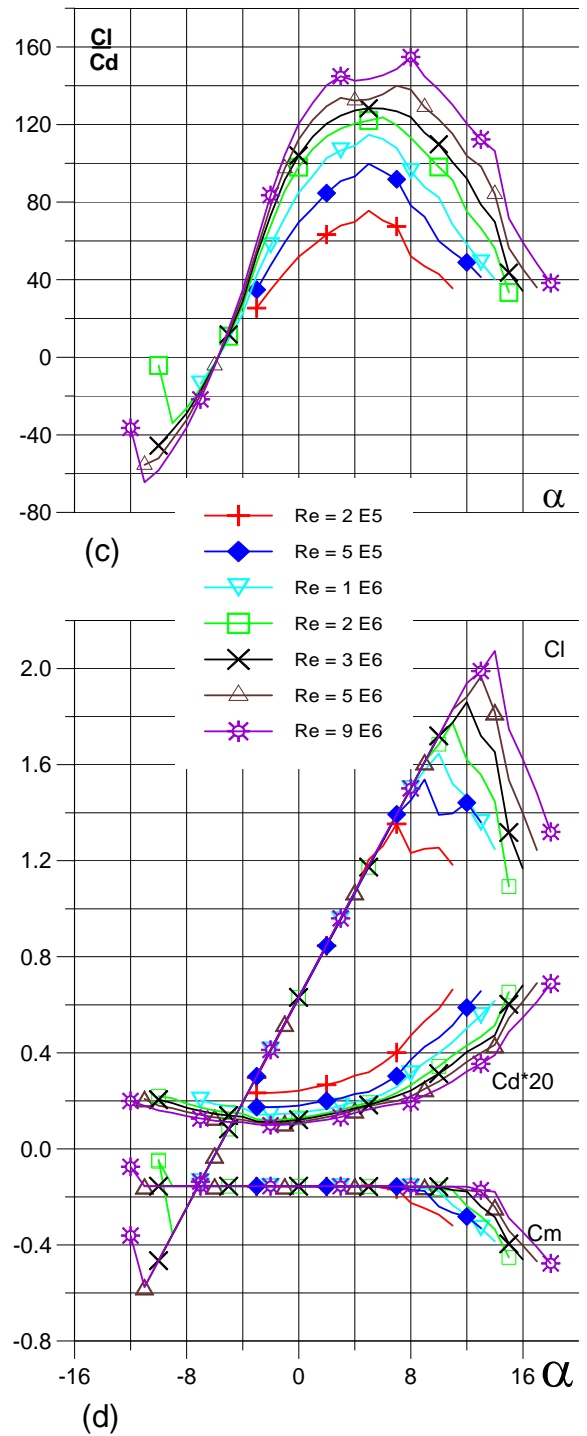
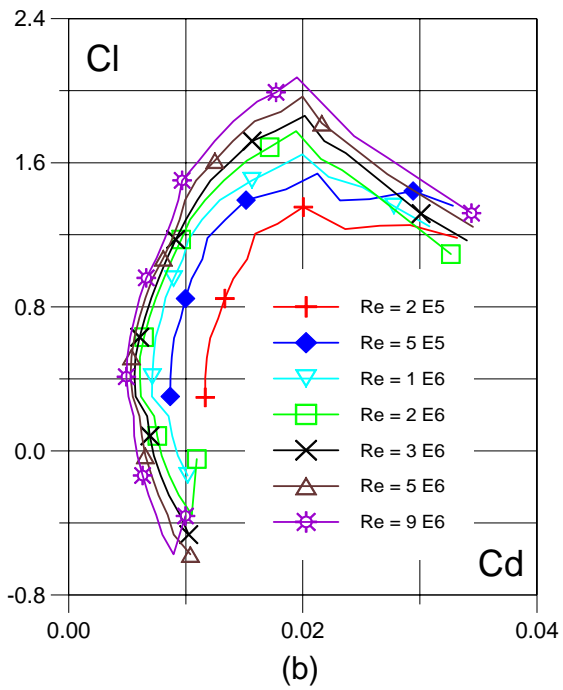
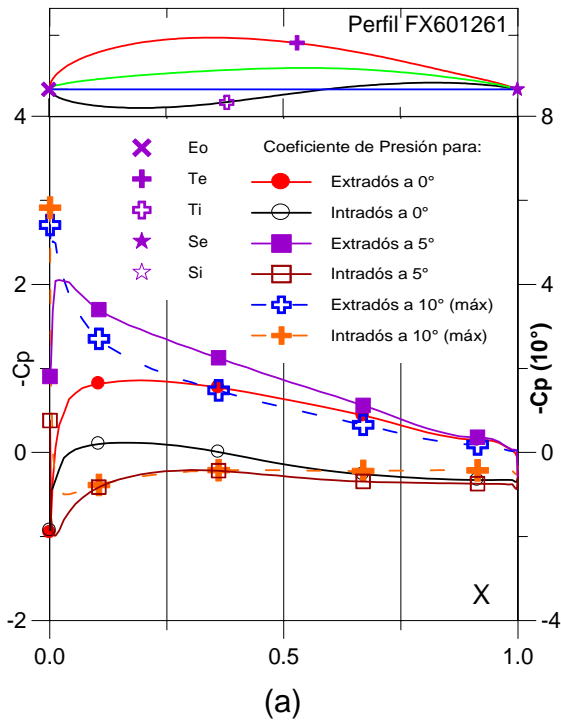


Fig. 5.3.29. (a) Cp (0°, 5° y Máx) vs. X para Re = 1 E 6 (leer Cpmáx a la derecha) y (b) Curvas Polares del Perfil FX601261.

Fig. 5.3.30. (c) Curvas de Cl/Cd y (d) Cl, Cd, Cm vs. Ángulo de ataque del Perfil FX601261.

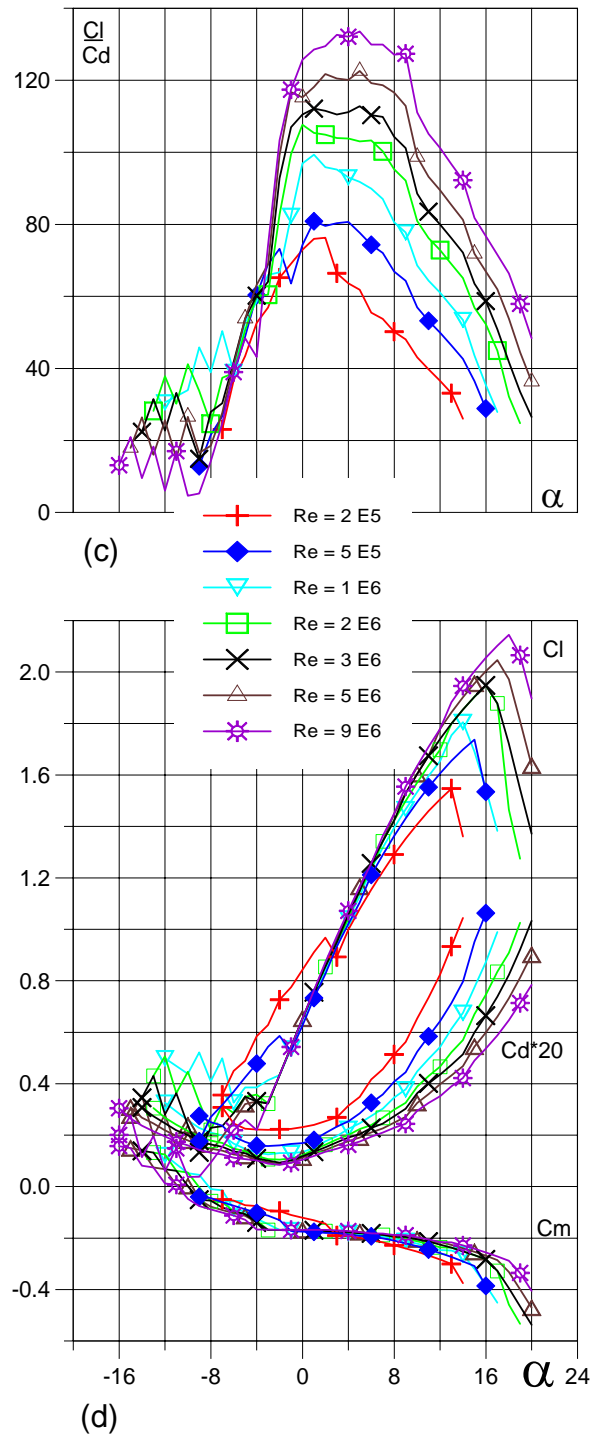
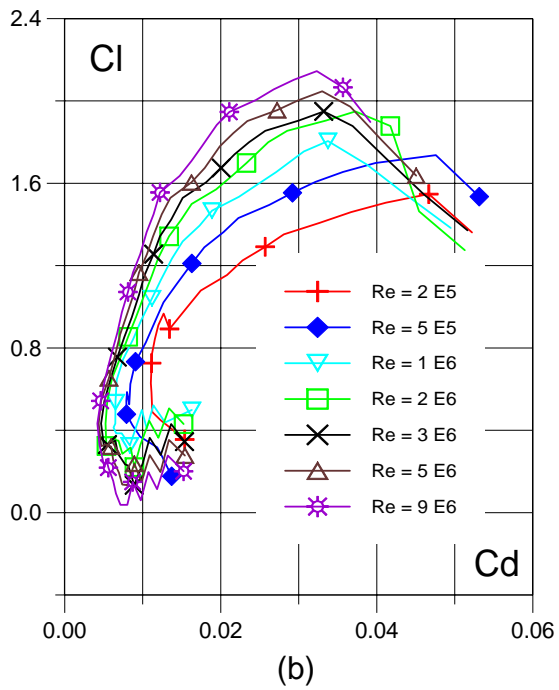
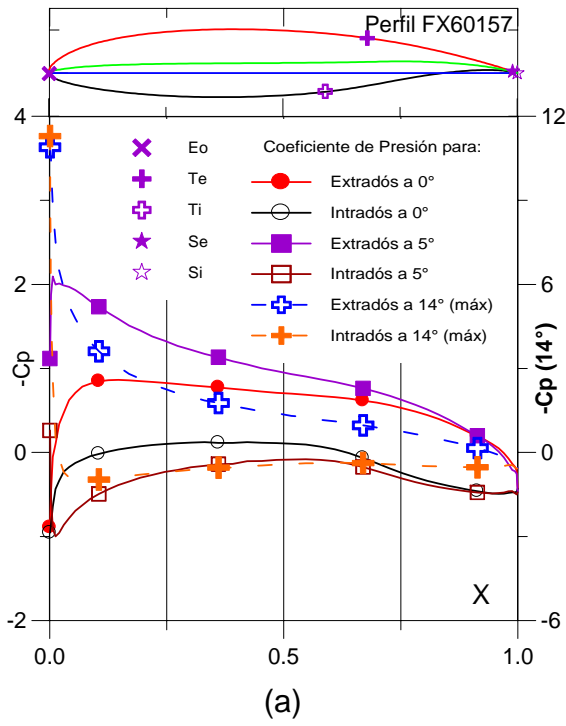


Fig. 5.3.31. (a) C_p (0° , 5° y Máx) vs. X para $Re = 1 E 6$ (leer $C_{p\text{máx}}$ a la derecha) y (b) Curvas Polares del Perfil FX60157.

Fig. 5.3.32. (c) Curvas de Cl/Cd y (d) Cl , Cd , C_m vs. Ángulo de ataque del Perfil FX60157.

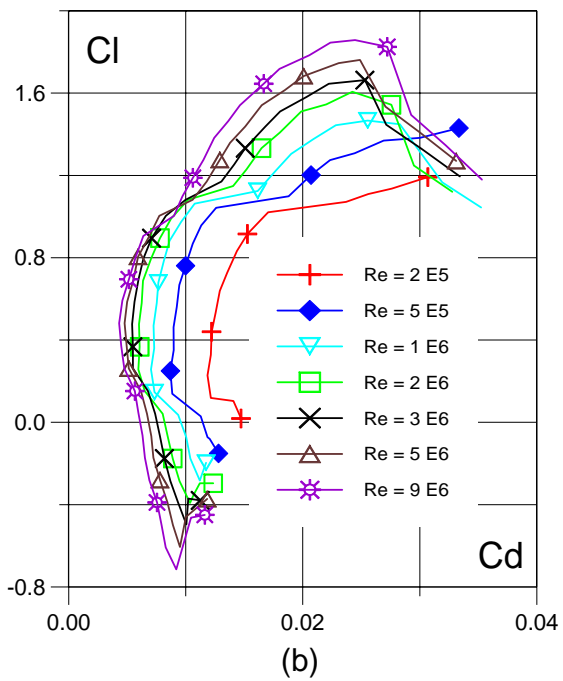
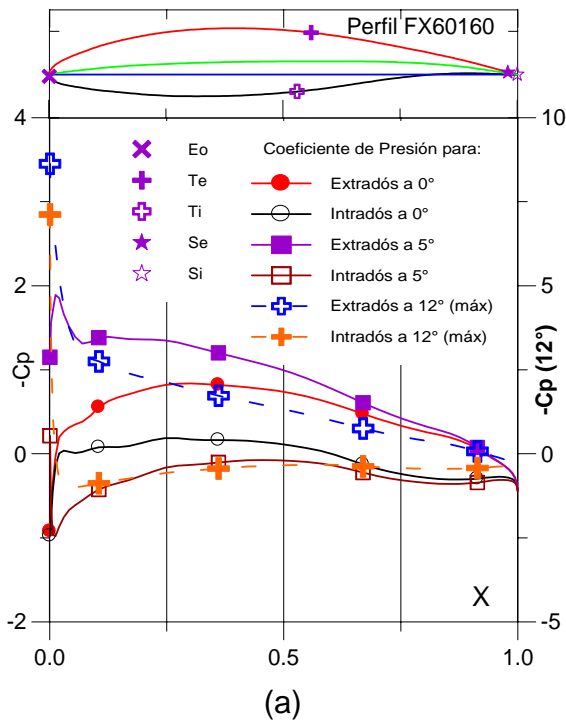


Fig. 5.3.33. (a) C_p (0° , 5° y Máx) vs. X para $Re = 1 E 6$ (leer $C_{p\text{máx}}$ a la derecha) y (b) Curvas Polares del Perfil FX60160.

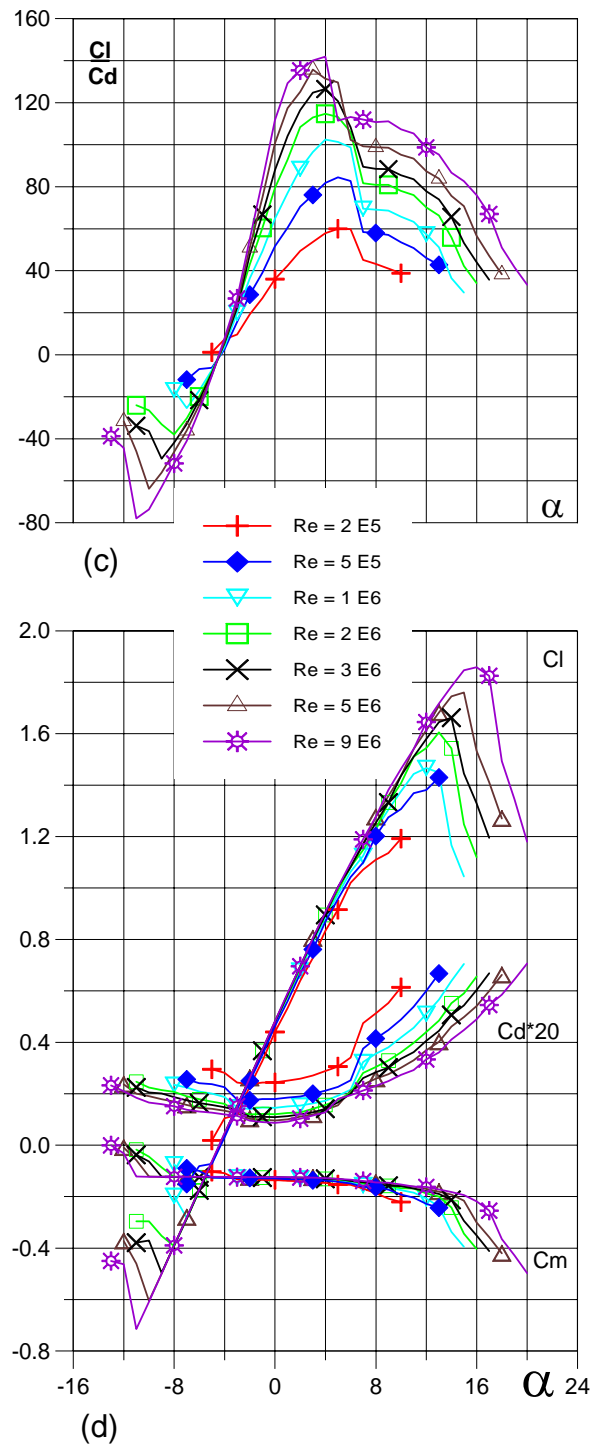


Fig. 5.3.34. (c) Curvas de Cl/Cd y (d) Cl , Cd , C_m vs. Ángulo de ataque del Perfil FX60160.

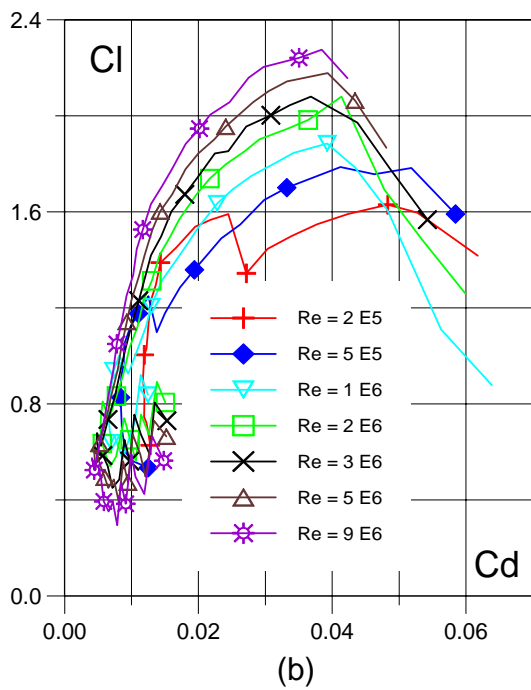
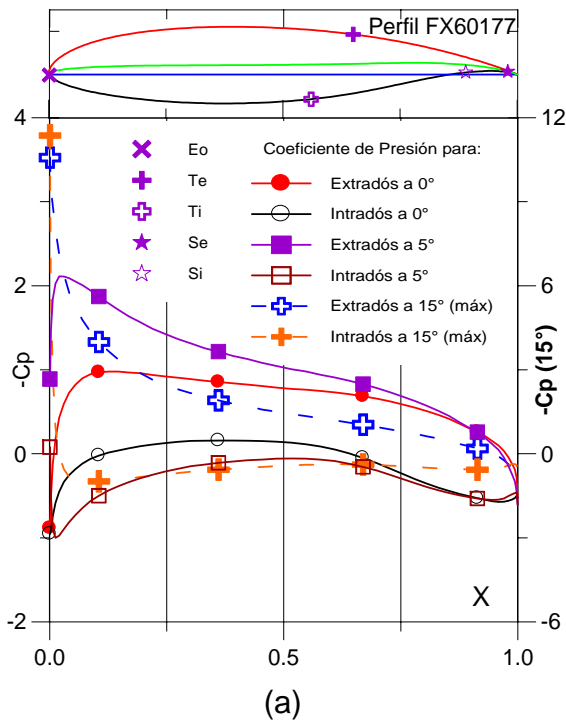


Fig. 5.3.35. (a) C_p (0° , 5° y Max) vs. X para $Re = 1 E 6$ (leer $C_{p\text{max}}$ a la derecha) y (b) Curvas Polares del Perfil FX60177.

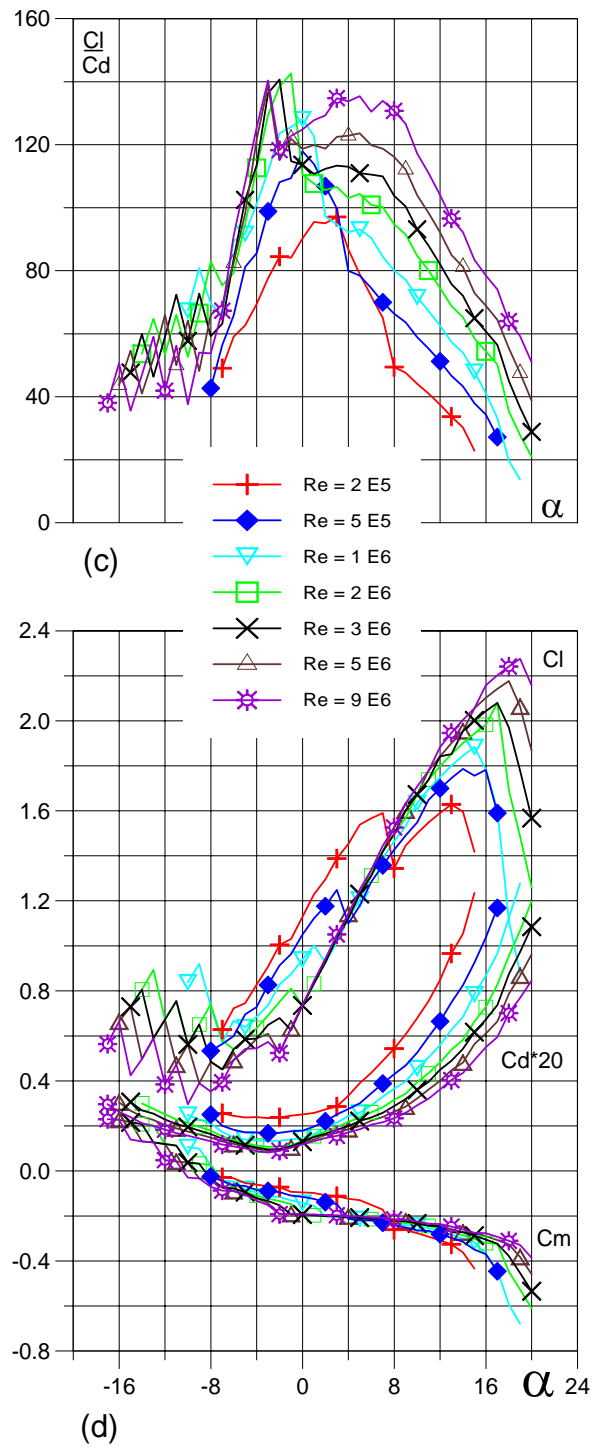


Fig. 5.3.36. (c) Curvas de C_l/C_d y (d) C_l , C_d , C_m vs. ngulo de ataque del Perfil FX60177.

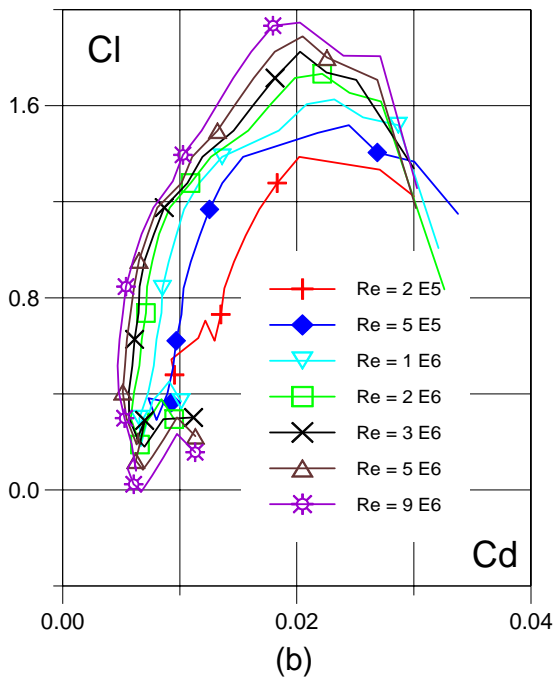
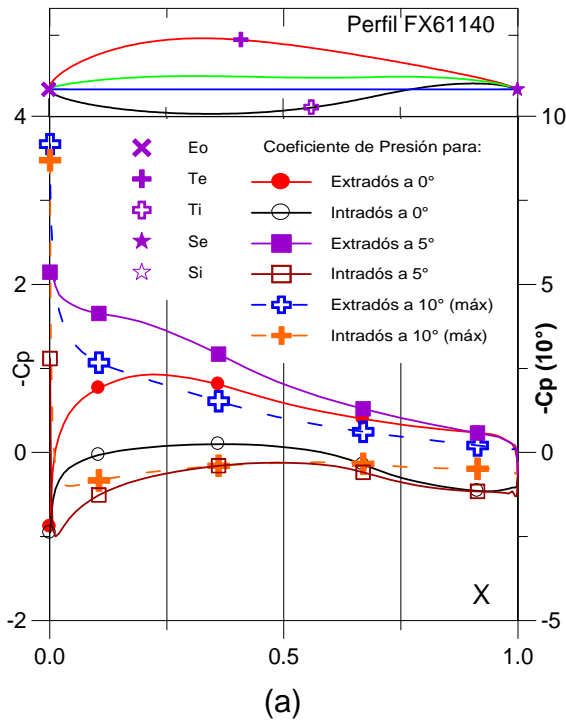


Fig. 5.3.37. (a) C_p (0° , 5° y Máx) vs. X para $Re = 1 E 6$ (leer $C_{p\text{máx}}$ a la derecha) y (b) Curvas Polares del Perfil FX61140.

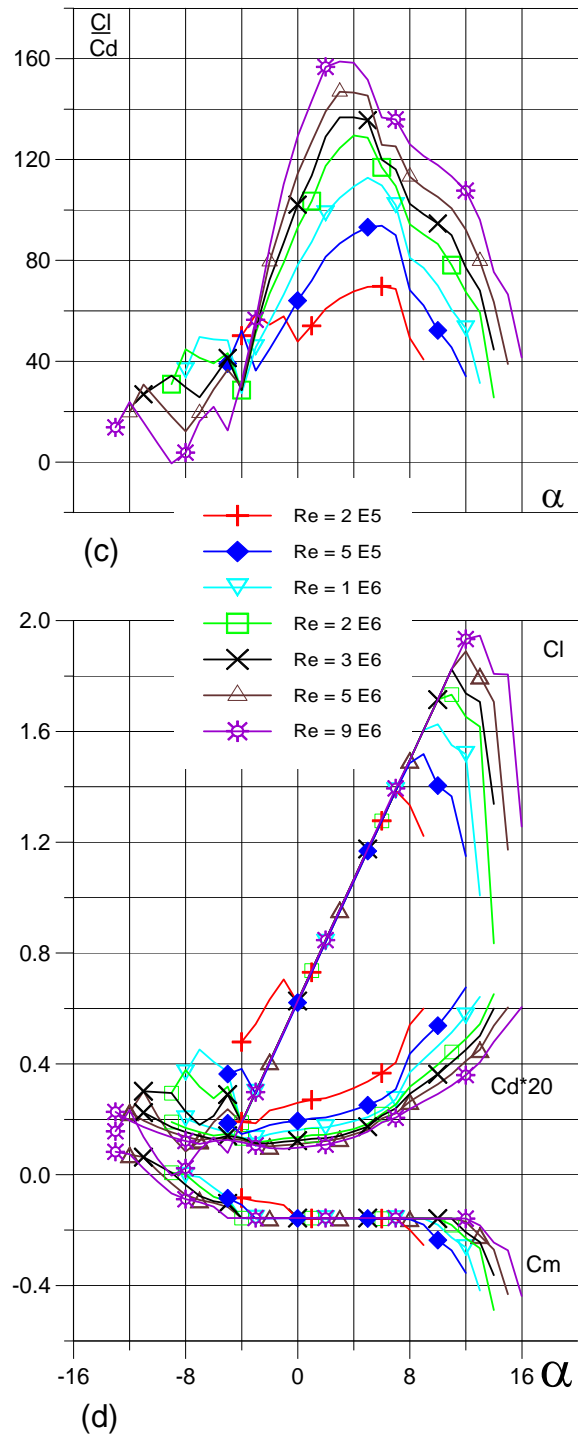


Fig. 5.3.38. (c) Curvas de C_l/C_d y (d) C_l , C_d , C_m vs. Ángulo de ataque del Perfil FX61140.

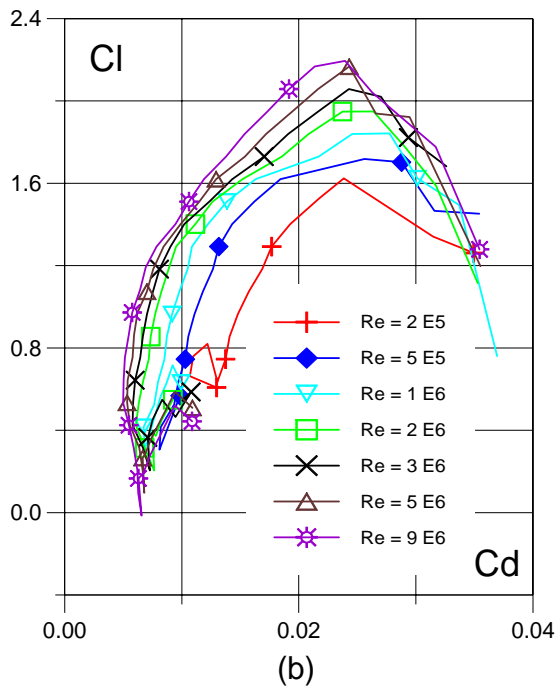
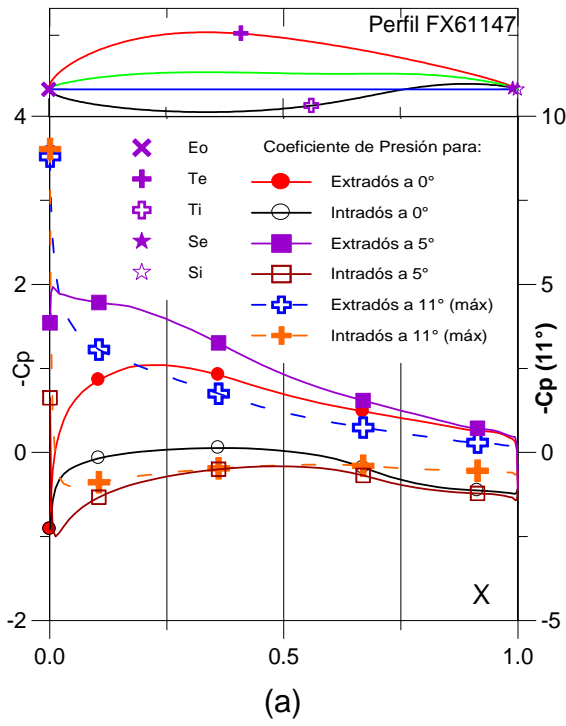


Fig. 5.3.39. (a) C_p (0° , 5° y Máx) vs. X para $Re = 1 E 6$ (leer $C_{p\text{máx}}$ a la derecha) y (b) Curvas Polares del Perfil FX61147.

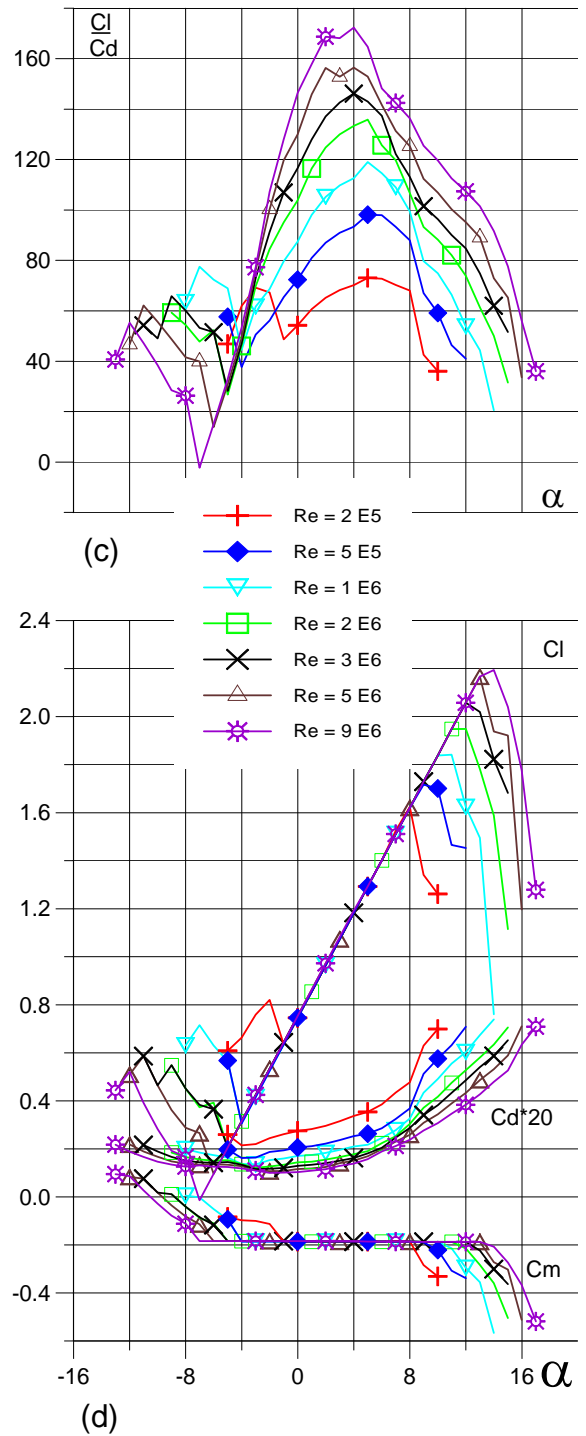


Fig. 5.3.40. (c) Curvas de Cl/Cd y (d) Cl , Cd , Cm vs. Ángulo de ataque del Perfil FX61147.

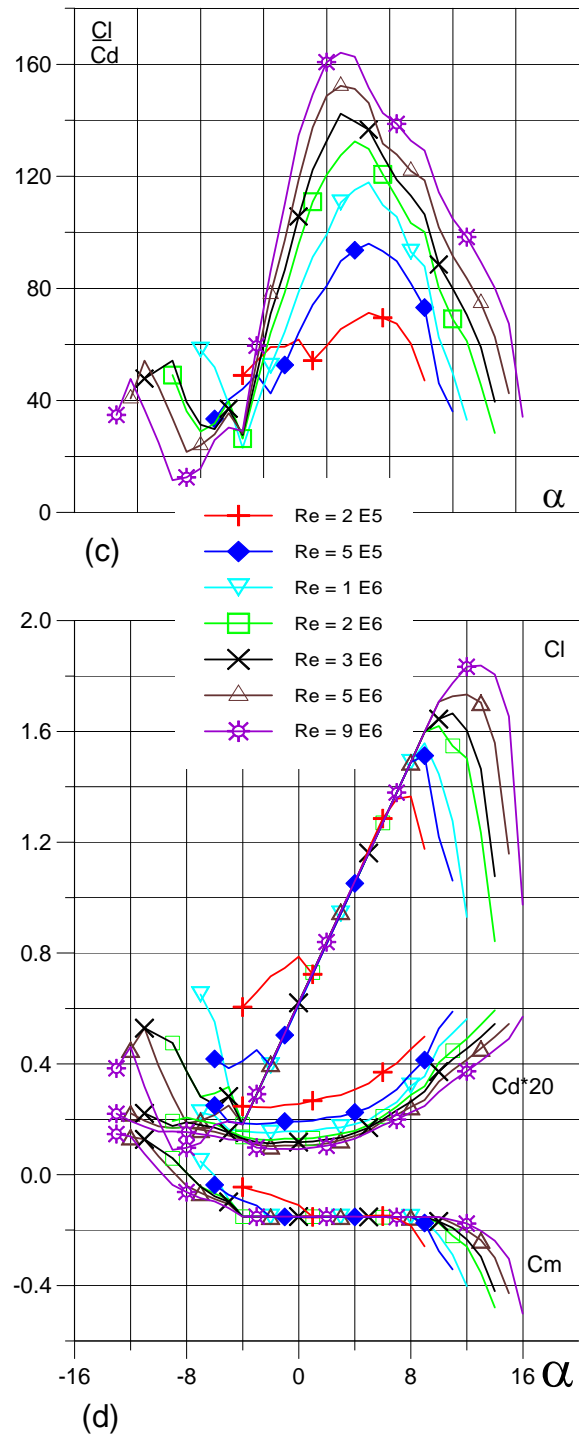
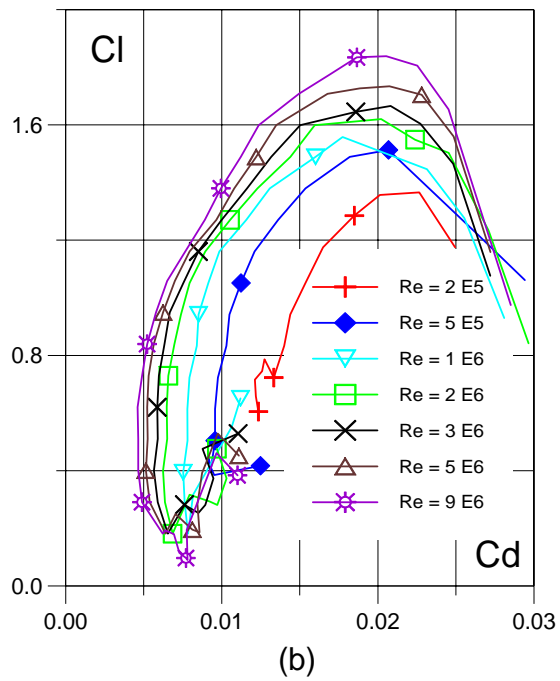
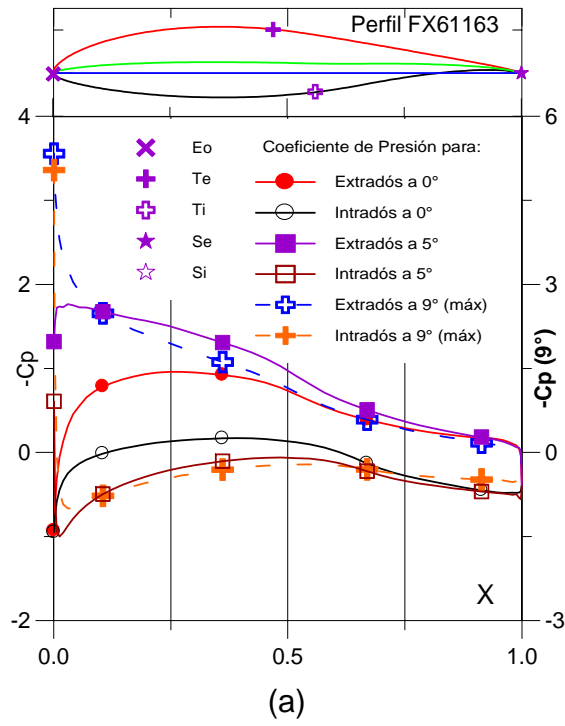


Fig. 5.3.41. (a) C_p (0° , 5° y Máx) vs. X para $Re = 1 E 6$ (leer $C_{p\text{máx}}$ a la derecha) y (b) Curvas Polares del Perfil FX61163.

Fig. 5.3.42. (c) Curvas de Cl/Cd y (d) Cl , Cd , C_m vs. Ángulo de ataque del Perfil FX61163.

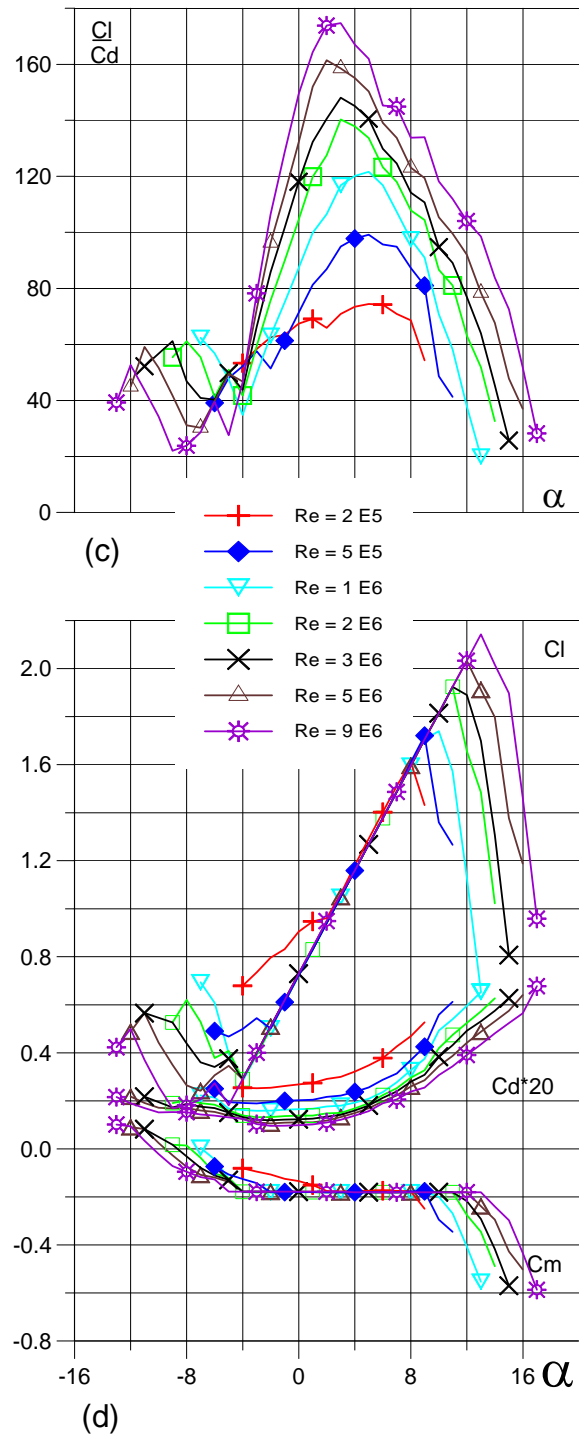
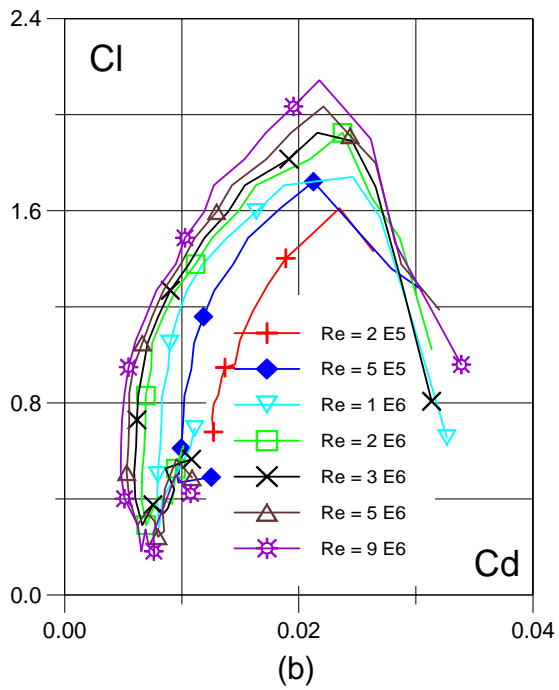
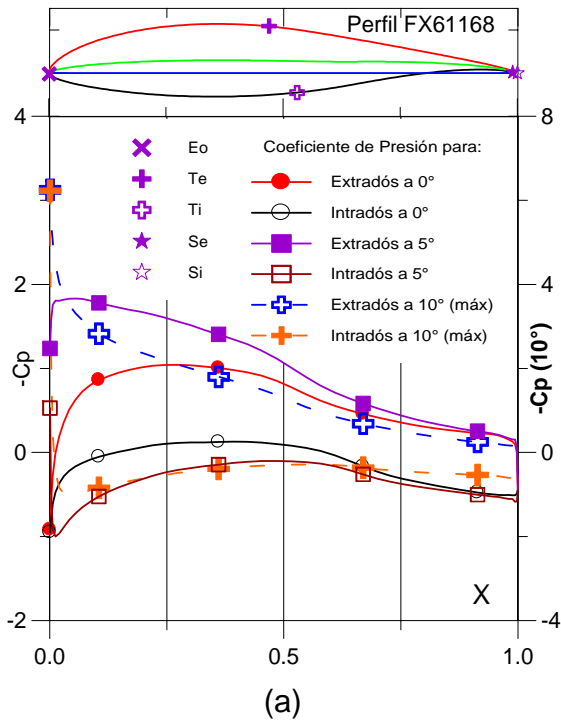


Fig. 5.3.43. (a) C_p (0° , 5° y Máx) vs. X para $Re = 1 E 6$ (leer $C_{p\text{máx}}$ a la derecha) y (b) Curvas Polares del Perfil FX61168.

Fig. 5.3.44. (c) Curvas de Cl/Cd y (d) Cl , Cd , Cm vs. Ángulo de ataque del Perfil FX61168.

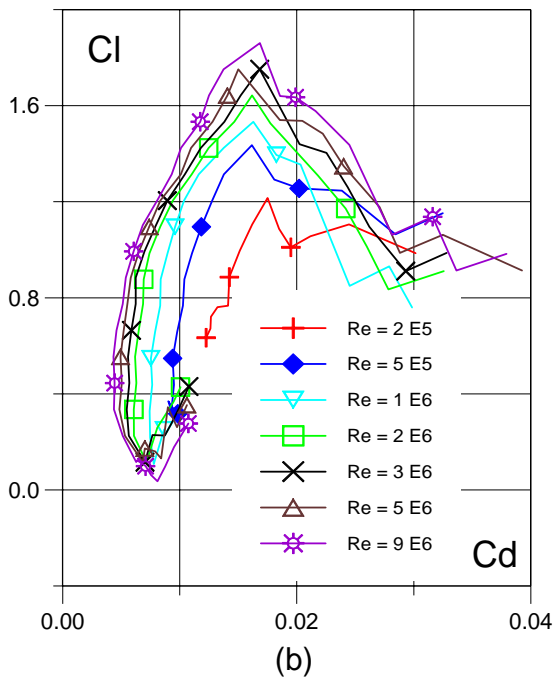
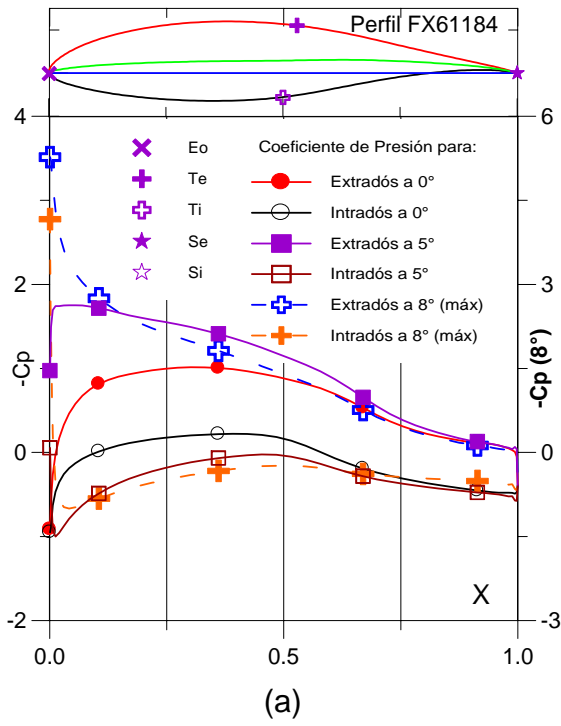


Fig. 5.3.45. (a) C_p (0° , 5° y Máx) vs. X para $Re = 1 \text{ E } 6$ (leer $C_{p\text{máx}}$ a la derecha) y (b) Curvas Polares del Perfil FX61184.

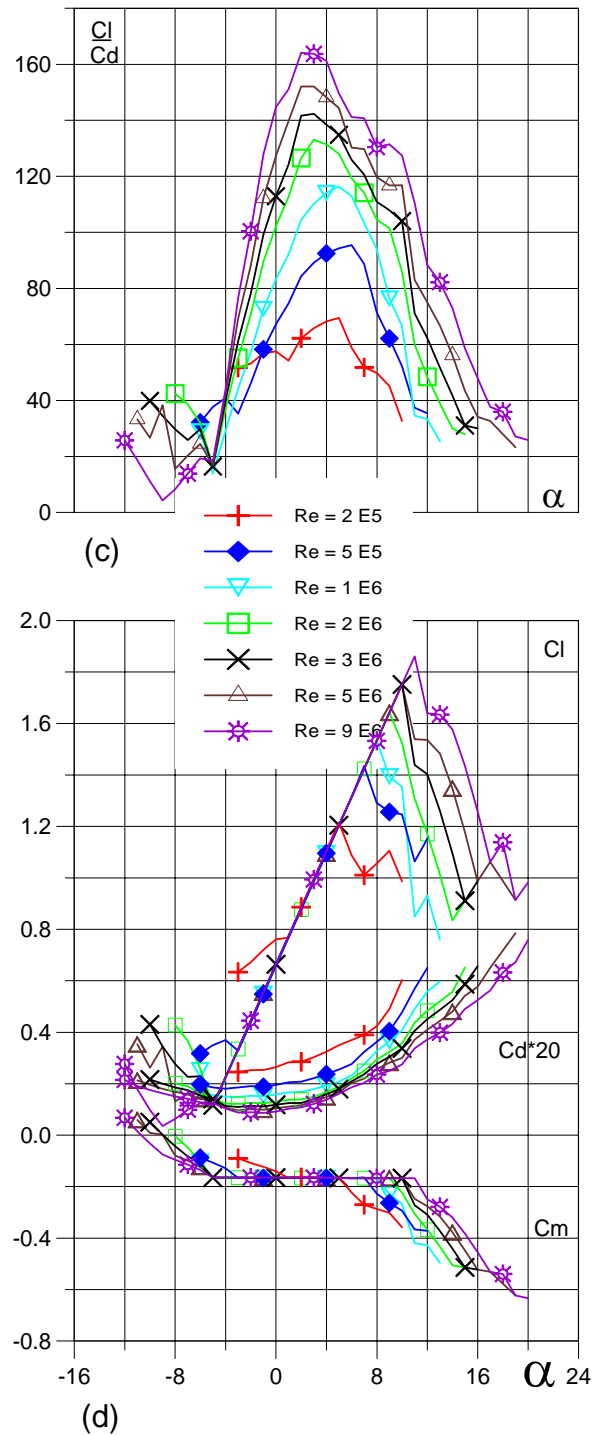


Fig. 5.3.46. (c) Curvas de Cl/Cd y (d) Cl , Cd , C_m vs. Ángulo de ataque del Perfil FX61184.

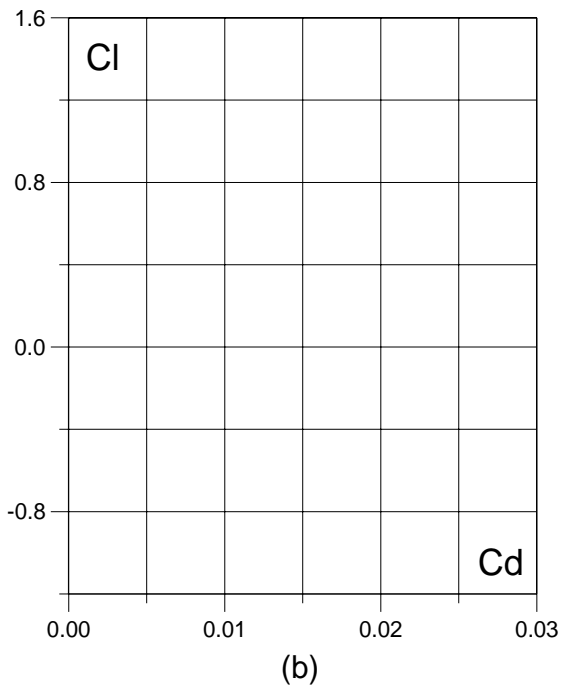
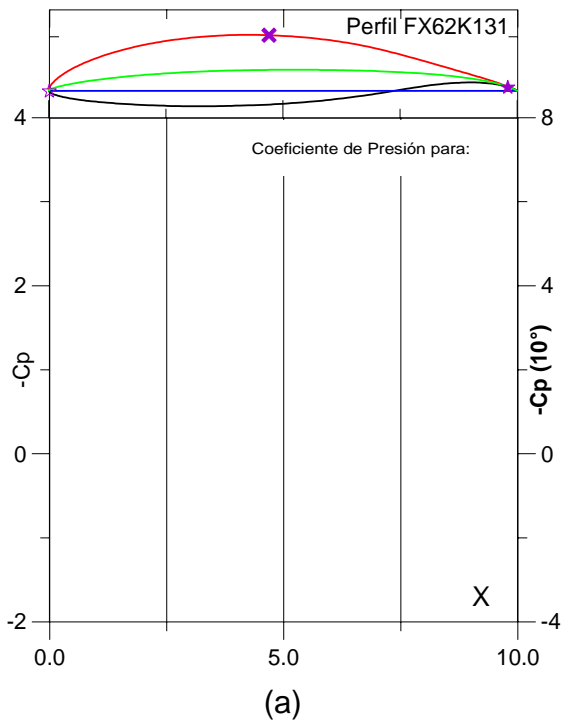


Fig. 5.3.47. (a) C_p (0° , 5° y Max) vs. X para $Re = 1 \text{ E } 6$ (leer $C_{p\text{max}}$ a la derecha) y (b) Curvas Polares del Perfil FX62K131.

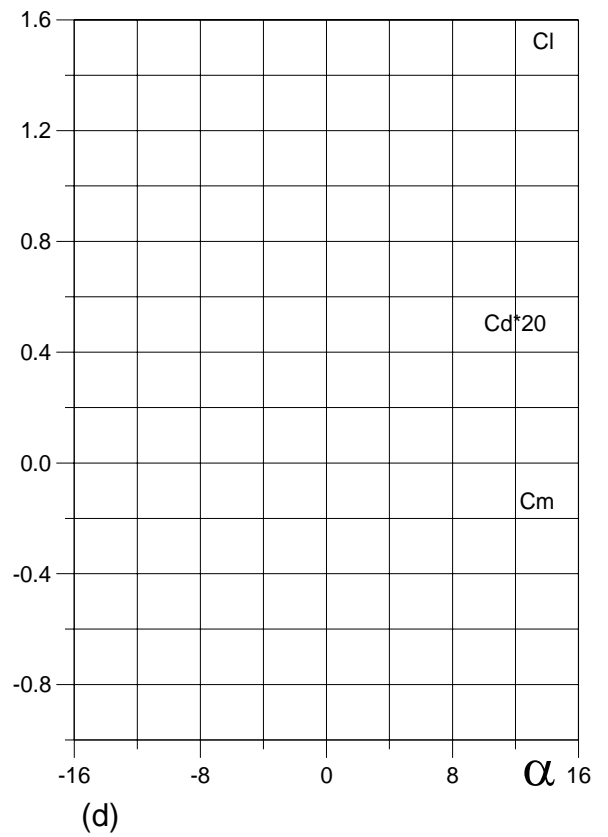
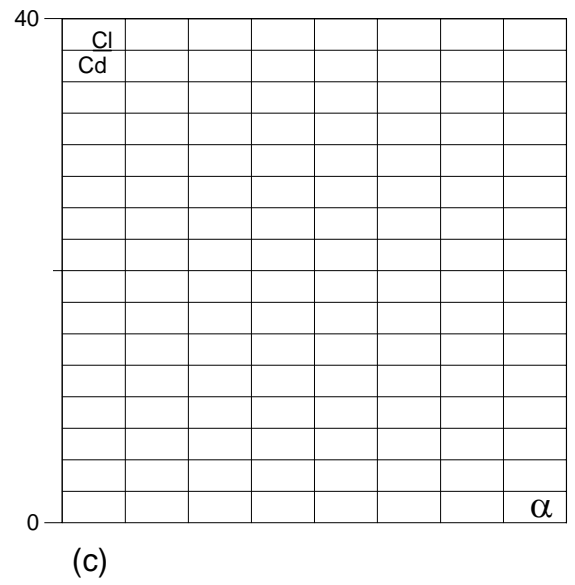


Fig. 5.3.48. (c) Curvas de Cl/Cd y (d) Cl , Cd , C_m vs. ngulo de ataque del Perfil FX62K131.

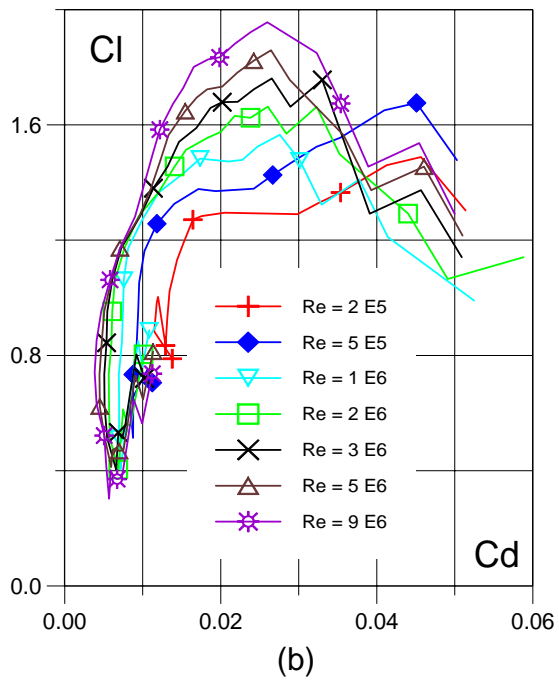
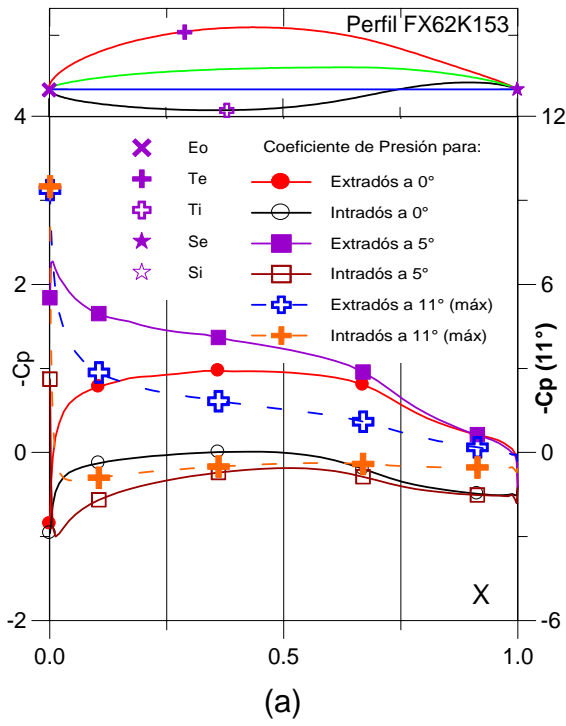


Fig. 5.3.49. (a) C_p (0° , 5° y Máx) vs. X para $Re = 1 \text{ E } 6$ (leer $C_{p\text{máx}}$ a la derecha) y (b) Curvas Polares del Perfil FX62K153.

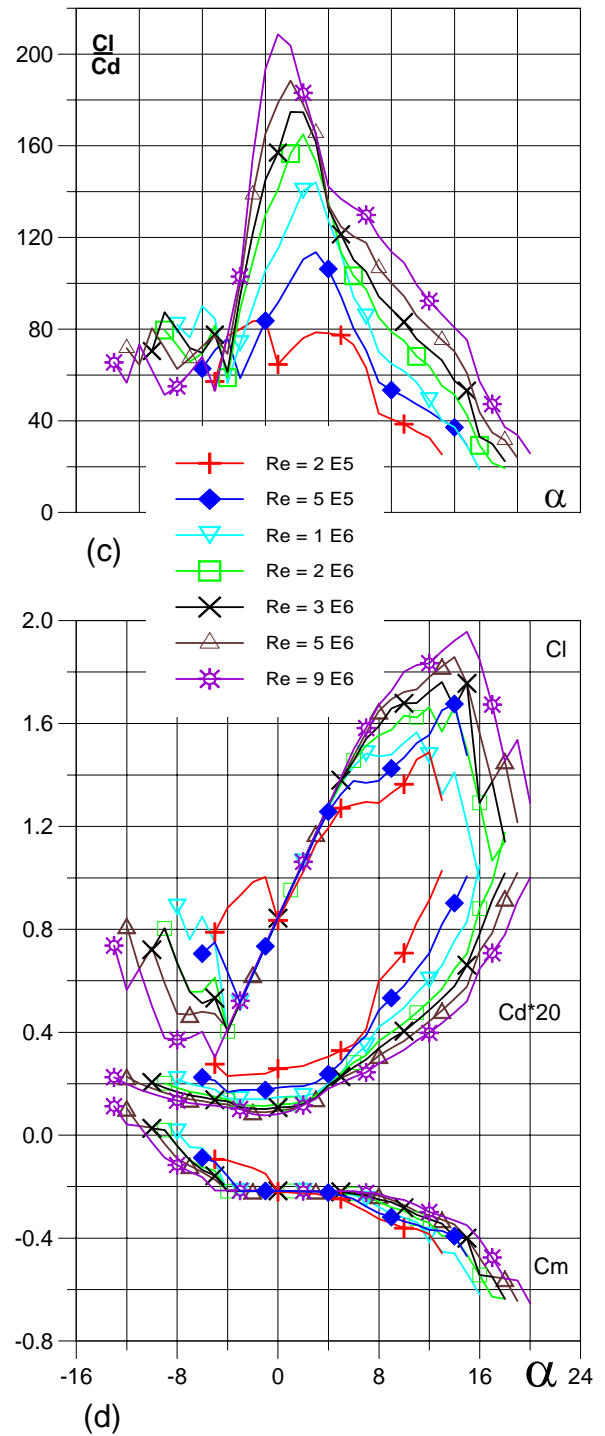
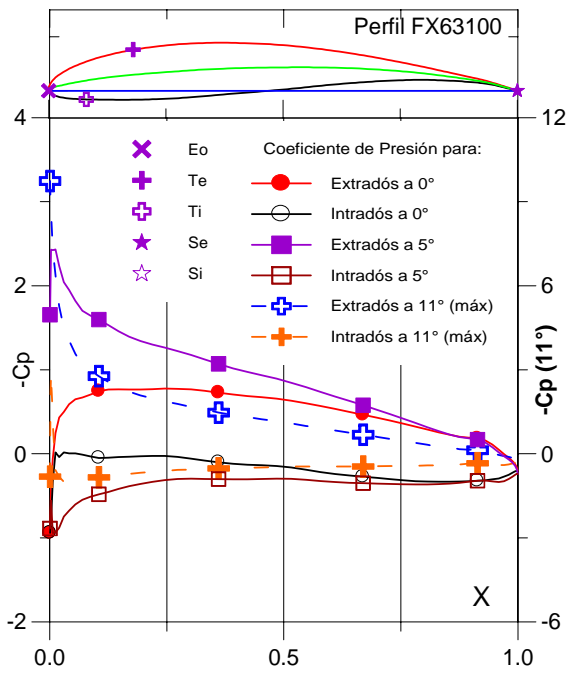
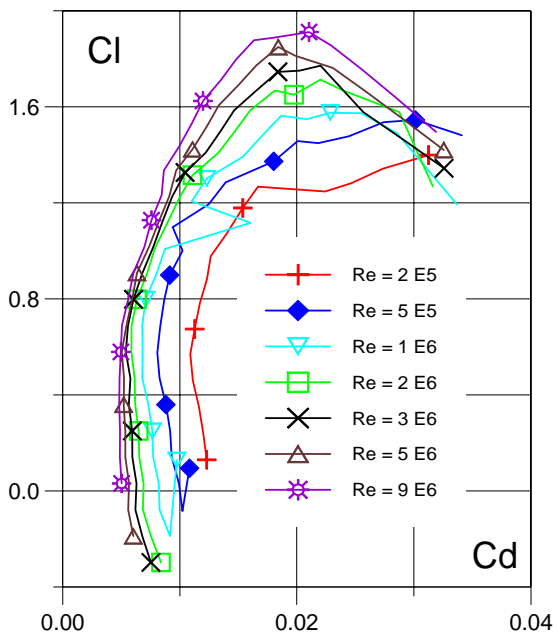


Fig. 5.3.50. (c) Curvas de Cl/Cd y (d) Cl , Cd , C_m vs. Ángulo de ataque del Perfil FX62K153.

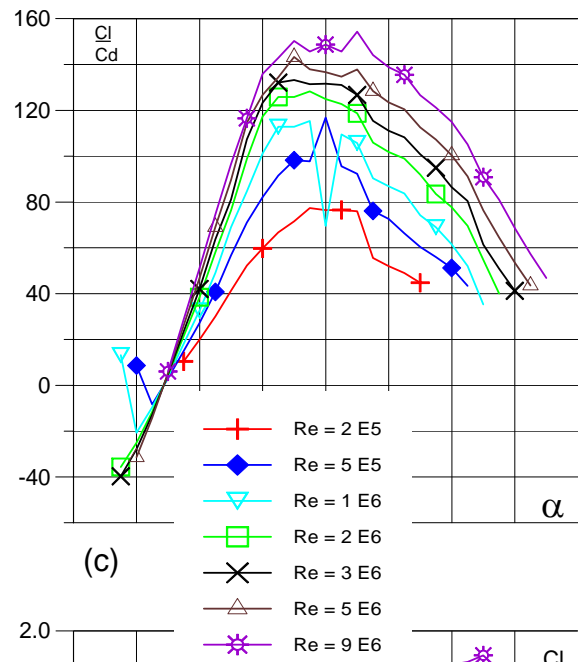


(a)

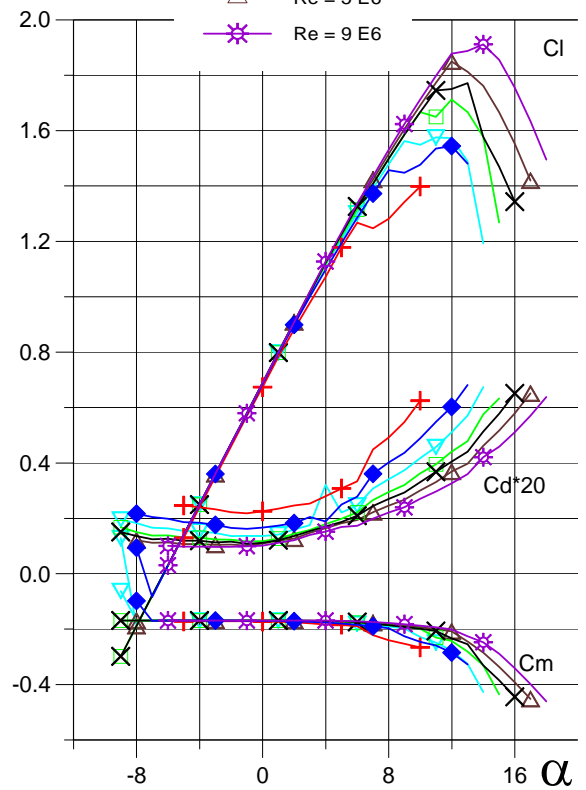


(b)

Fig. 5.3.51. (a) Cp (0°, 5° y Máx) vs. X para Re = 1 E 6 (leer Cpmáx a la derecha) y (b) Curvas Polares del Perfil FX63100.



(c)



(d)

Fig. 5.3.52. (c) Curvas de Cl/Cd y (d) Cl, Cd, Cm vs. Ángulo de ataque del Perfil FX63100.

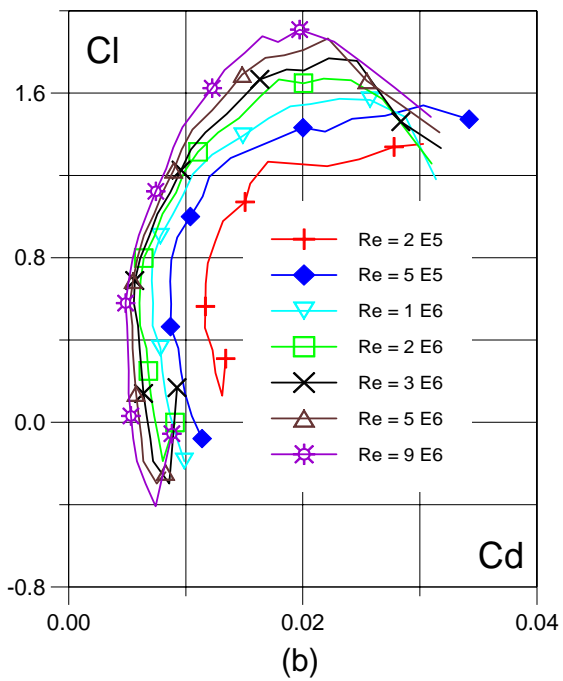
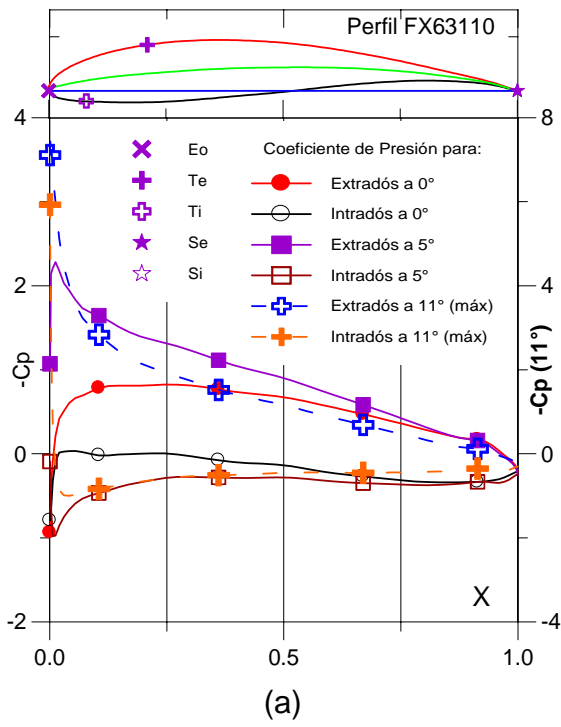


Fig. 5.3.53. (a) Cp (0°, 5° y Máx) vs. X para Re = 1 E 6 (leer Cpmáx a la derecha) y (b) Curvas Polares del Perfil FX63110.

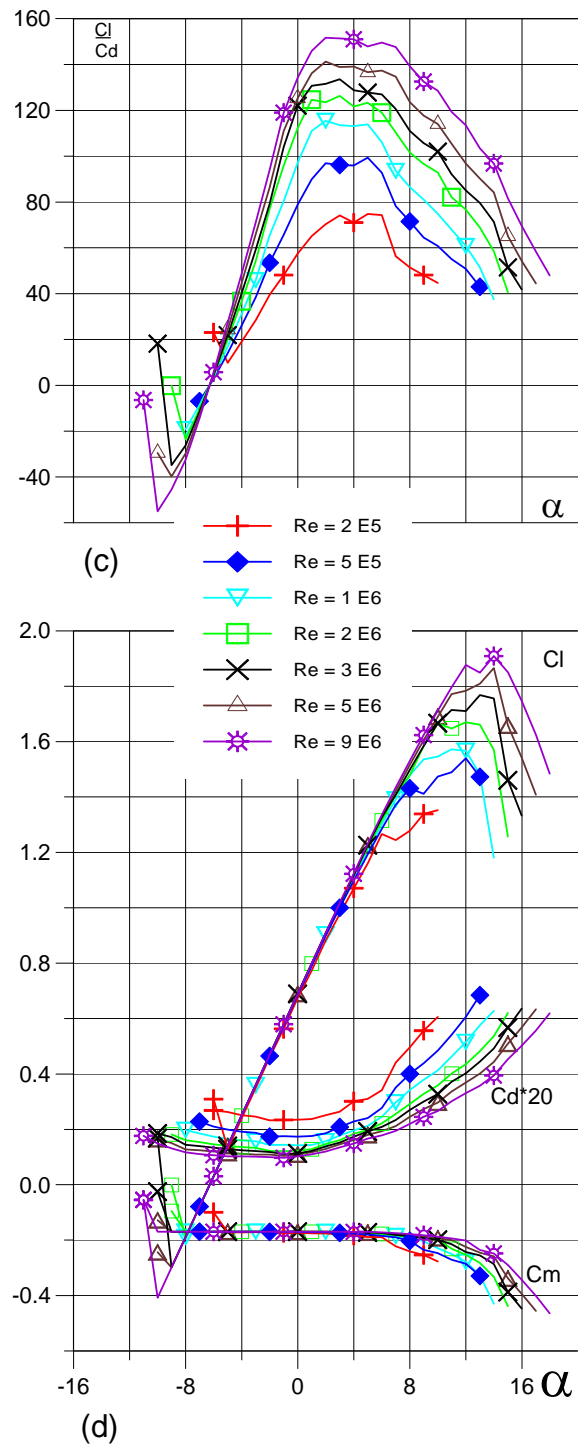


Fig. 5.3.54. (c) Curvas de Cl/Cd y (d) Cl, Cd, Cm vs. Ángulo de ataque del Perfil FX63110.

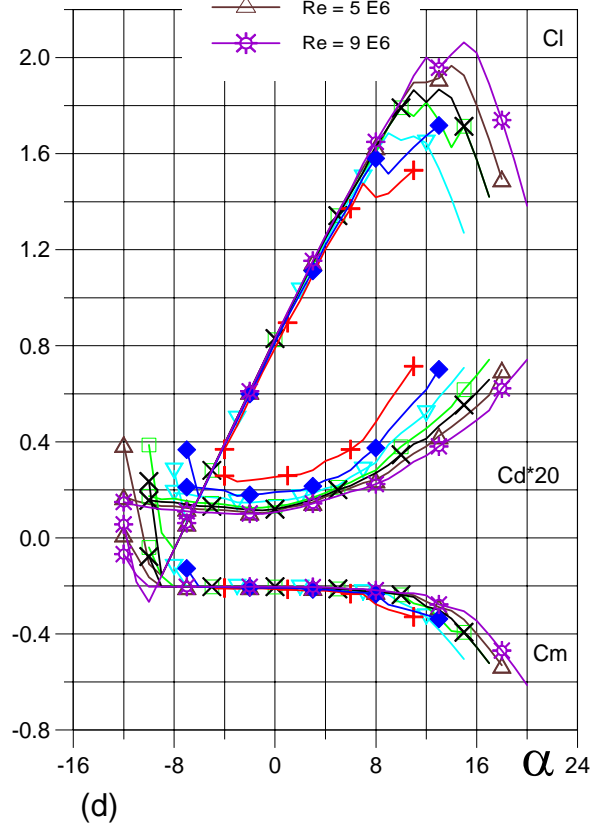
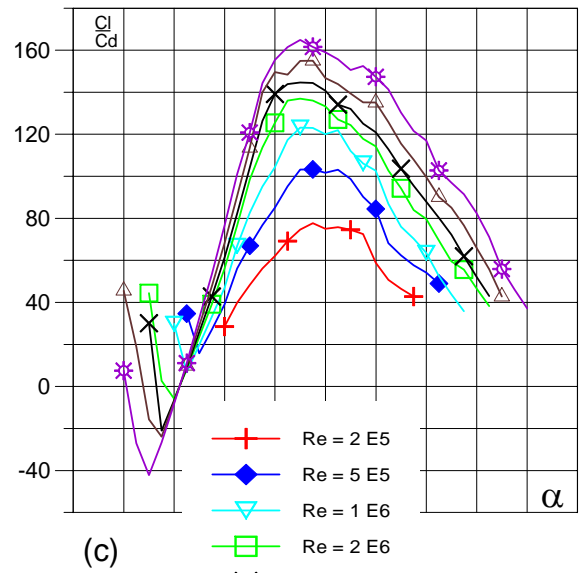
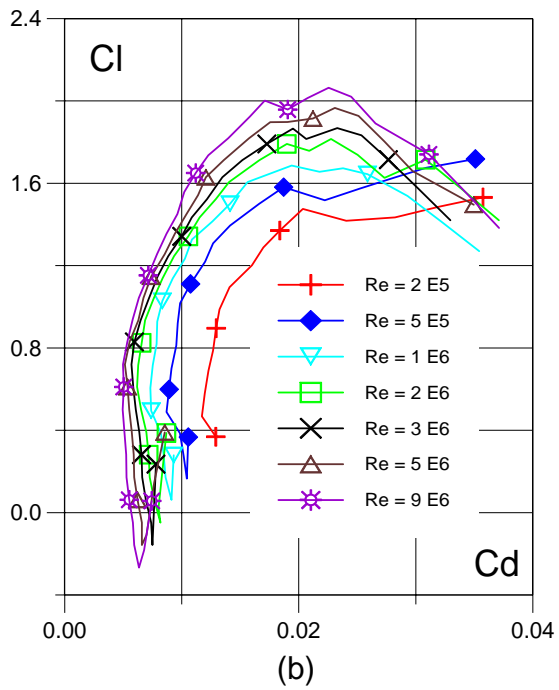
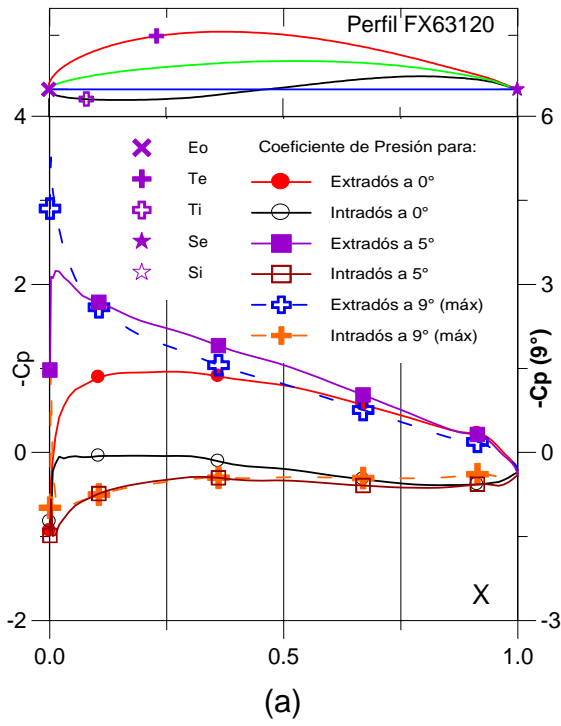


Fig. 5.3.55. (a) C_p (0° , 5° y Máx) vs. X para $Re = 1 E 6$ (leer $C_{p\text{máx}}$ a la derecha) y (b) Curvas Polares del Perfil FX63120.

Fig. 5.3.56. (c) Curvas de Cl/Cd y (d) Cl , Cd , C_m vs. Ángulo de ataque del Perfil FX63120.

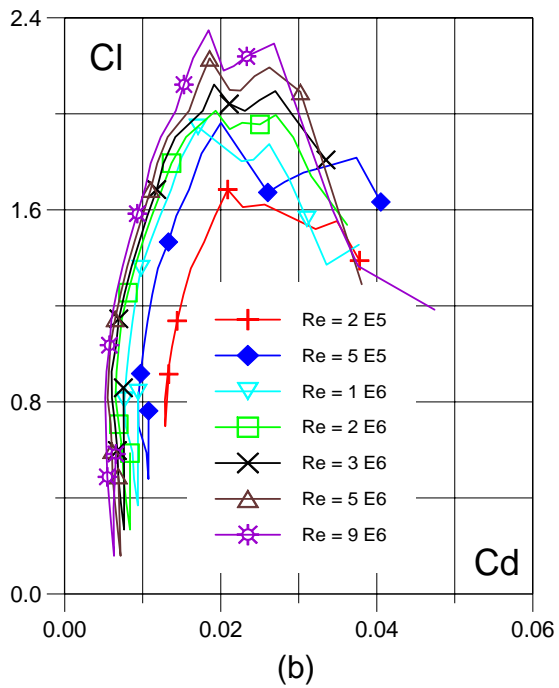
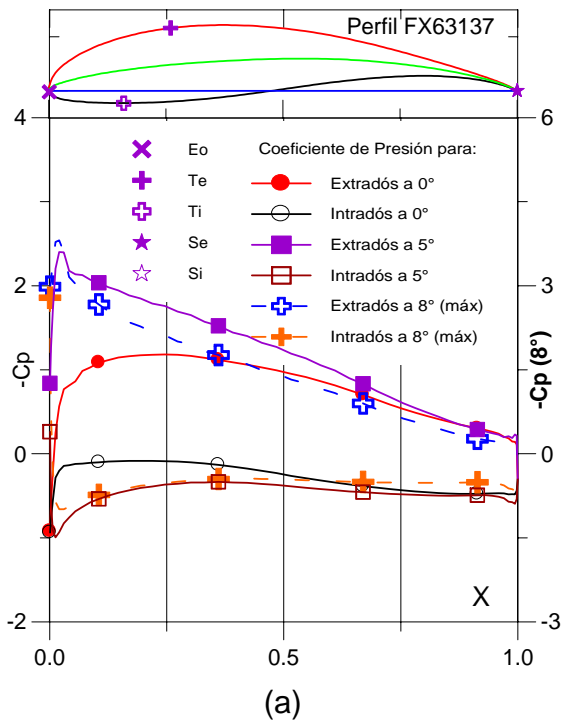


Fig. 5.3.57. (a) C_p (0° , 5° y Máx) vs. X para $Re = 1 E 6$ (leer $C_{p\text{máx}}$ a la derecha) y (b) Curvas Polares del Perfil FX63137.

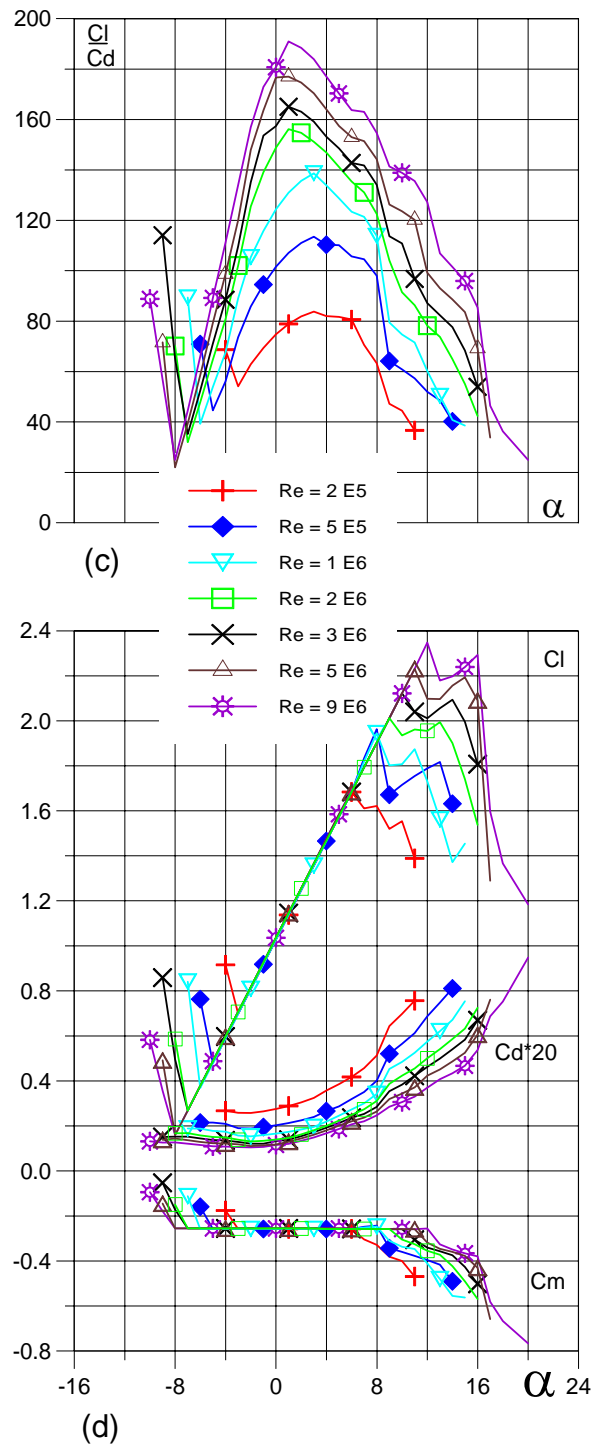


Fig. 5.3.58. (c) Curvas de Cl/Cd y (d) Cl , Cd , C_m vs. Ángulo de ataque del Perfil FX63137.

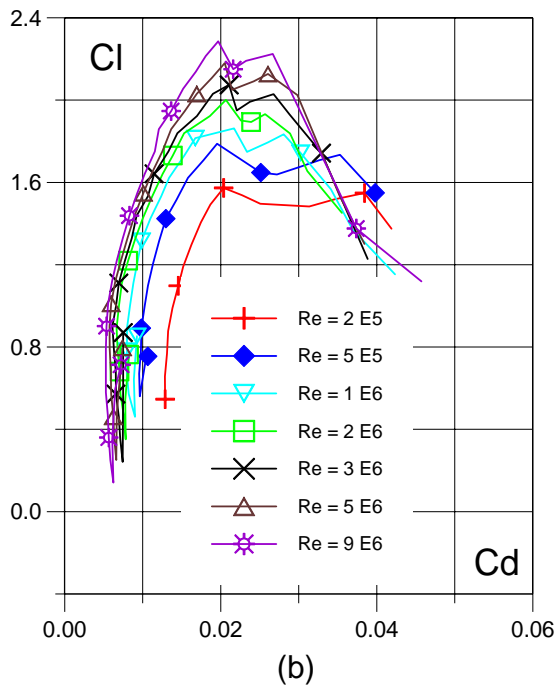
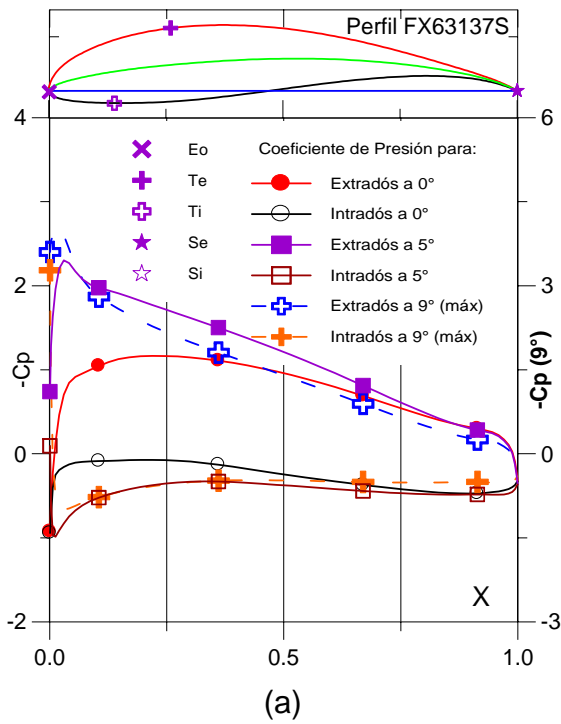


Fig. 5.3.59. (a) C_p (0° , 5° y Máx) vs. X para $Re = 1 E 6$ (leer $C_{p\text{máx}}$ a la derecha) y (b) Curvas Polares del Perfil FX63137S.

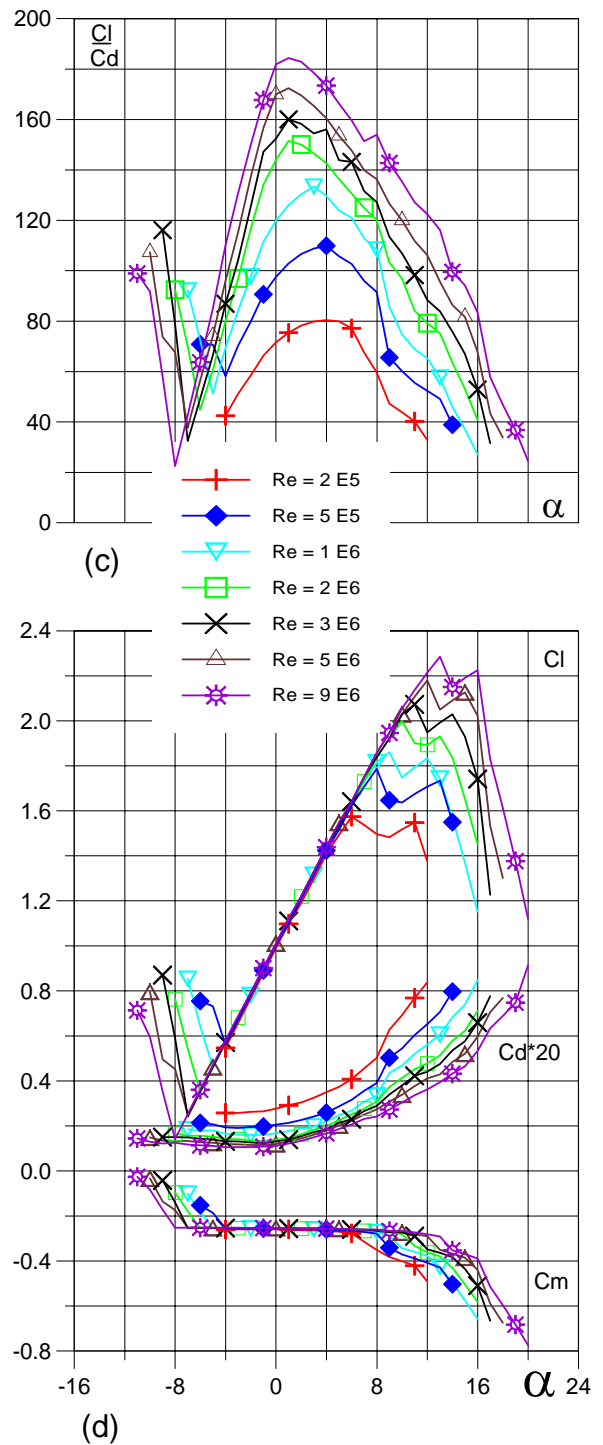


Fig. 5.3.60. (c) Curvas de Cl/Cd y (d) Cl , Cd , C_m vs. Ángulo de ataque del Perfil FX63137S.

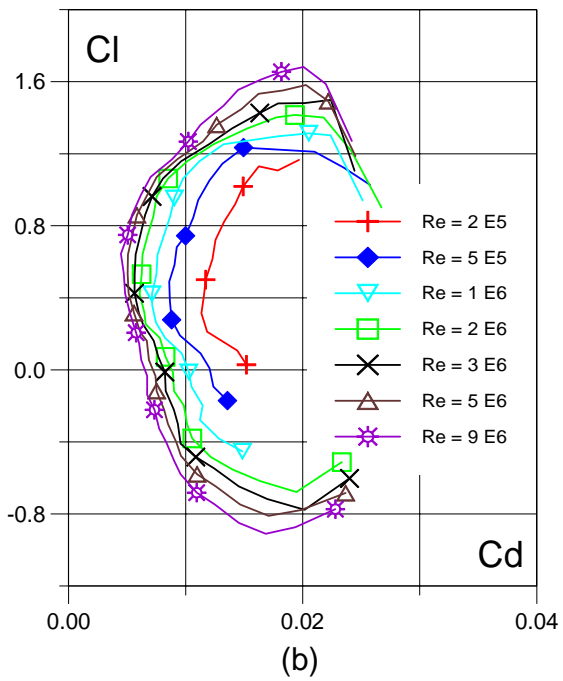
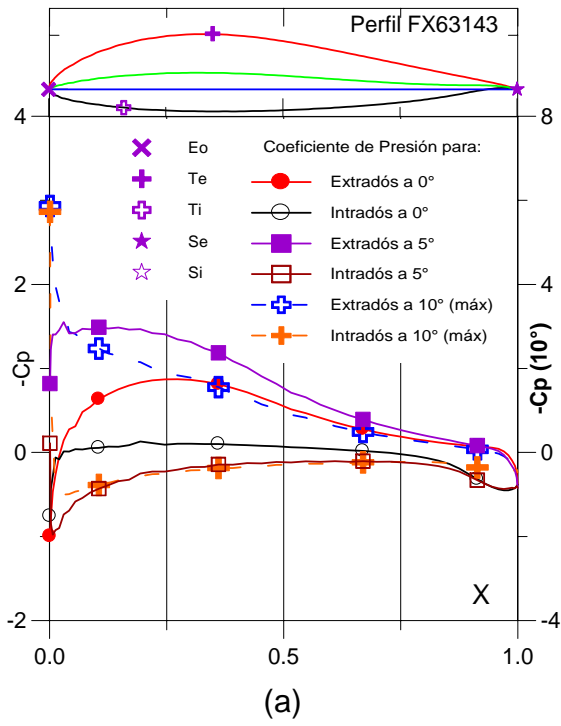


Fig. 5.3.61. (a) C_p (0° , 5° y Máx) vs. X para $Re = 1 E 6$ (leer $C_{p\text{máx}}$ a la derecha) y (b) Curvas Polares del Perfil FX63143.

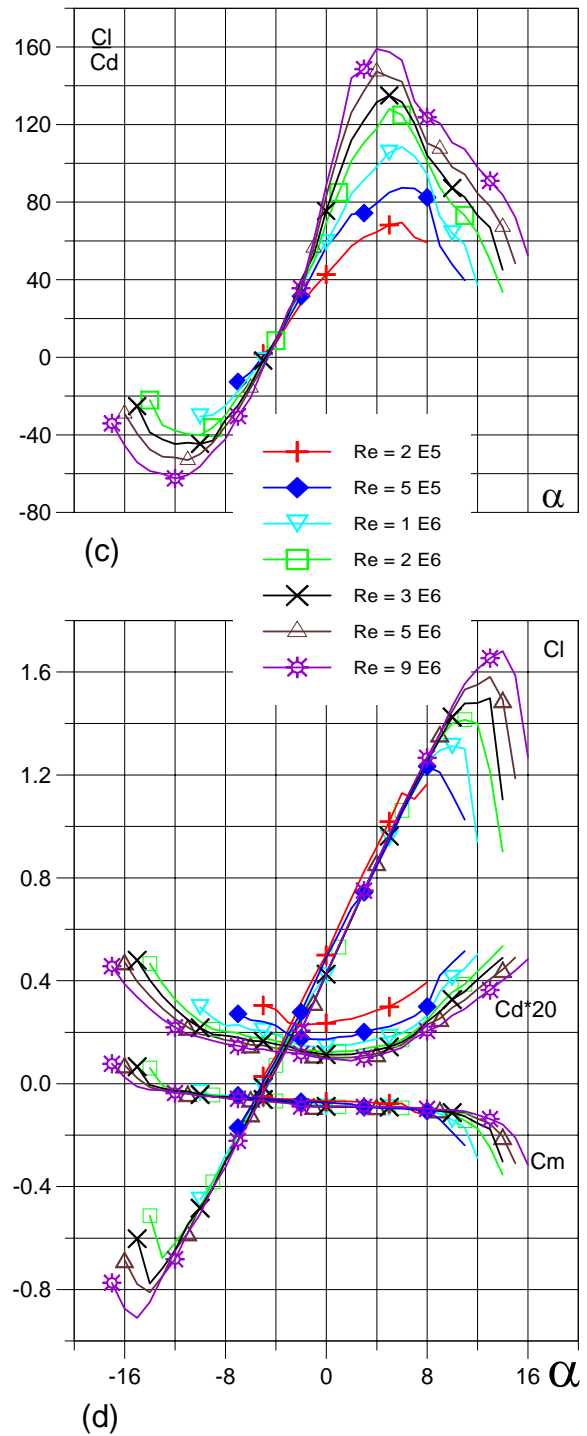
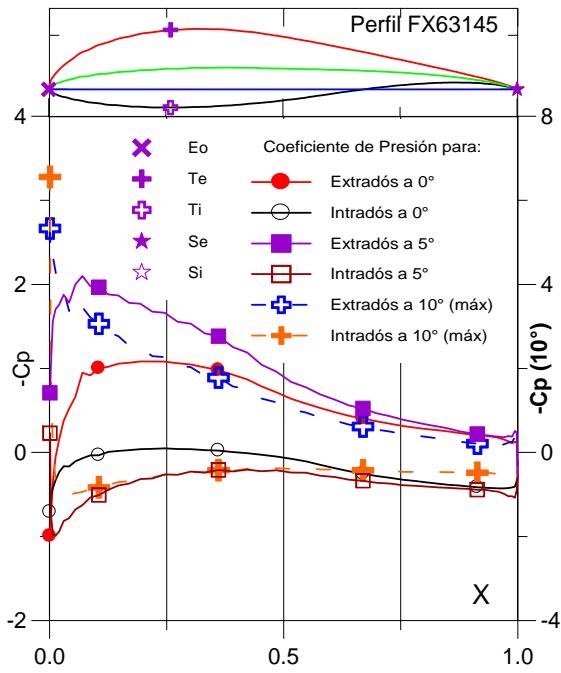
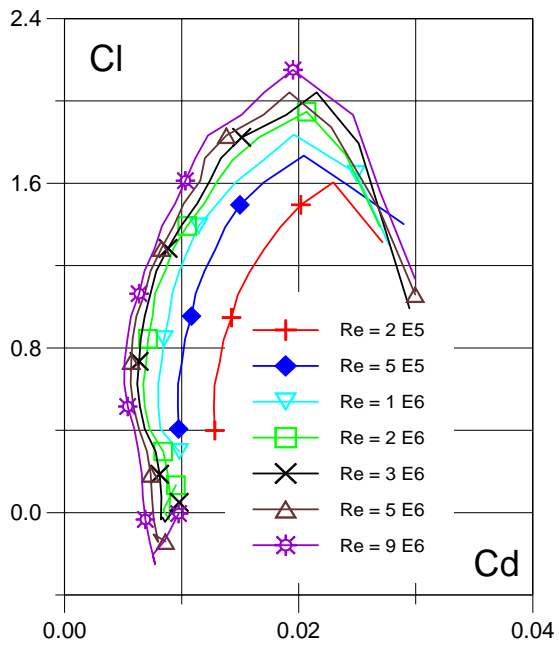


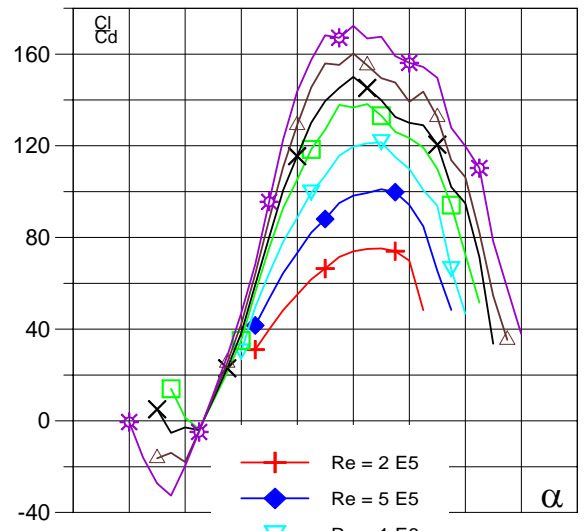
Fig. 5.3.62. (c) Curvas de Cl/Cd y (d) Cl , Cd , C_m vs. Ángulo de ataque del Perfil FX63143.



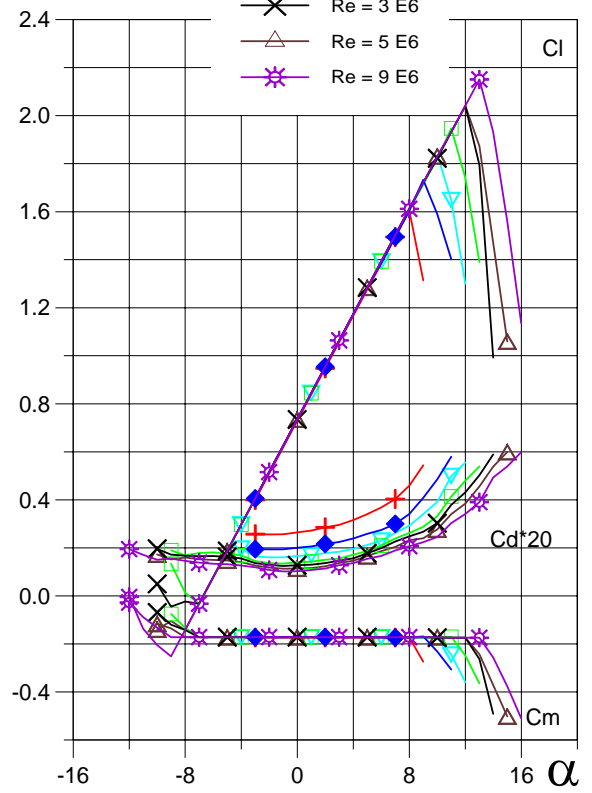
(a)



(b)



(c)



(d)

Fig. 5.3.63. (a) C_p (0°, 5° y Máx) vs. X para $Re = 1 E 6$ (leer $C_{p\text{máx}}$ a la derecha) y (b) Curvas Polares del Perfil FX63145.

Fig. 5.3.64. (c) Curvas de Cl/Cd y (d) Cl , Cd , Cm vs. Ángulo de ataque del Perfil FX63145.

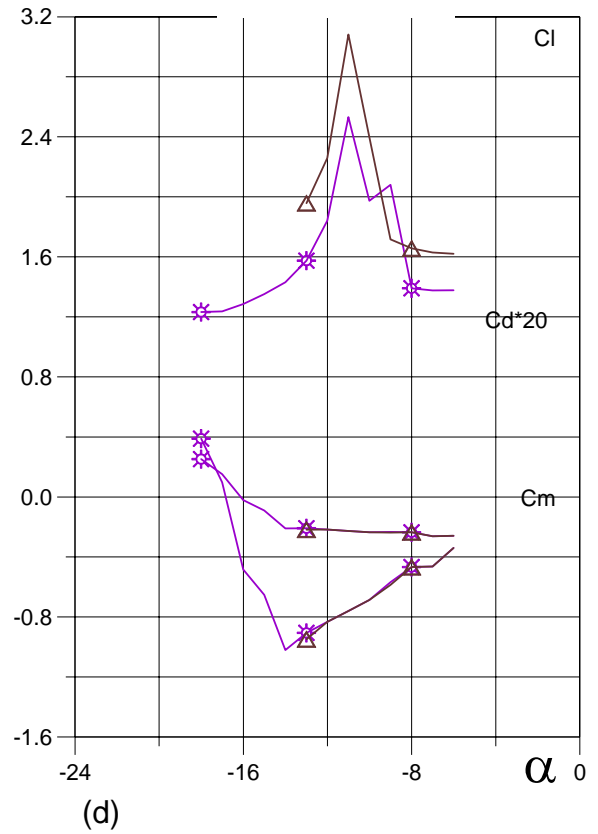
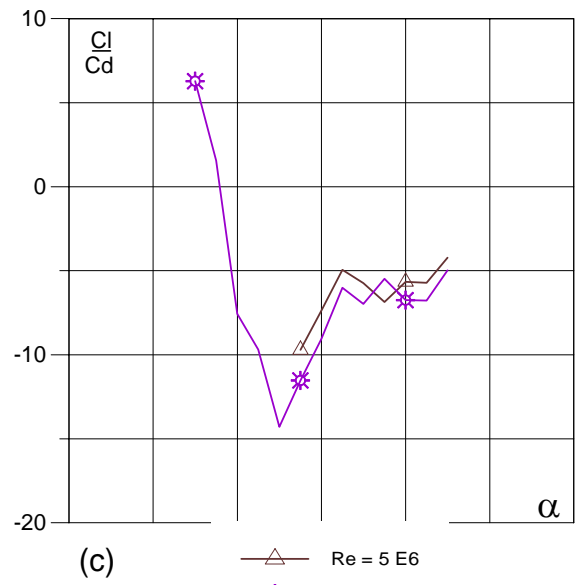
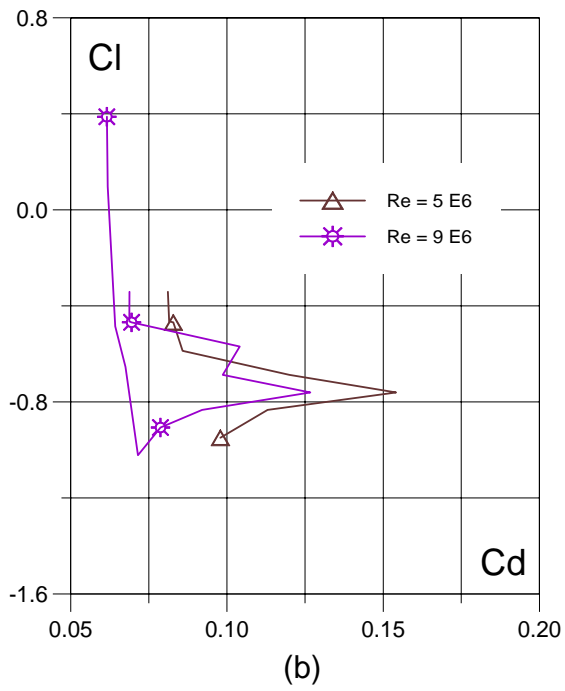
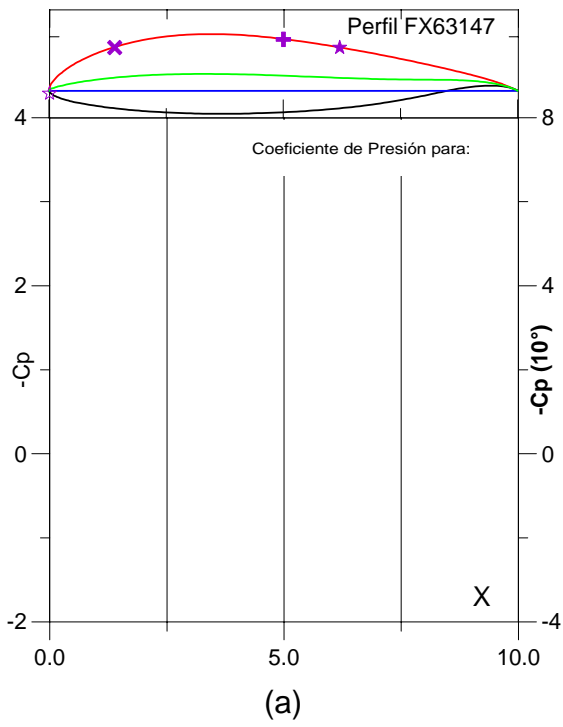


Fig. 5.3.65. (a) C_p (0° , 5° y Máx) vs. X para $Re = 1 E 6$ (leer $C_{p\text{máx}}$ a la derecha) y (b) Curvas Polares del Perfil FX63147.

Fig. 5.3.66. (c) Curvas de Cl/Cd y (d) Cl , Cd , C_m vs. Ángulo de ataque del Perfil FX63147.

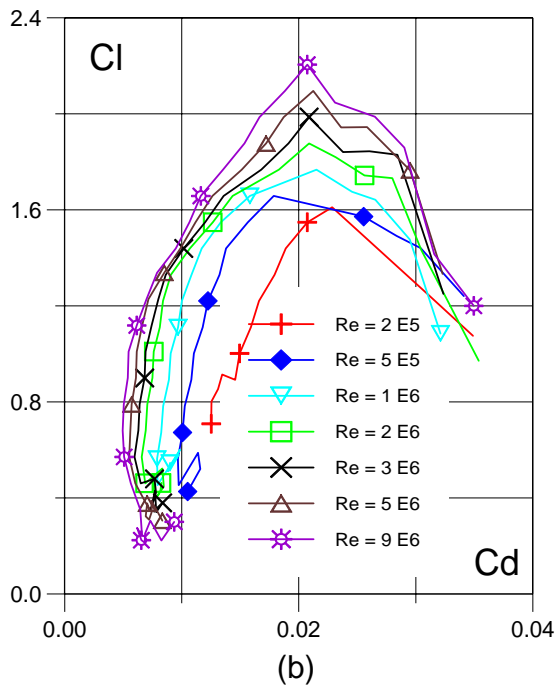
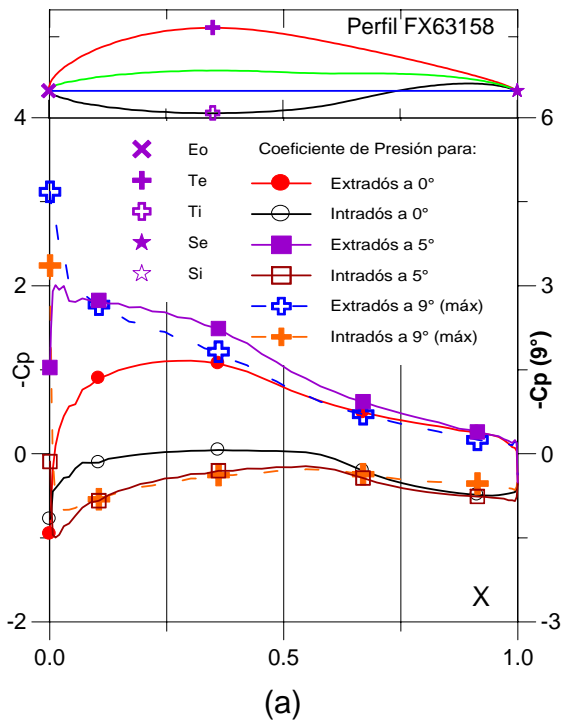


Fig. 5.3.67. (a) C_p (0° , 5° y Máx) vs. X para $Re = 1 E 6$ (leer $C_{p\text{máx}}$ a la derecha) y (b) Curvas Polares del Perfil FX63158.

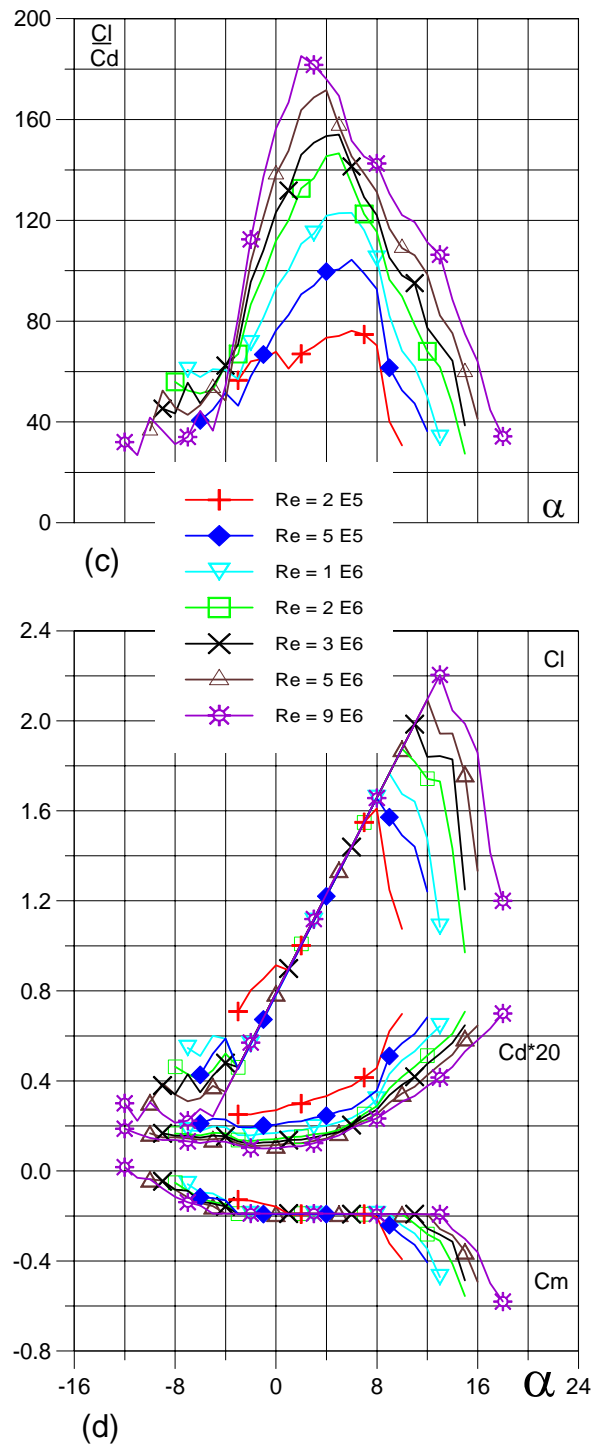


Fig. 5.3.68. (c) Curvas de Cl/Cd y (d) Cl , Cd , C_m vs. Ángulo de ataque del Perfil FX63158.

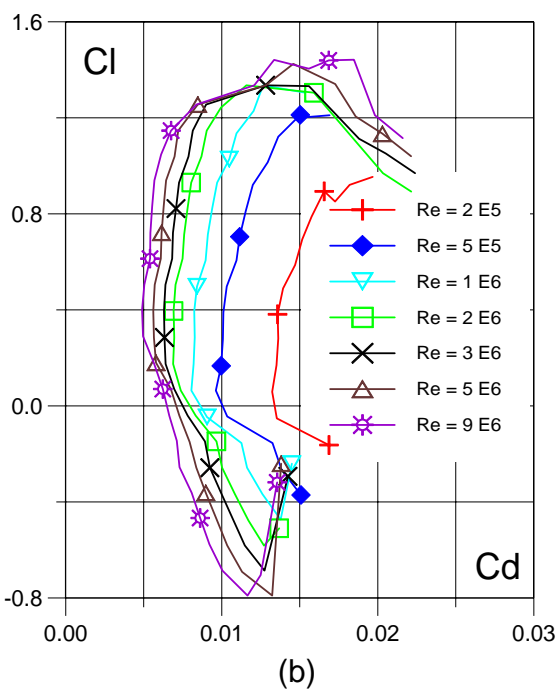
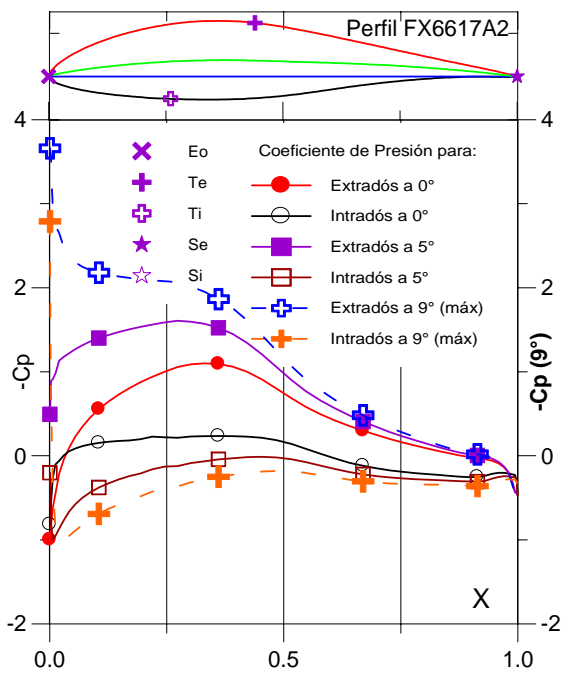


Fig. 5.3.69. (a) C_p (0° , 5° y Máx) vs. X para $Re = 1 E 6$ (leer $C_{p\text{máx}}$ a la derecha) y (b) Curvas Polares del Perfil FX6617A2.

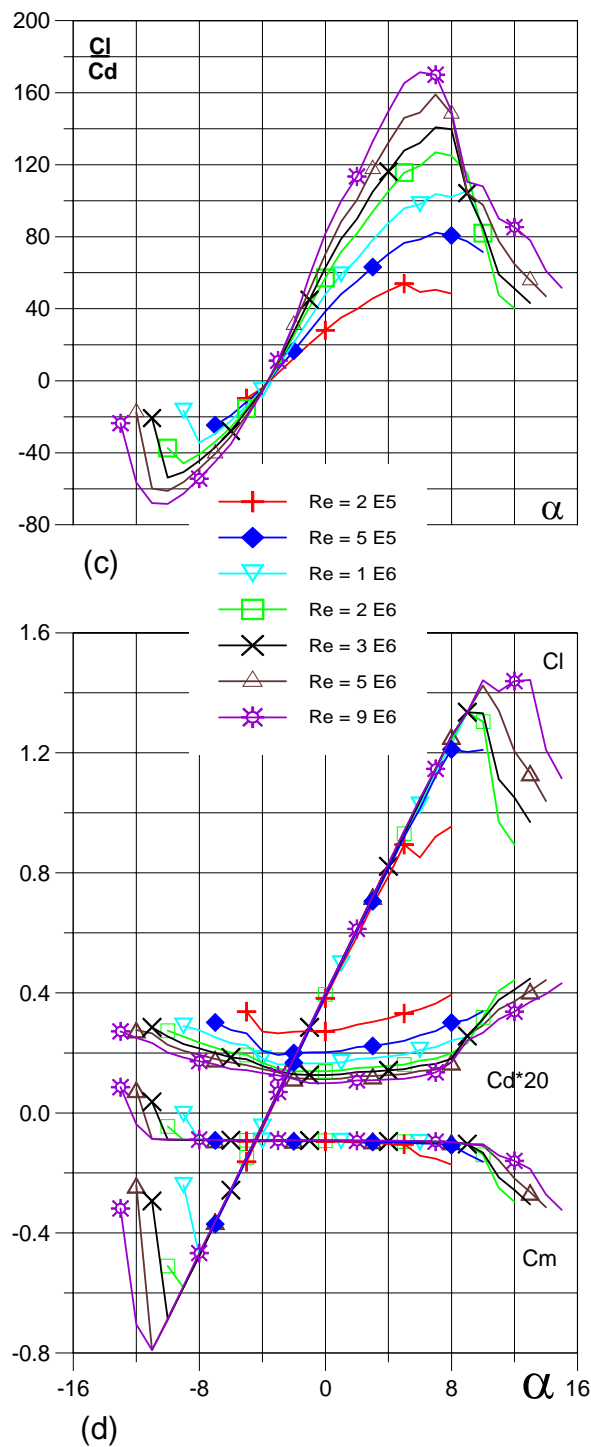


Fig. 5.3.70. (c) Curvas de Cl/Cd y (d) Cl , Cd , C_m vs. Ángulo de ataque del Perfil FX6617A2.

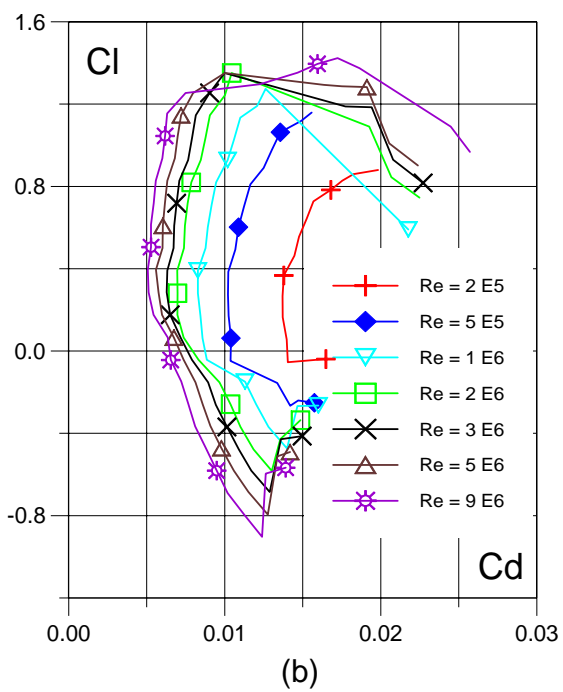
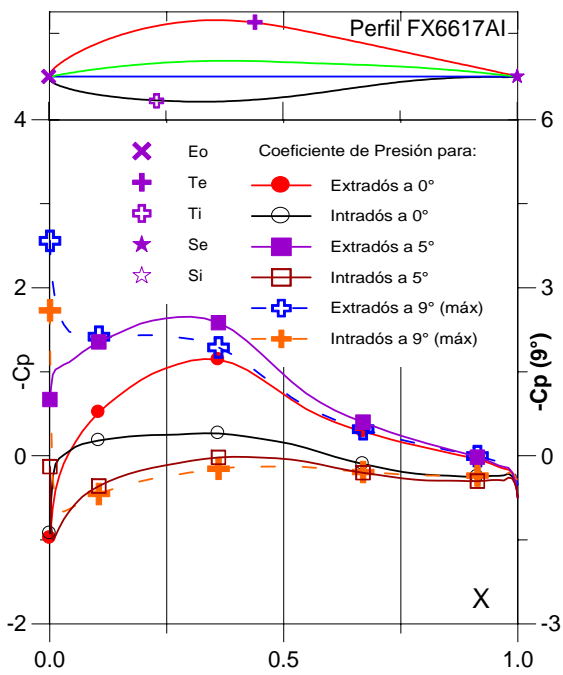


Fig. 5.3.71. (a) C_p (0°, 5° y Máx) vs. X para $Re = 1 E 6$ (leer $C_{p\text{máx}}$ a la derecha) y (b) Curvas Polares del Perfil FX6617AI.

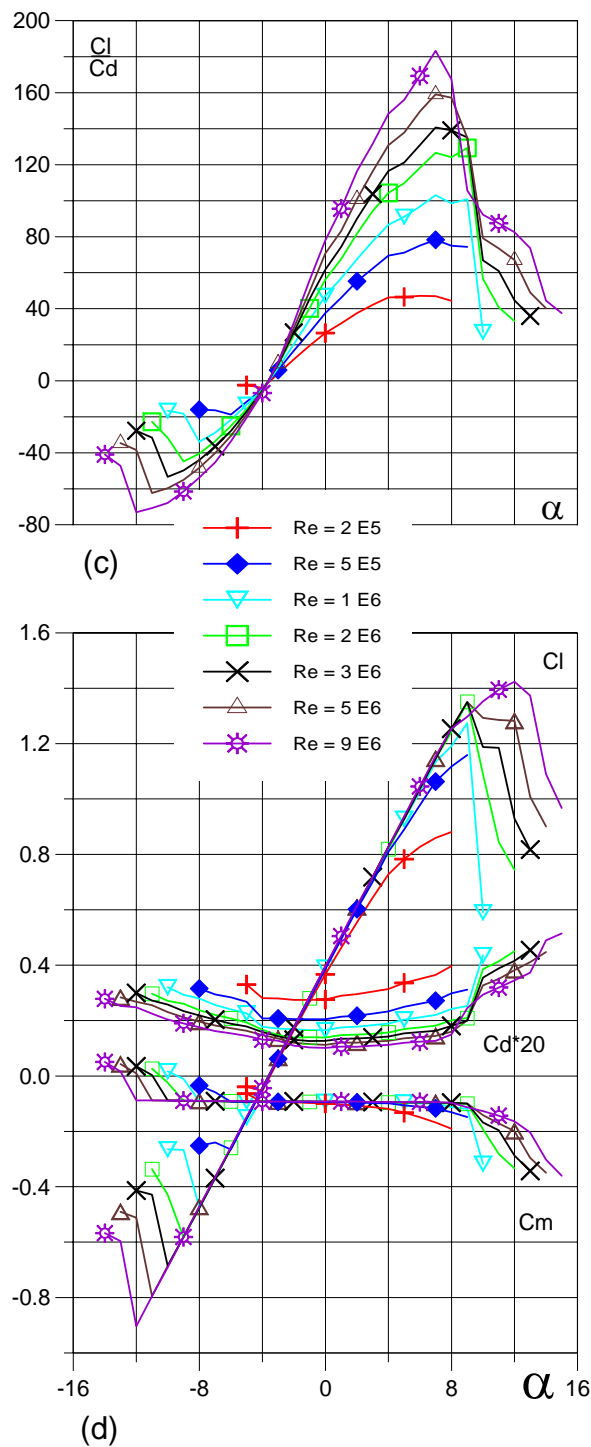


Fig. 5.3.72. (c) Curvas de Cl/Cd y (d) Cl , Cd , C_m vs. Ángulo de ataque del Perfil FX6617AI.

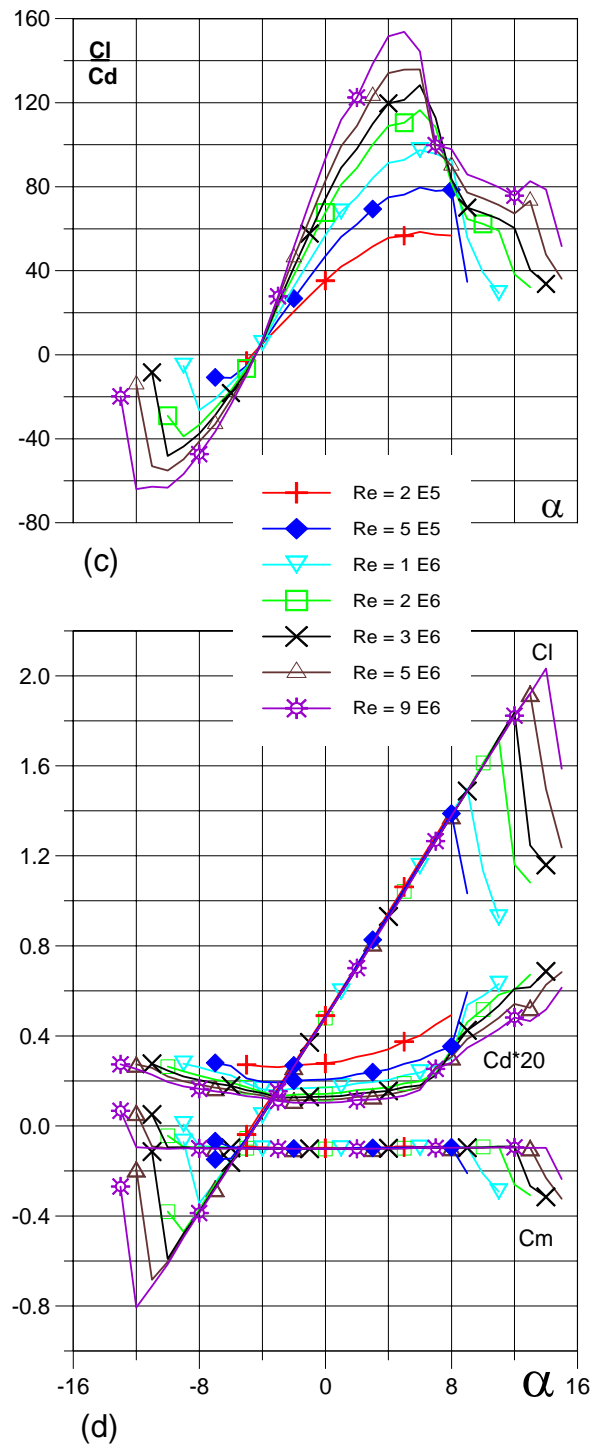
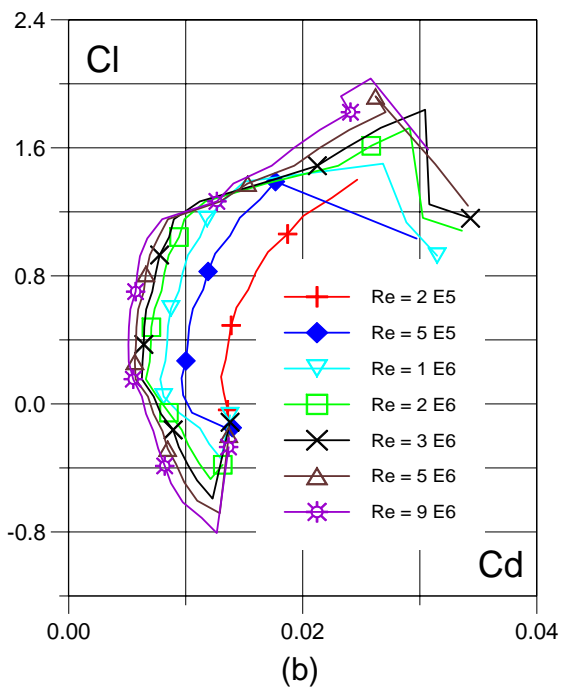
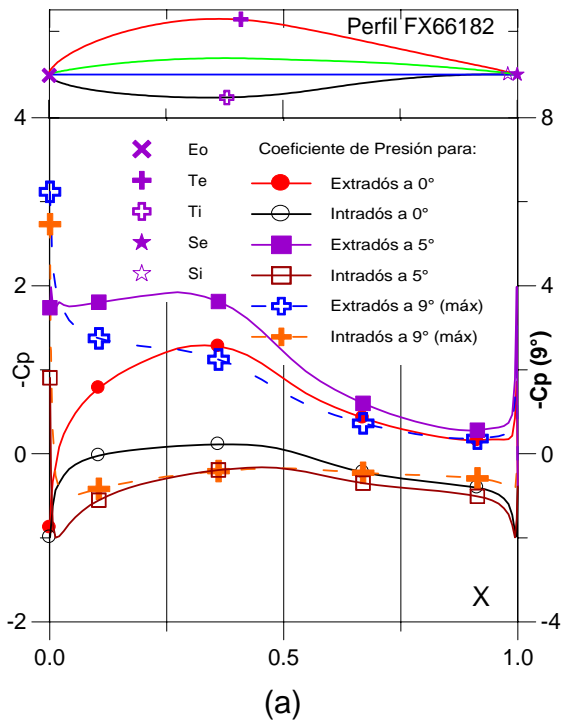


Fig. 5.3.73. (a) C_p (0° , 5° y Máx) vs. X para $Re = 1 E 6$ (leer $C_{p\text{máx}}$ a la derecha) y (b) Curvas Polares del Perfil FX66182.

Fig. 5.3.74. (c) Curvas de Cl/Cd y (d) Cl , Cd , C_m vs. Ángulo de ataque del Perfil FX66182.

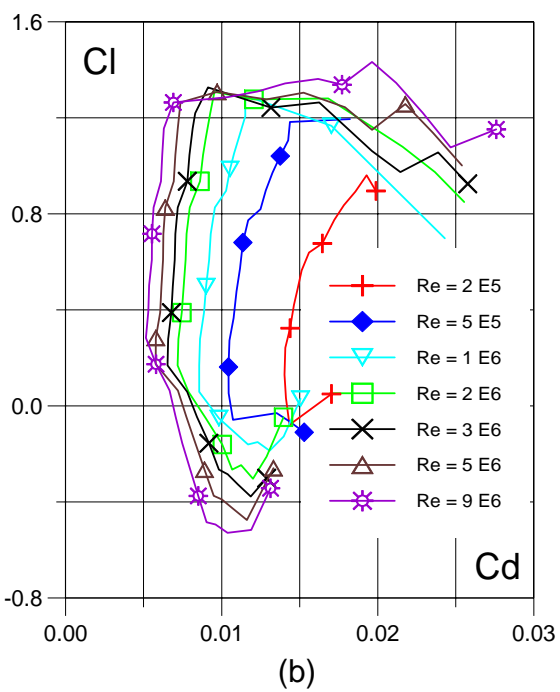
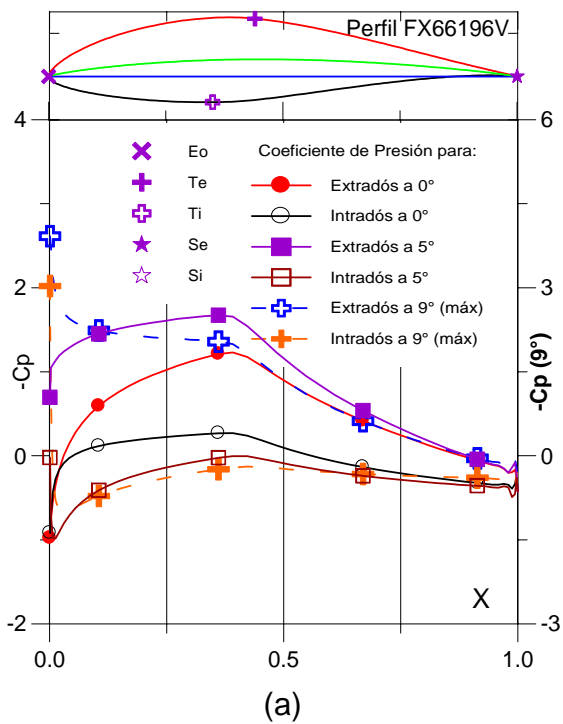


Fig. 5.3.75. (a) C_p (0° , 5° y Máx) vs. X para $Re = 1 E 6$ (leer $C_{p\text{máx}}$ a la derecha) y (b) Curvas Polares del Perfil FX66196V.

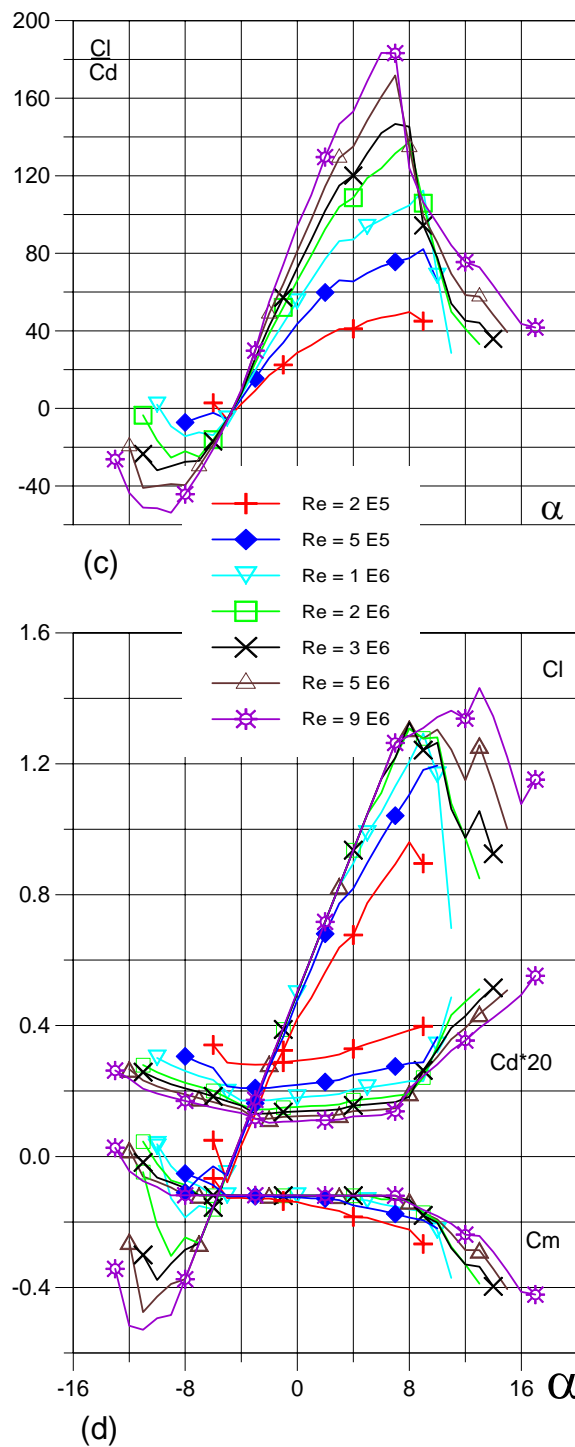


Fig. 5.3.76. (c) Curvas de Cl/Cd y (d) Cl , Cd , C_m vs. Ángulo de ataque del Perfil FX66196V.

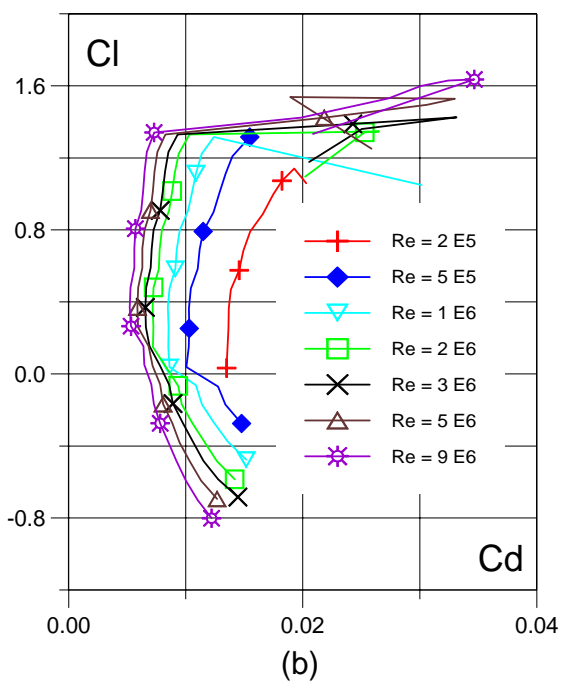
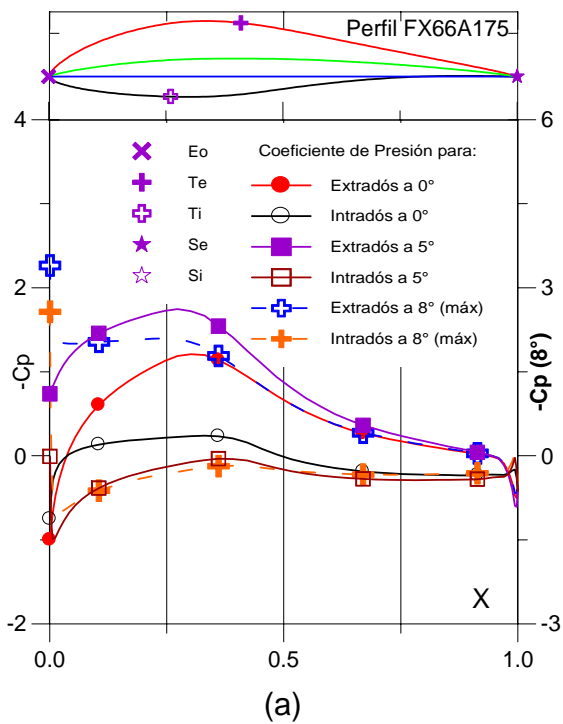


Fig. 5.3.77. (a) C_p (0°, 5° y Máx) vs. X para $Re = 1 E 6$ (leer $C_{p\text{máx}}$ a la derecha) y (b) Curvas Polares del Perfil FX66A175.

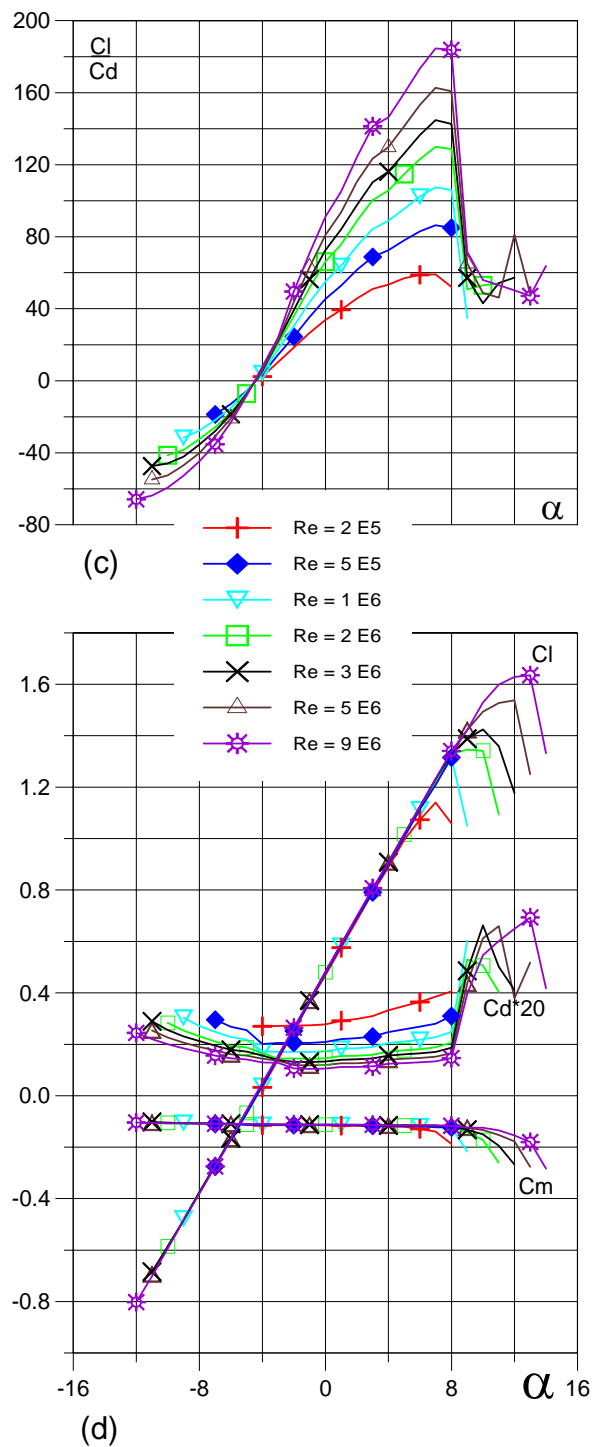


Fig. 5.3.78. (c) Curvas de Cl/Cd y (d) Cl, Cd, Cm vs. Ángulo de ataque del Perfil FX66A175.

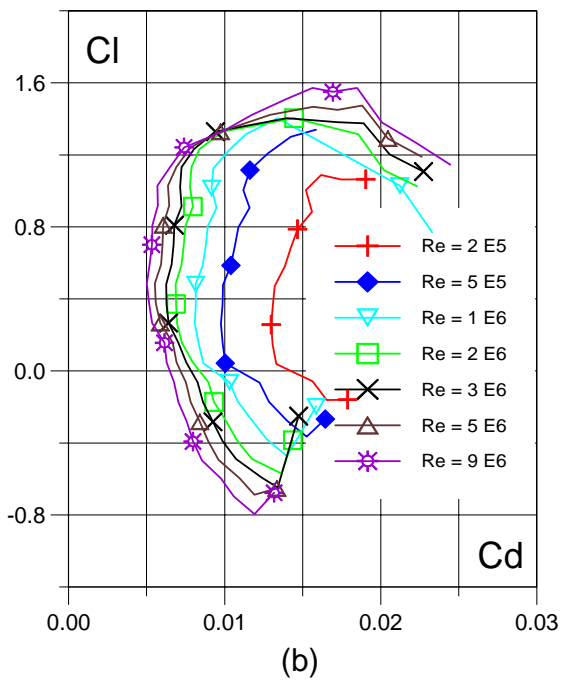
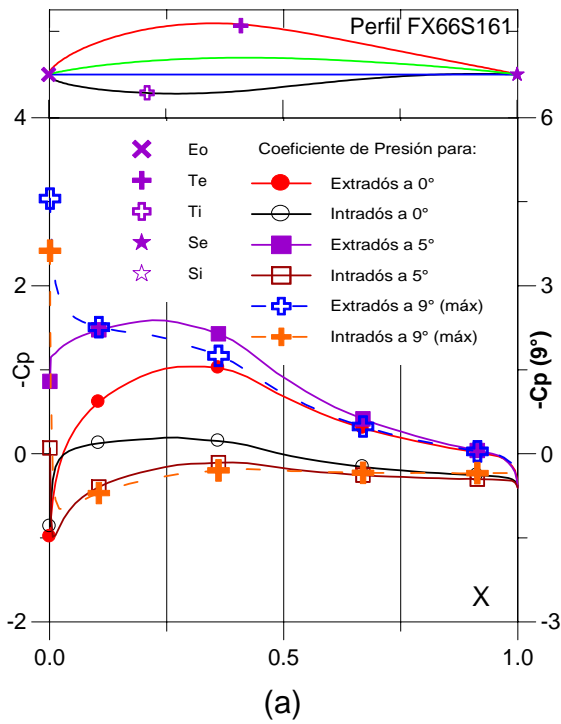


Fig. 5.3.79. (a) C_p (0°, 5° y Máx) vs. X para $Re = 1 E 6$ (leer $C_{p\text{máx}}$ a la derecha) y (b) Curvas Polares del Perfil FX66S161.

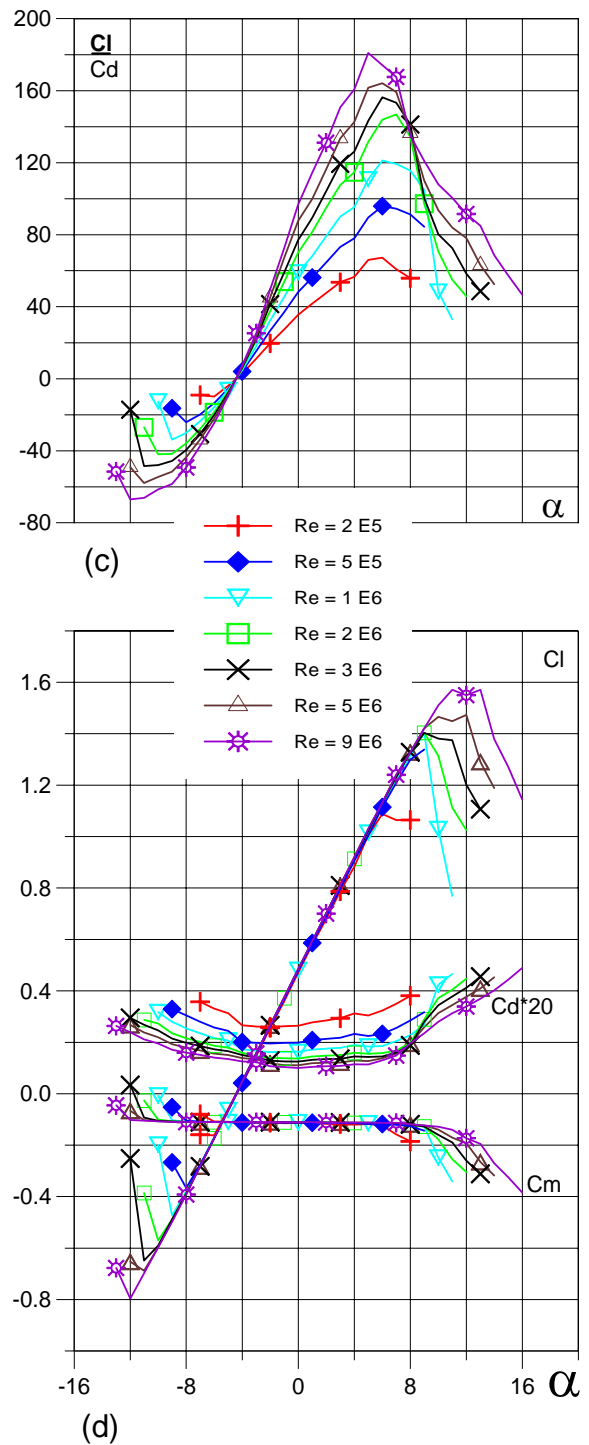


Fig. 5.3.80. (c) Curvas de Cl/Cd y (d) Cl , Cd , C_m vs. Ángulo de ataque del Perfil FX66S161.

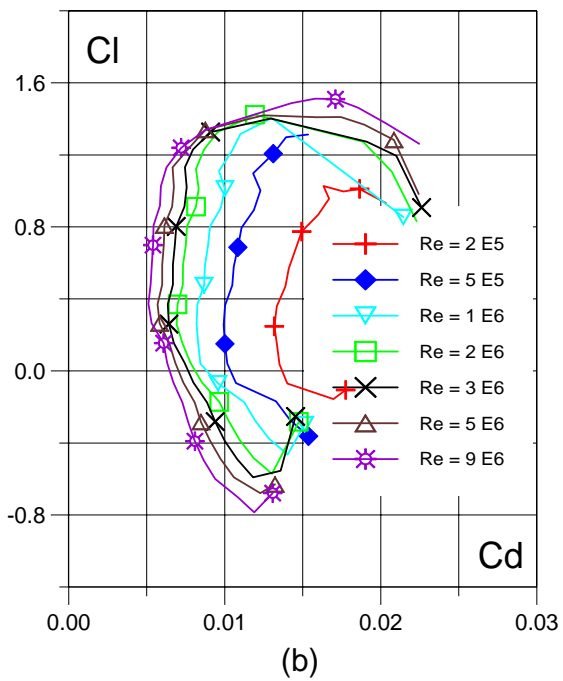
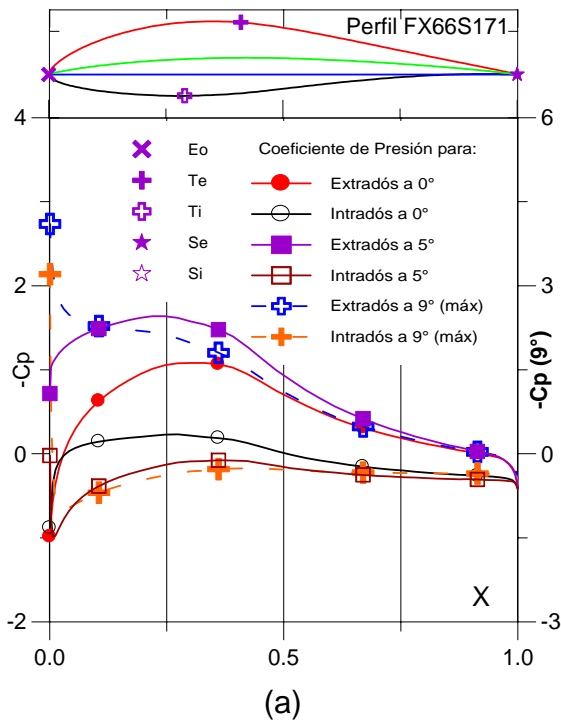


Fig. 5.3.81. (a) C_p (0° , 5° y Máx) vs. X para $Re = 1 E 6$ (leer $C_{p\text{máx}}$ a la derecha) y (b) Curvas Polares del Perfil FX66S171.

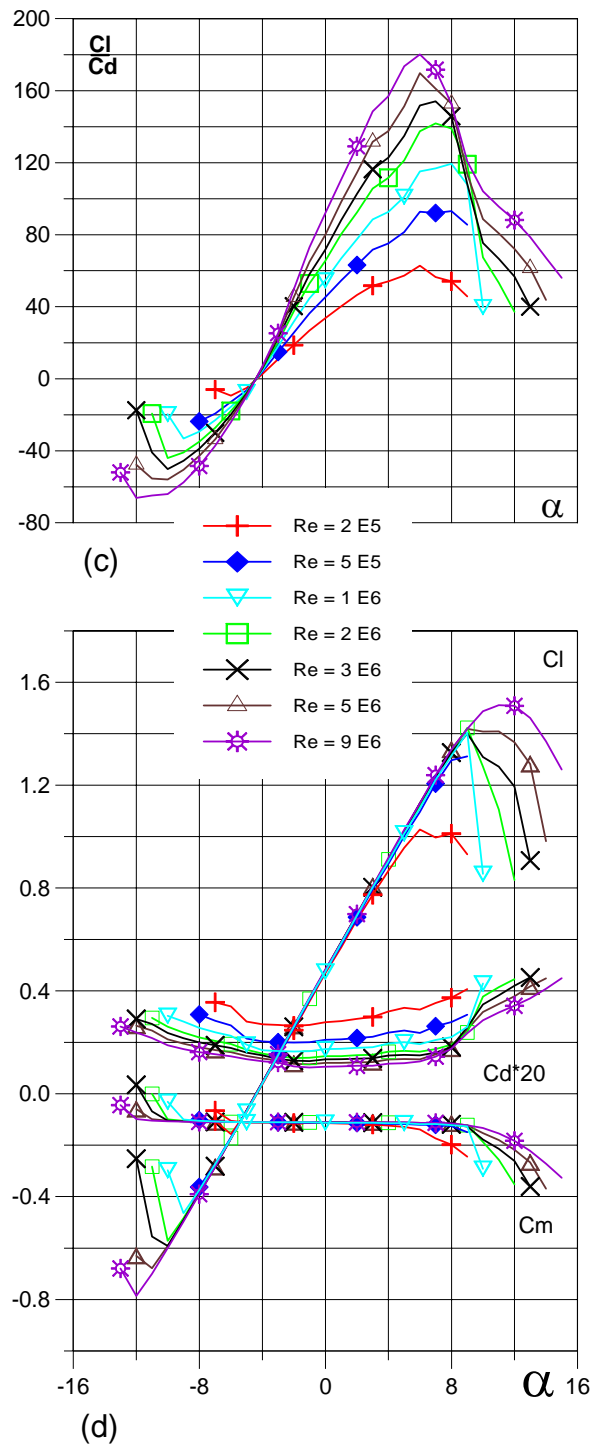


Fig. 5.3.82. (c) Curvas de Cl/C_d y (d) Cl , C_d , C_m vs. Ángulo de ataque del Perfil FX66S171.

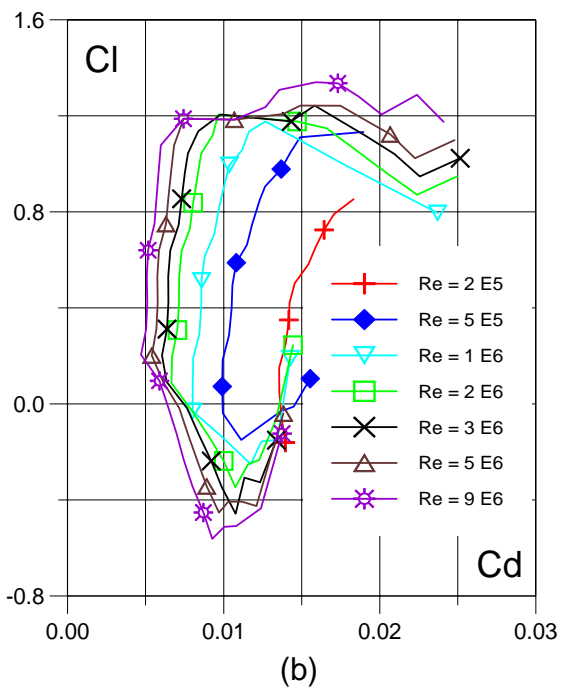
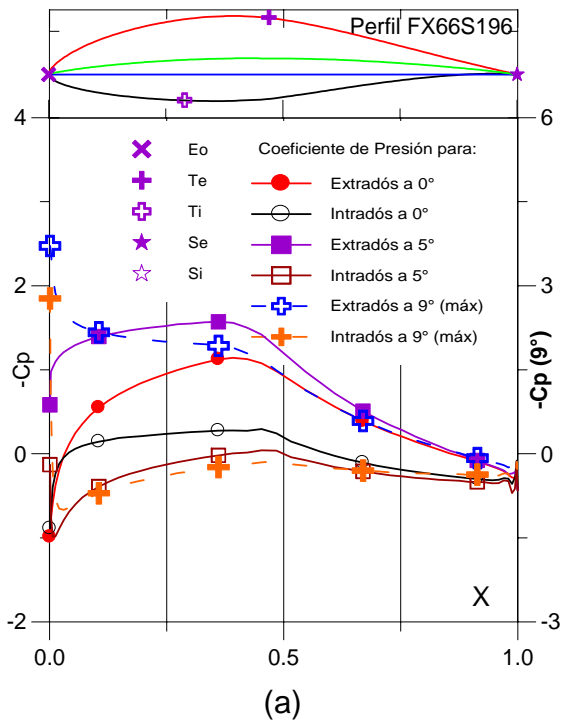


Fig. 5.3.83. (a) C_p (0° , 5° y Máx) vs. X para $Re = 1 E 6$ (leer $C_{p\text{máx}}$ a la derecha) y (b) Curvas Polares del Perfil FX66S196.

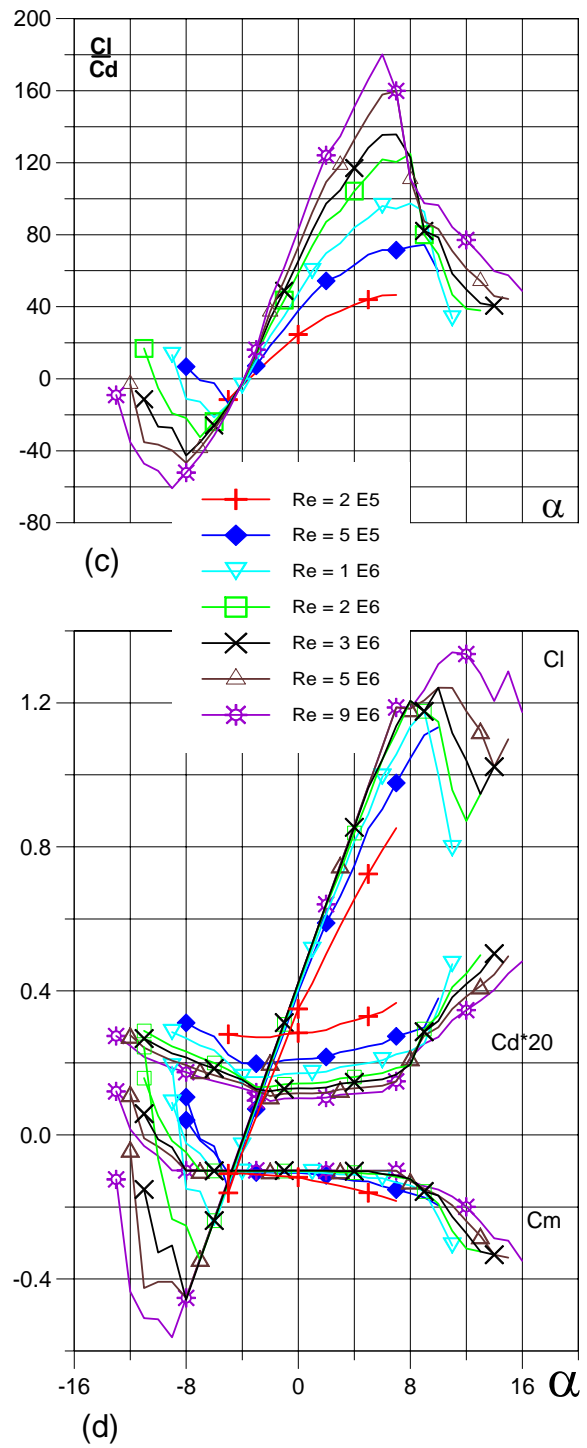
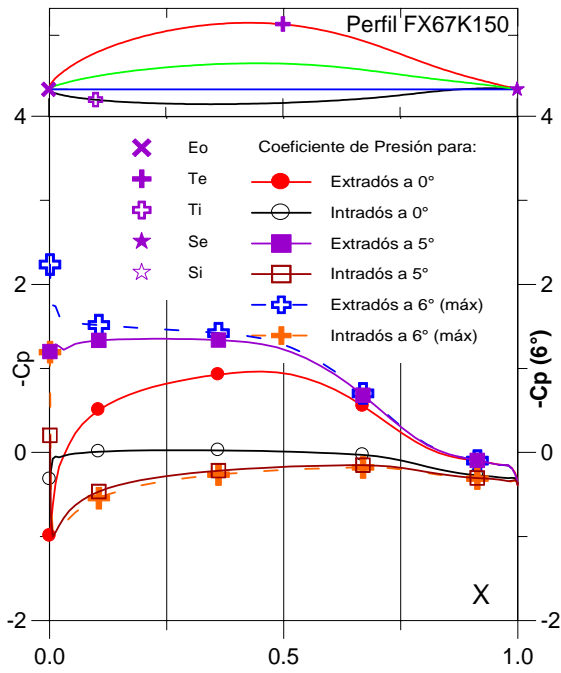
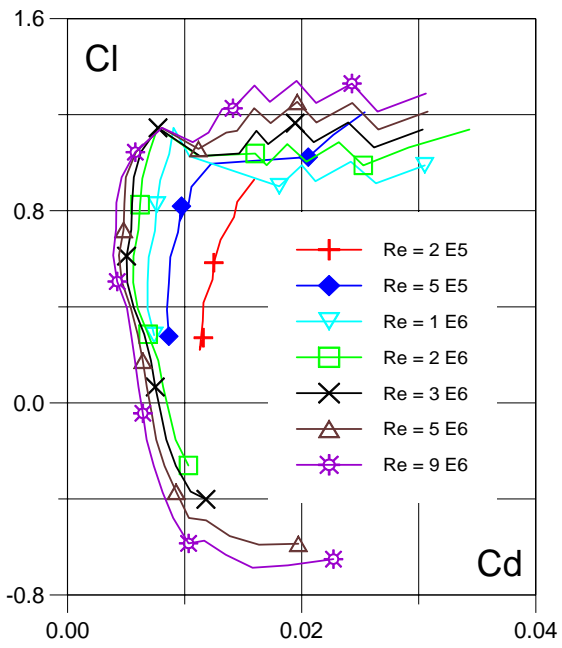


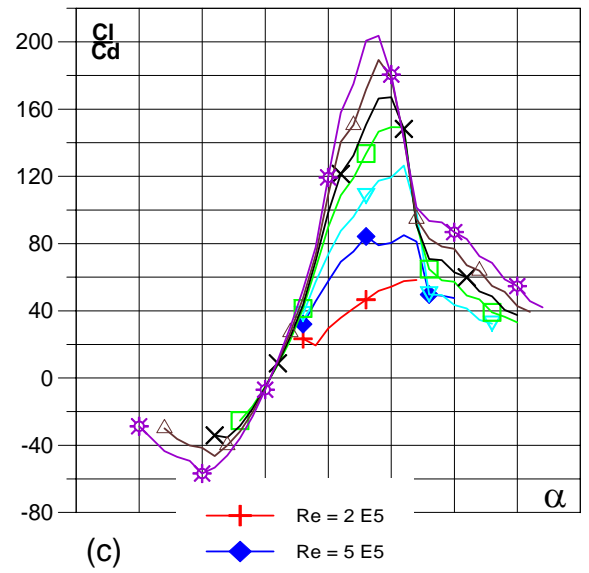
Fig. 5.3.84. (c) Curvas de Cl/Cd y (d) Cl , Cd , C_m vs. Ángulo de ataque del Perfil FX66S196.



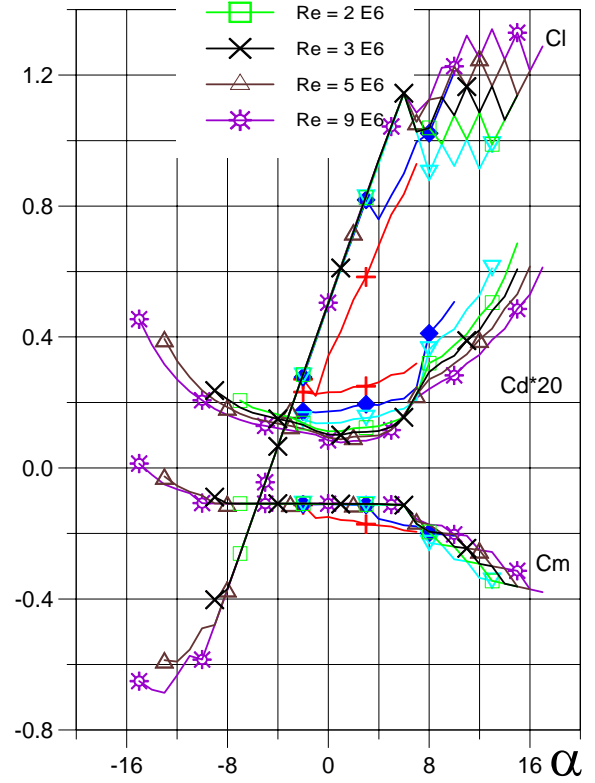
(a)



(b)



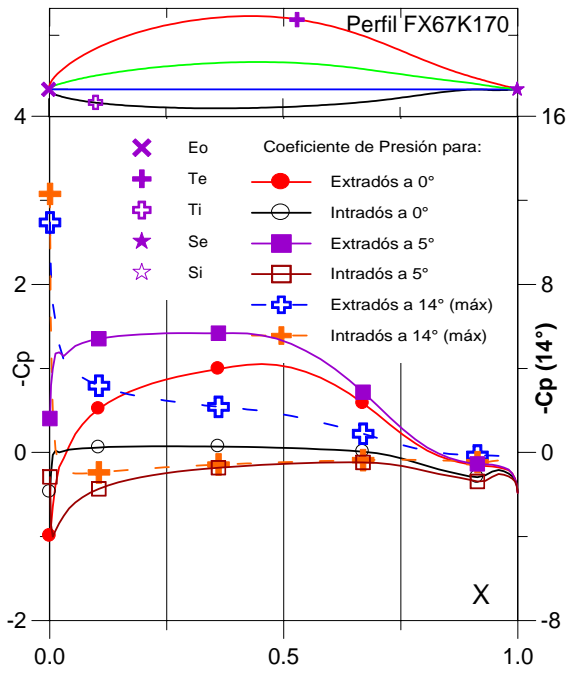
(c)



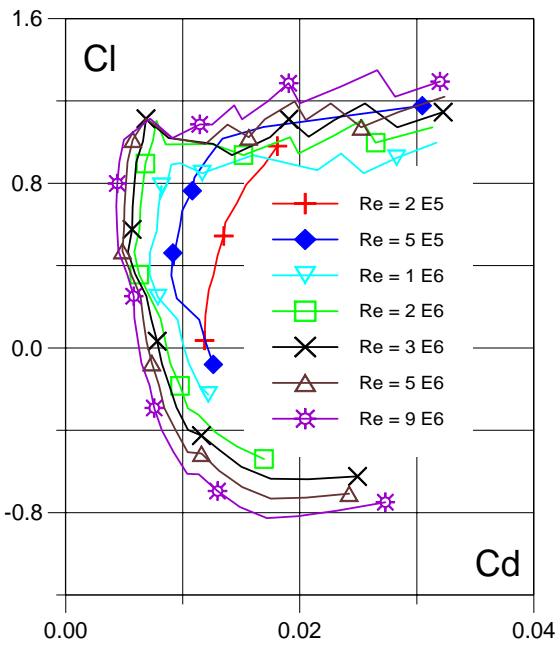
(d)

Fig. 5.3.85. (a) C_p (0° , 5° y Máx) vs. X para $Re = 1 E 6$ (leer $C_{p\text{máx}}$ a la derecha) y (b) Curvas Polares del Perfil FX67K150.

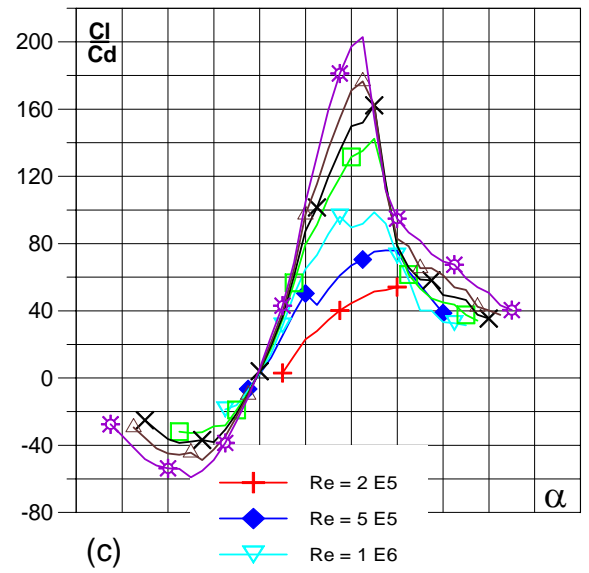
Fig. 5.3.86. (c) Curvas de Cl/Cd y (d) Cl , Cd , C_m vs. Ángulo de ataque del Perfil FX67K150.



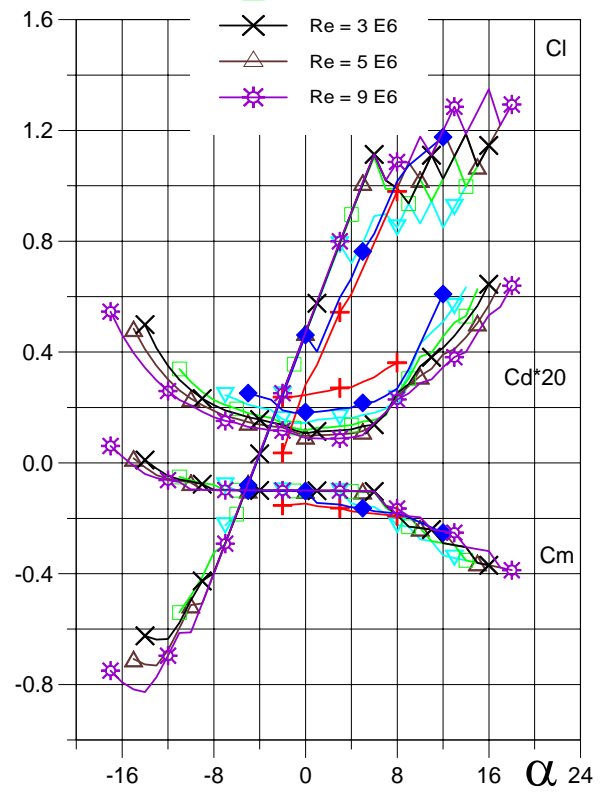
(a)



(b)



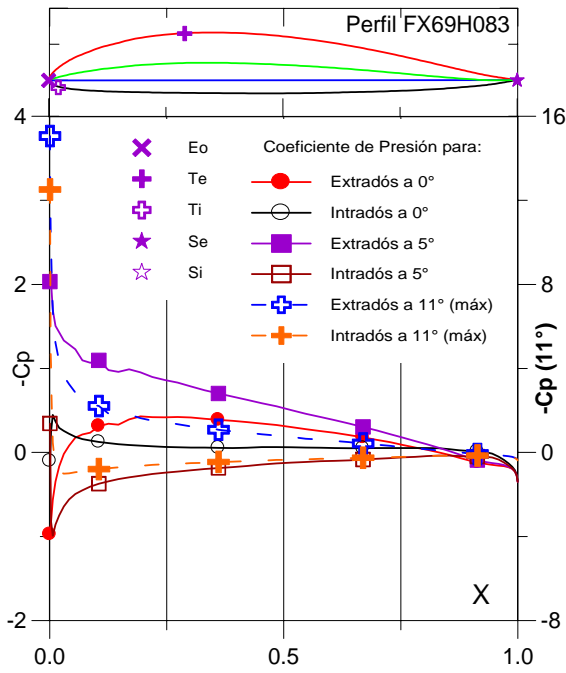
(c)



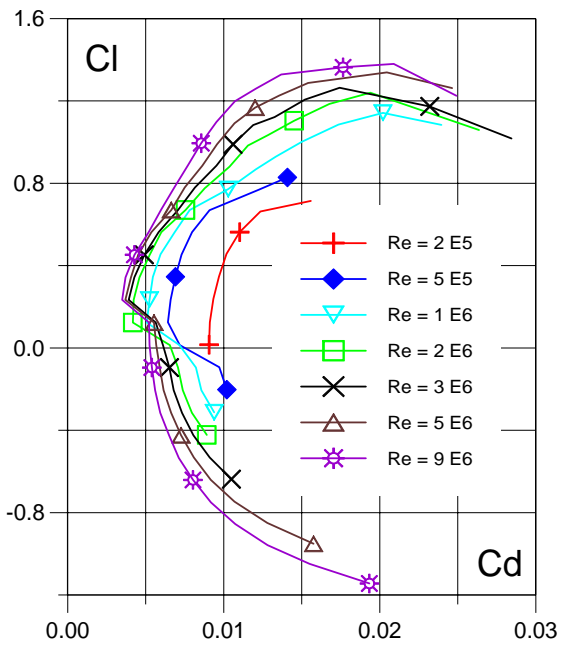
(d)

Fig. 5.3.87. (a) Cp (0°, 5° y Máx) vs. X para Re = 1 E 6 (leer Cpmáx a la derecha) y (b) Curvas Polares del Perfil FX67K170.

Fig. 5.3.88. (c) Curvas de Cl/Cd y (d) Cl, Cd, Cm vs. Ángulo de ataque del Perfil FX67K170.

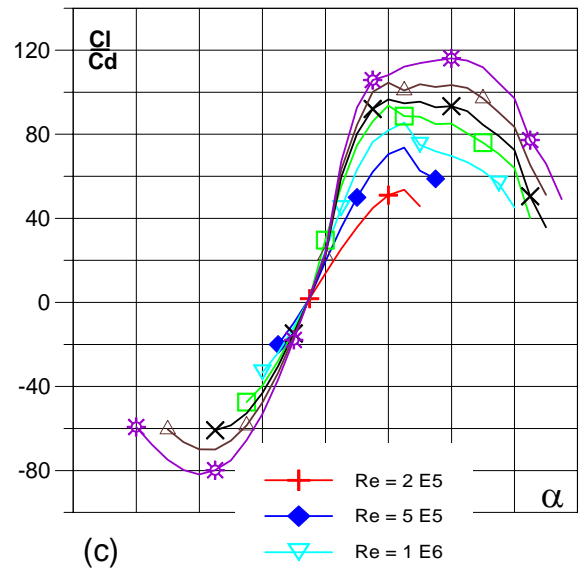


(a)

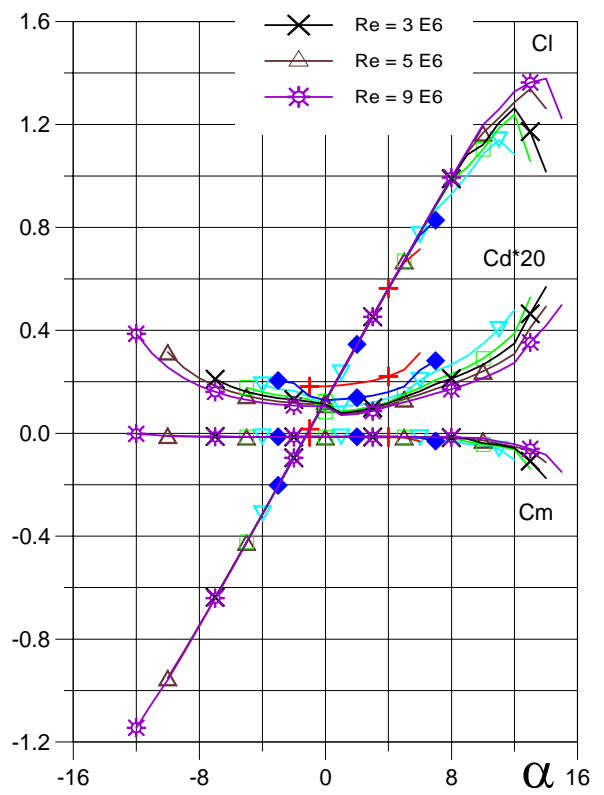


(b)

Fig. 5.3.89. (a) C_p (0° , 5° y Máx) vs. X para $Re = 1 E 6$ (leer $C_{p\text{máx}}$ a la derecha) y (b) Curvas Polares del Perfil FX69H083.



(c)



(d)

Fig. 5.3.90. (c) Curvas de Cl/Cd y (d) Cl , Cd , C_m vs. Ángulo de ataque del Perfil FX69H083.

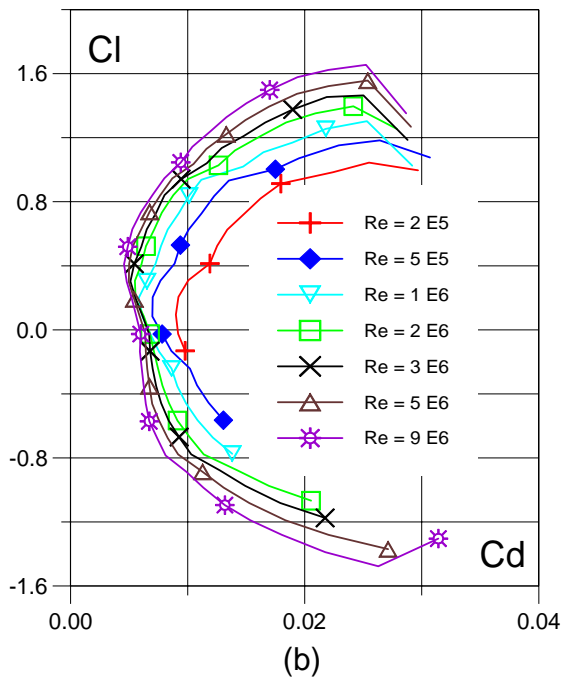
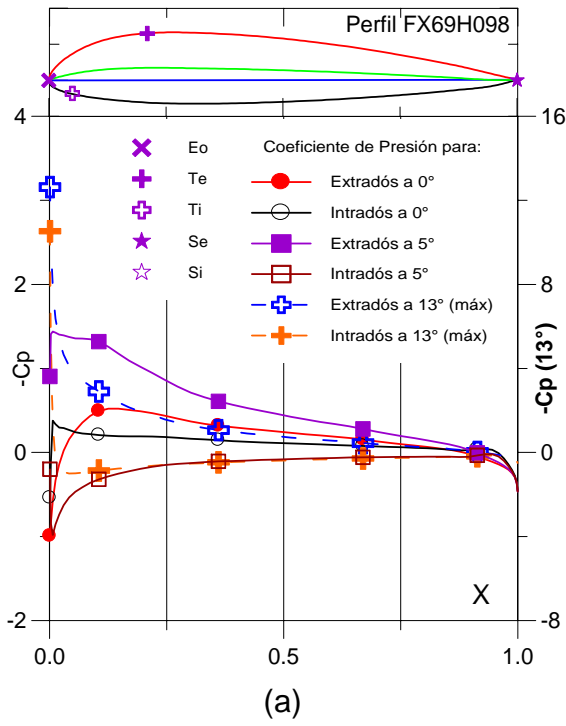


Fig. 5.3.91. (a) C_p (0° , 5° y Máx) vs. X para $Re = 1 E 6$ (leer $C_{p\text{máx}}$ a la derecha) y (b) Curvas Polares del Perfil FX69H098.

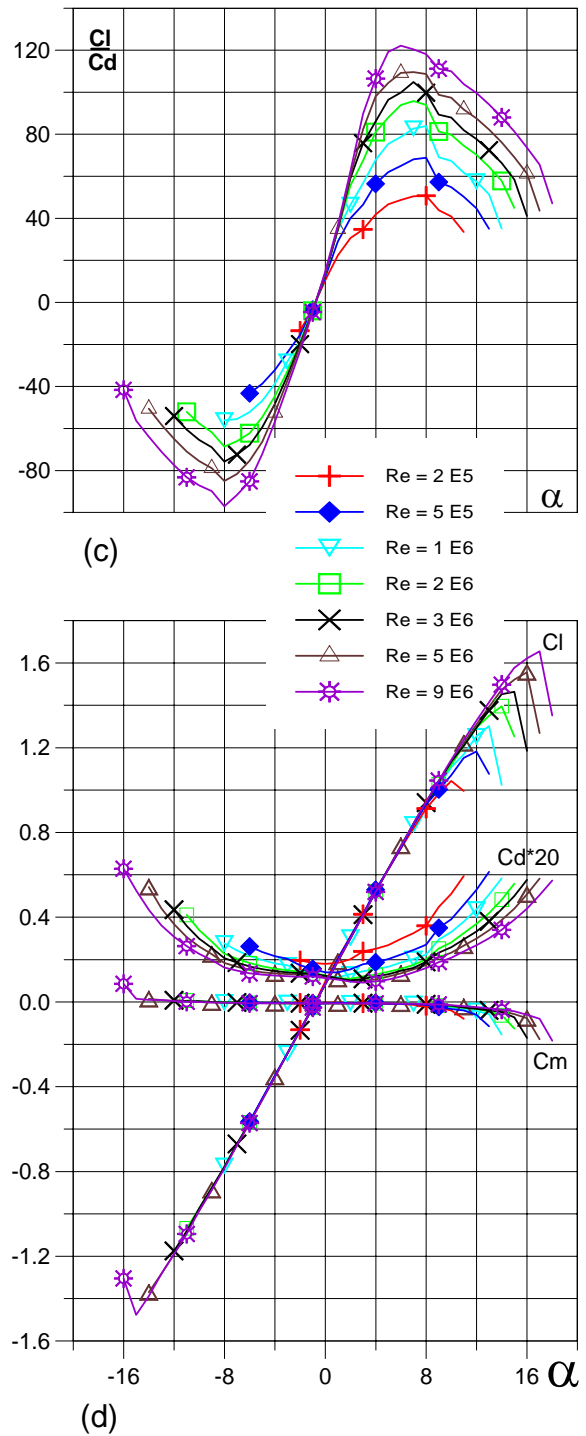


Fig. 5.3.92. (c) Curvas de Cl/Cd y (d) Cl , Cd , C_m vs. Ángulo de ataque del Perfil FX69H098.

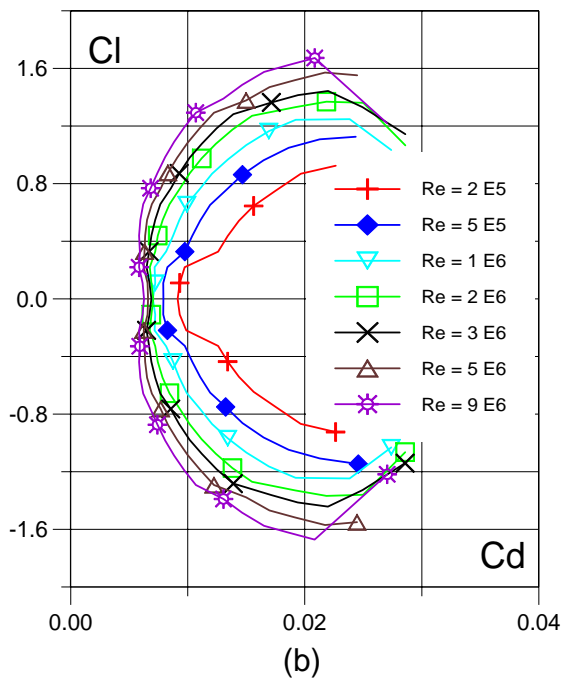
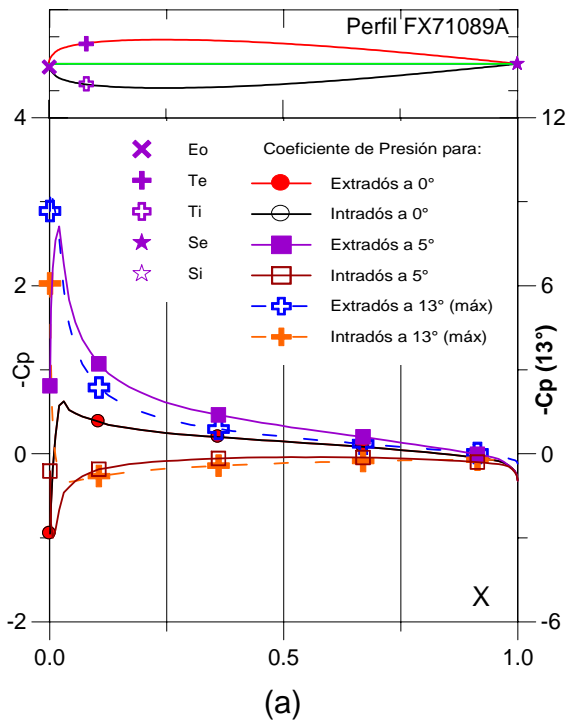


Fig. 5.3.93. (a) C_p (0°, 5° y Máx) vs. X para $Re = 1 E 6$ (leer $C_{p\text{máx}}$ a la derecha) y (b) Curvas Polares del Perfil FX71089A.

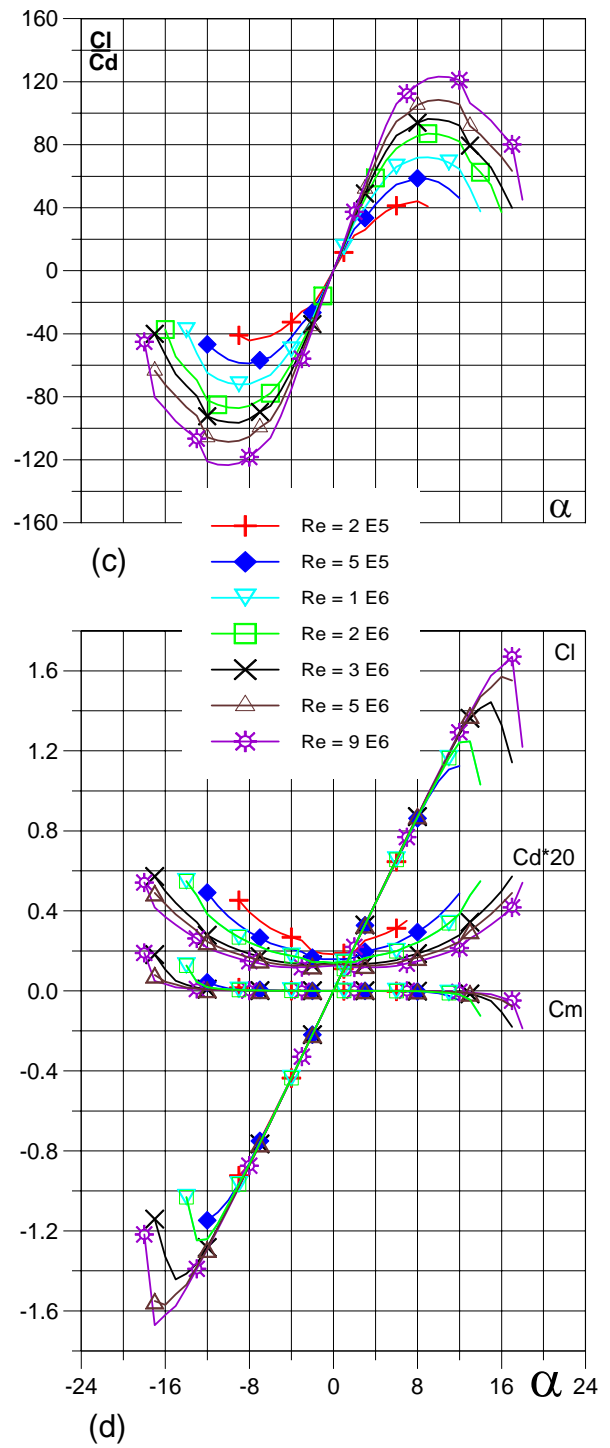


Fig. 5.3.94. (c) Curvas de Cl/Cd y (d) Cl , Cd , C_m vs. Ángulo de ataque del Perfil FX71089A.

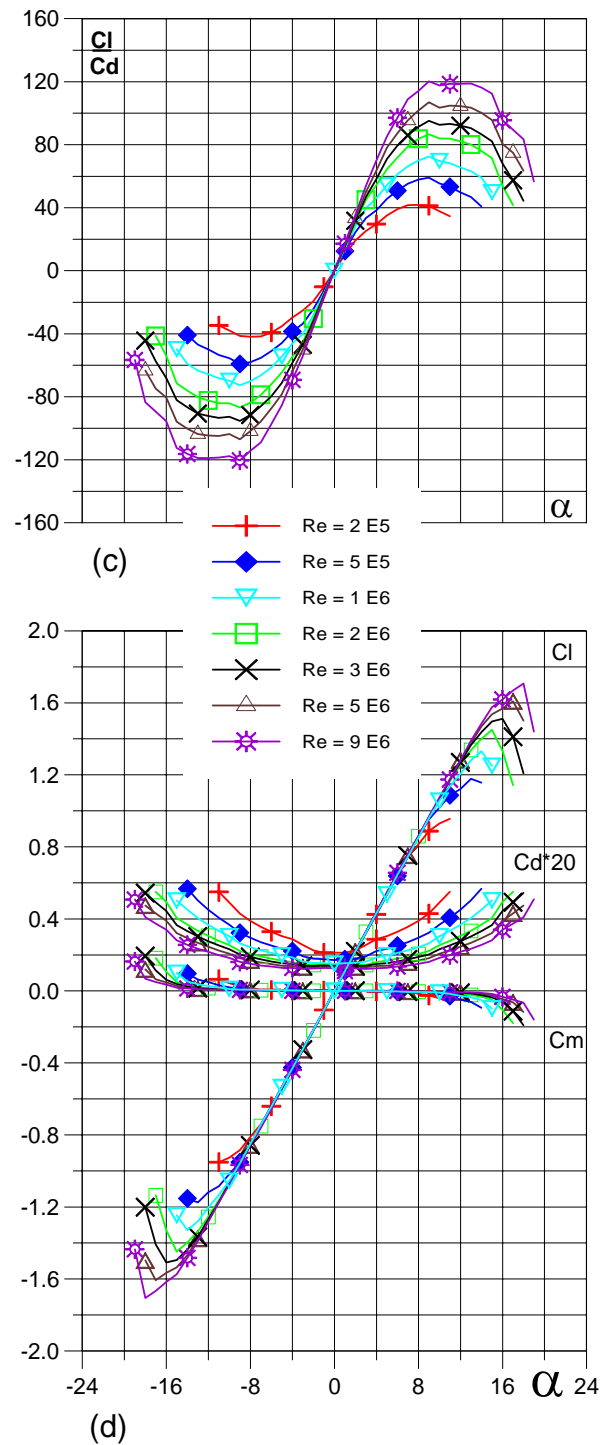
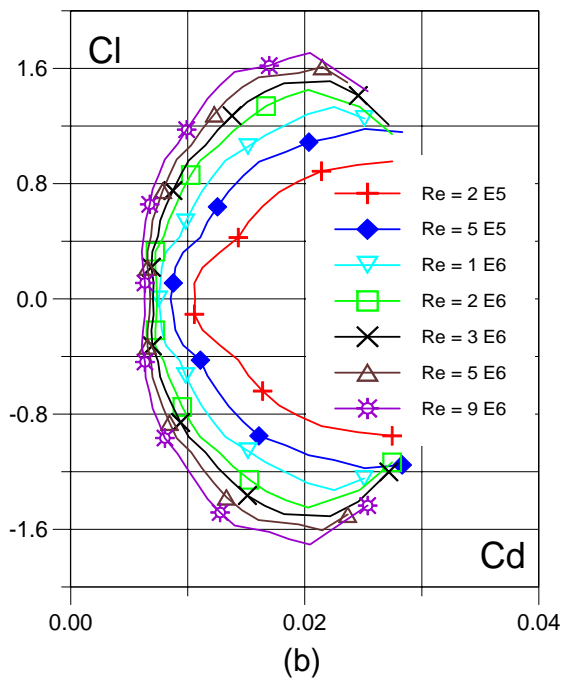
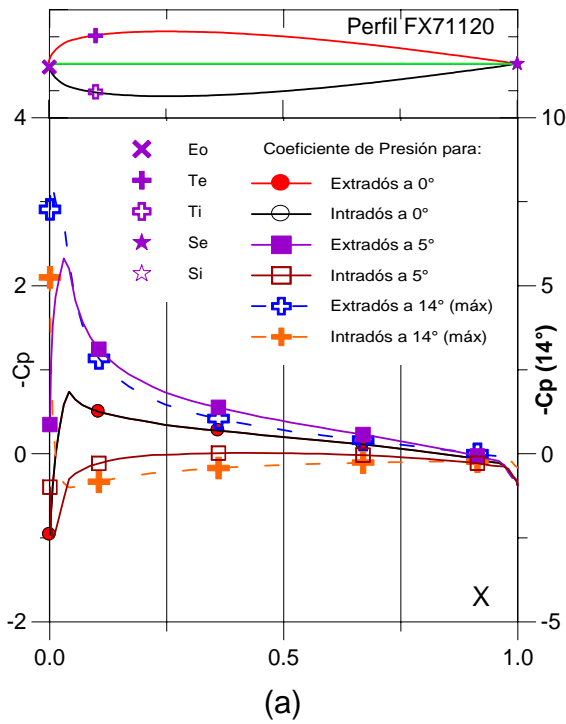


Fig. 5.3.95. (a) Cp (0°, 5° y Máx) vs. X para Re = 1 E 6 (leer Cpmáx a la derecha) y (b) Curvas Polares del Perfil FX71120.

Fig. 5.3.96. (c) Curvas de Cl/Cd y (d) Cl, Cd, Cm vs. Ángulo de ataque del Perfil FX71120.

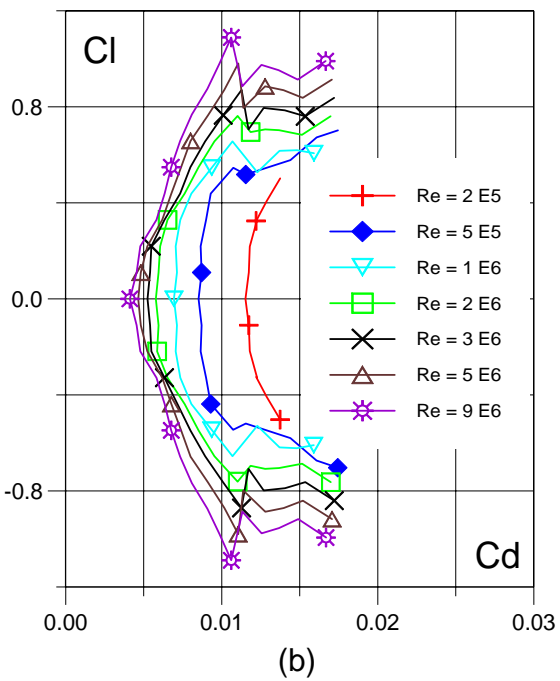
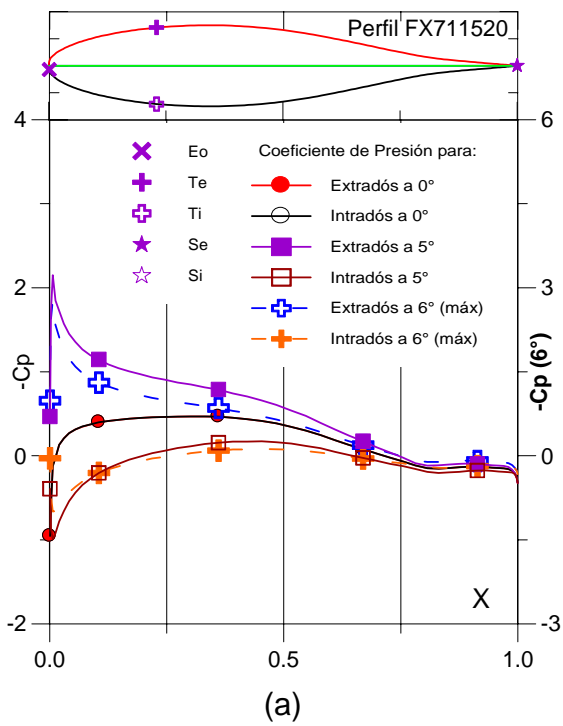


Fig. 5.3.97. (a) C_p (0° , 5° y Máx) vs. X para $Re = 1 E 6$ (leer $C_{p\text{máx}}$ a la derecha) y (b) Curvas Polares del Perfil FX711520.

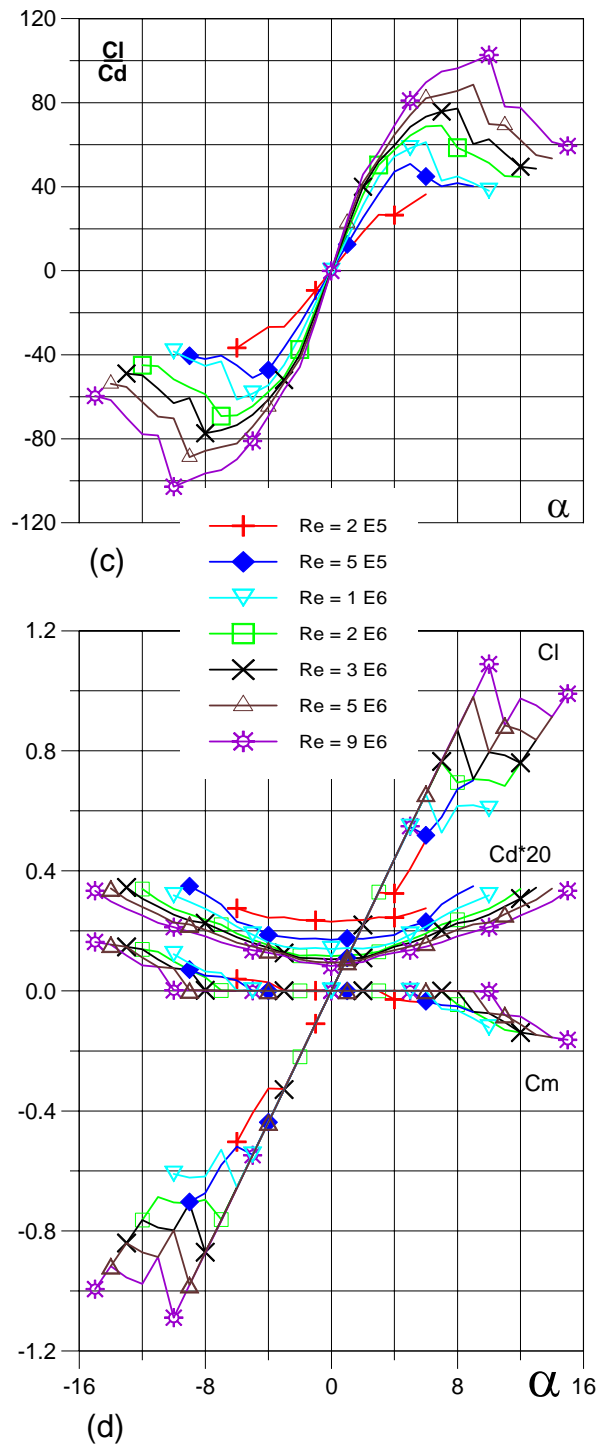


Fig. 5.3.98. (c) Curvas de Cl/Cd y (d) Cl , Cd , C_m vs. Ángulo de ataque del Perfil FX711520.

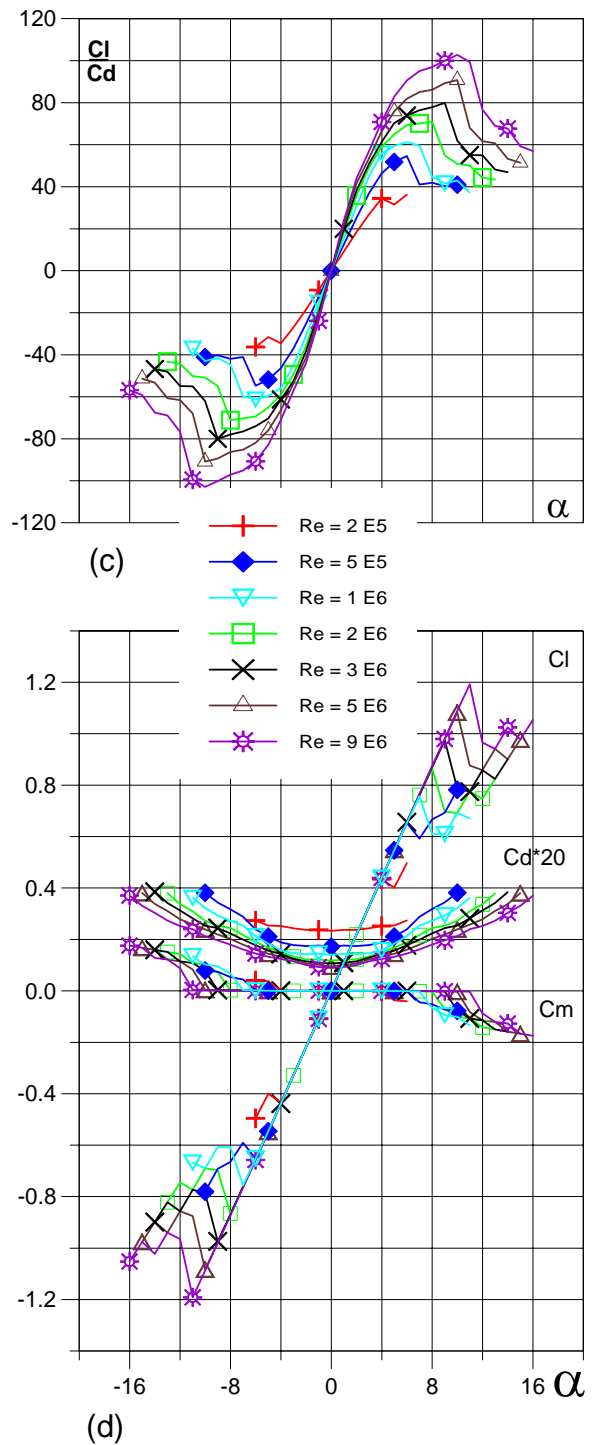
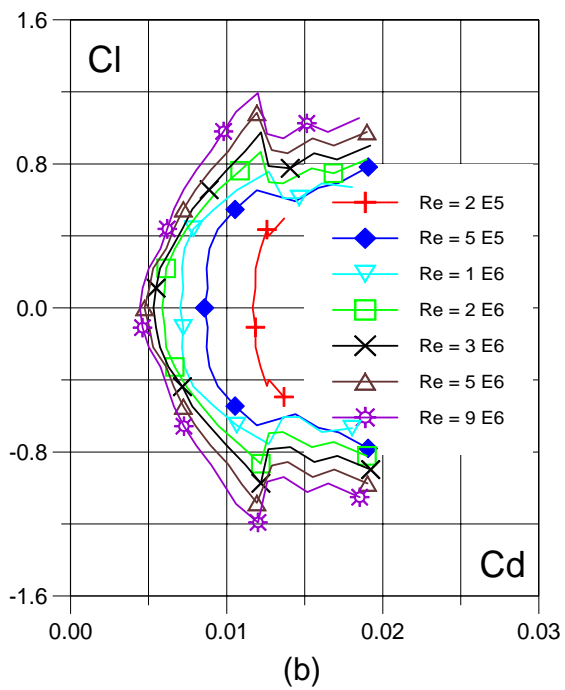
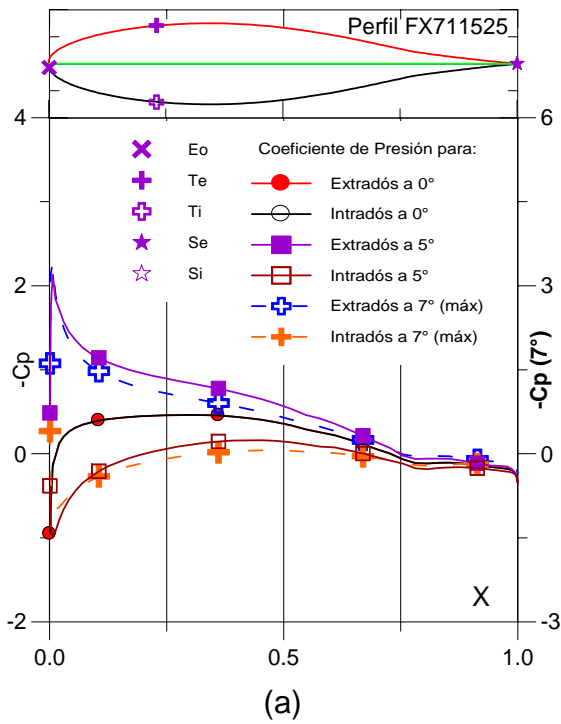


Fig. 5.3.99. (a) C_p (0°, 5° y Máx) vs. X para $Re = 1 E 6$ (leer $C_{p\text{máx}}$ a la derecha) y (b) Curvas Polares del Perfil FX711525.

Fig. 5.3.100. (c) Curvas de C_l/C_d y (d) C_l , C_d , C_m vs. Ángulo de ataque del Perfil FX711525.

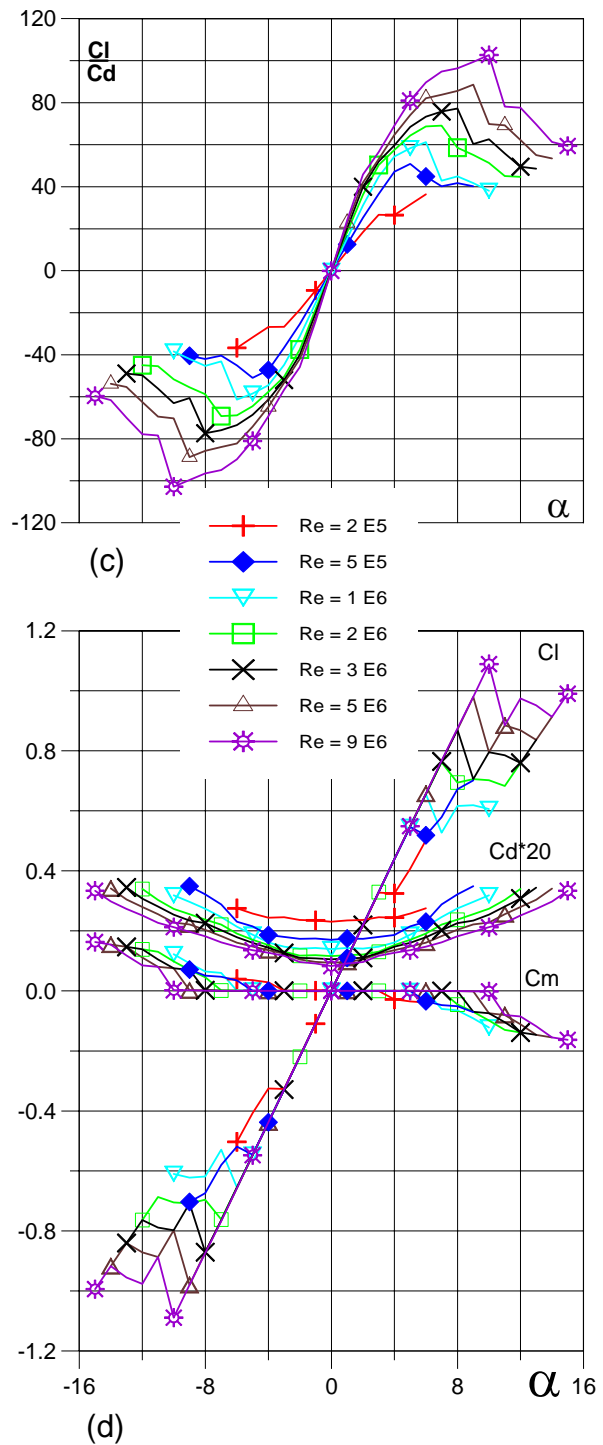
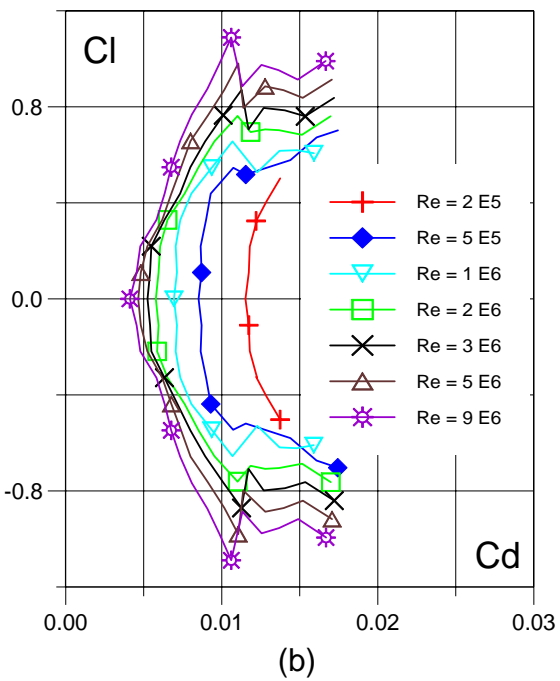
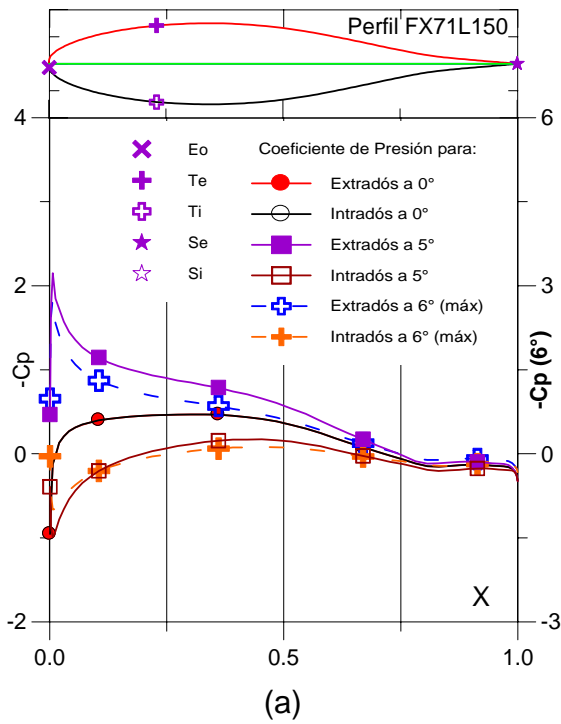
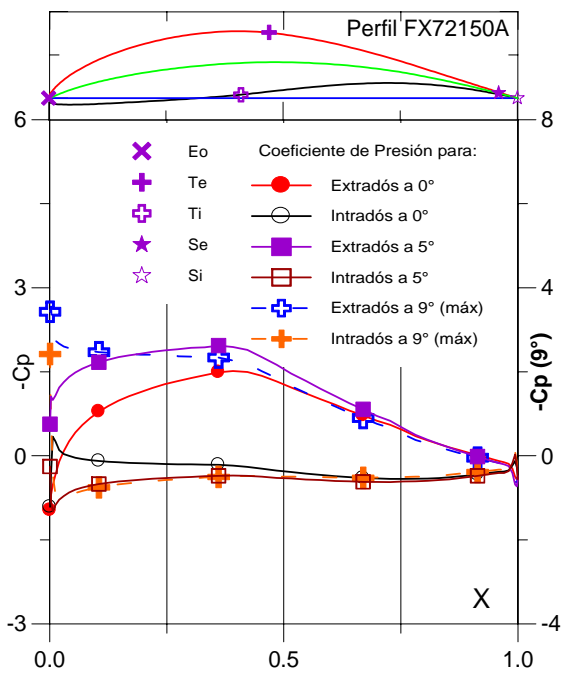
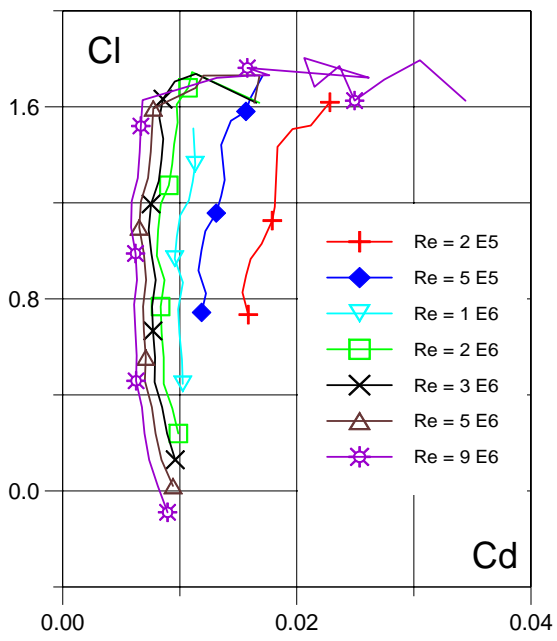


Fig. 5.3.101. (a) C_p (0° , 5° y Máx) vs. X para $Re = 1 E 6$ (leer $C_{p\text{máx}}$ a la derecha) y (b) Curvas Polares del Perfil FX71L150.

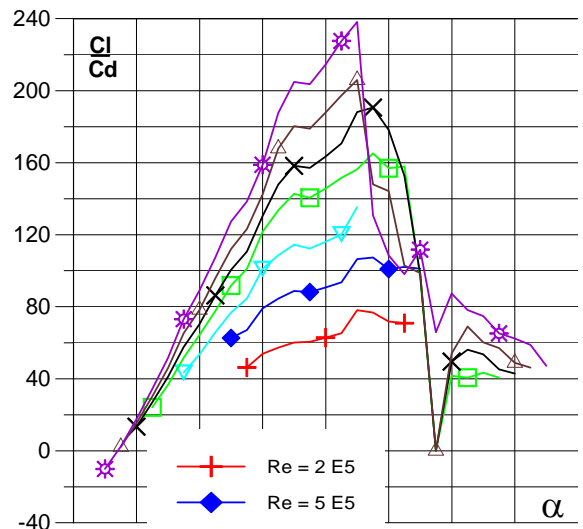
Fig. 5.3.102. (c) Curvas de Cl/Cd y (d) Cl , Cd , C_m vs. Ángulo de ataque del Perfil FX71L150.



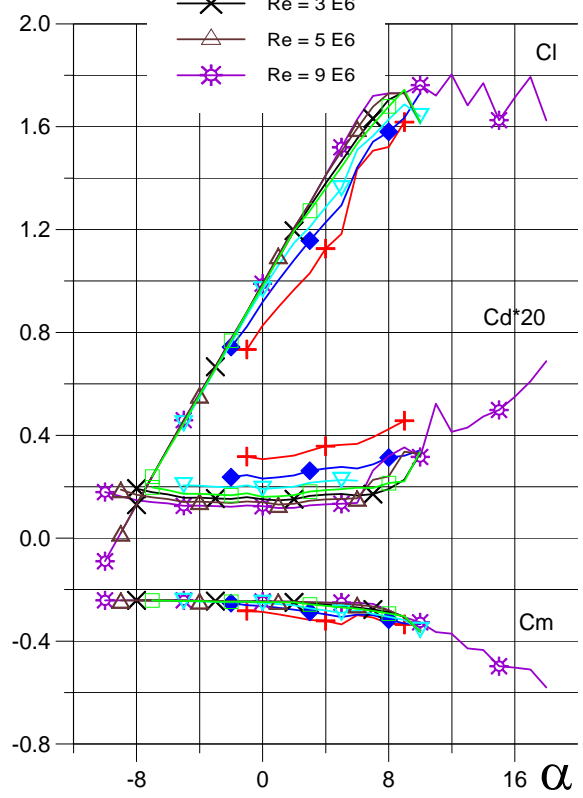
(a)



(b)



(c)



(d)

Fig. 5.3.103. (a) Cp (0°, 5° y Máx) vs. X para Re = 1 E 6 (leer Cpmáx a la derecha) y (b) Curvas Polares del Perfil FX72150A.

Fig. 5.3.104. (c) Curvas de Cl/Cd y (d) Cl, Cd, Cm vs. Ángulo de ataque del Perfil FX72150A.

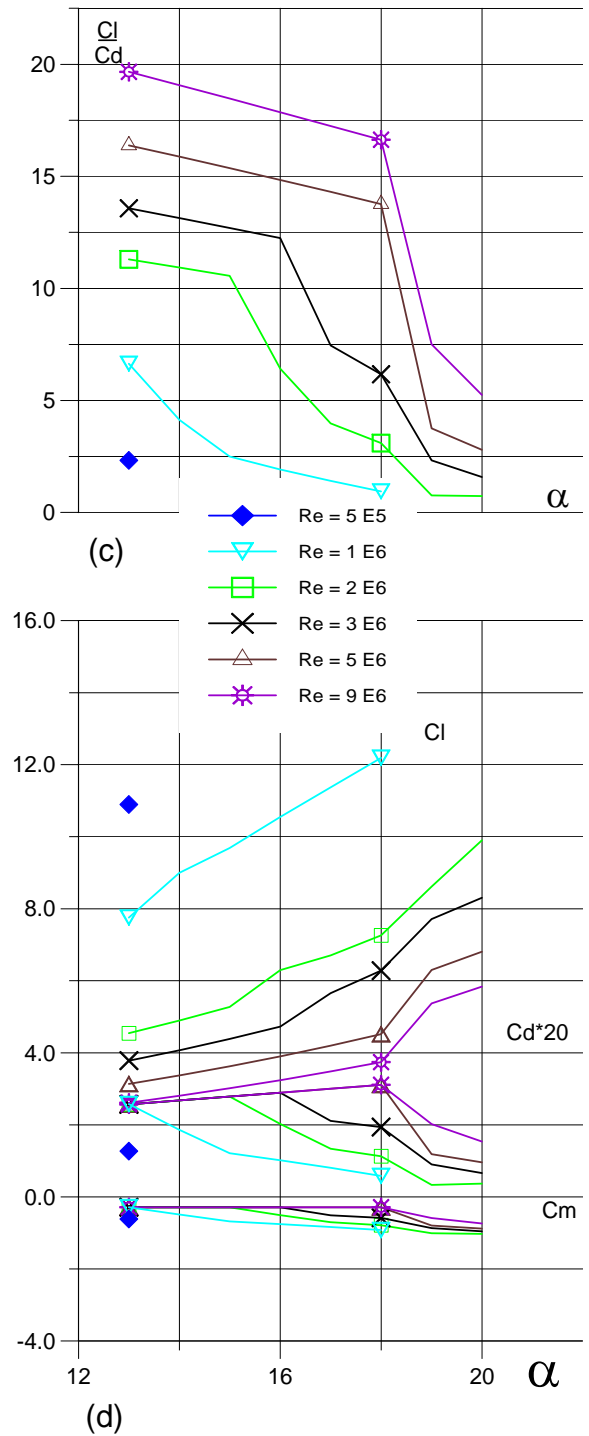
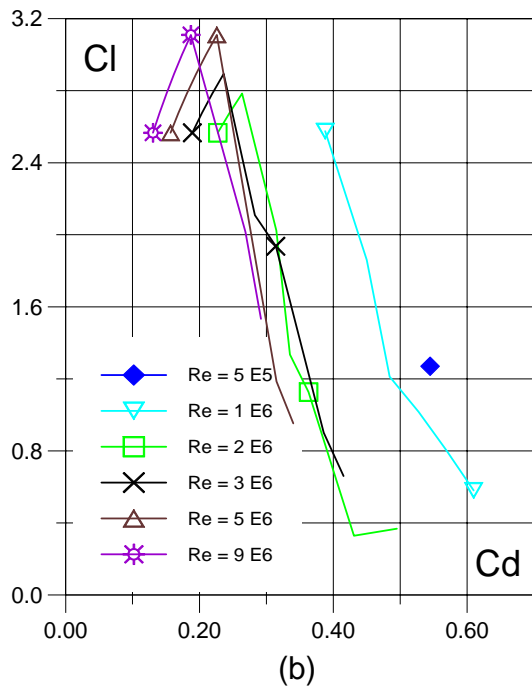
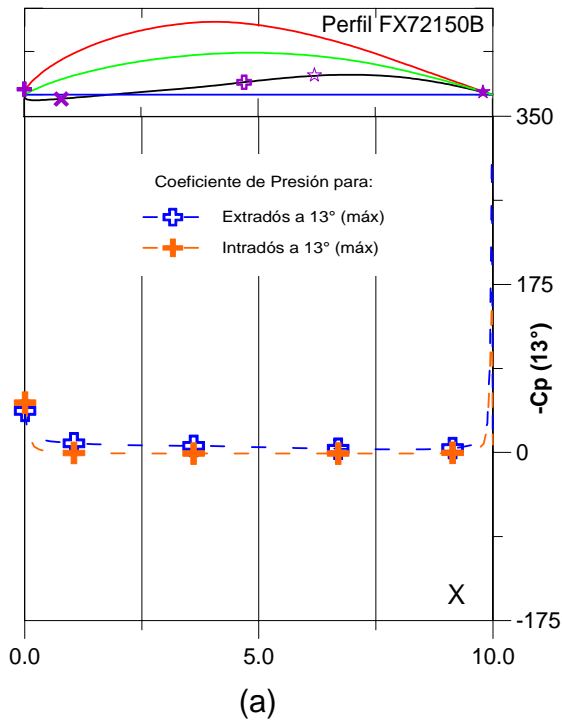


Fig. 5.3.105. (a) Cp (0°, 5° y Máx) vs. X para Re = 1 E 6 (leer Cpmáx a la derecha) y (b) Curvas Polares del Perfil FX72150B.

Fig. 5.3.106. (c) Curvas de Cl/Cd y (d) Cl, Cd, Cm vs. Ángulo de ataque del Perfil FX72150B.

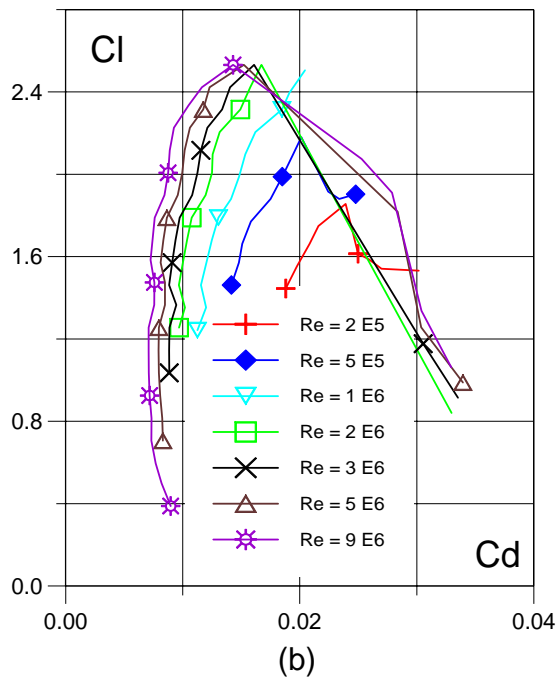
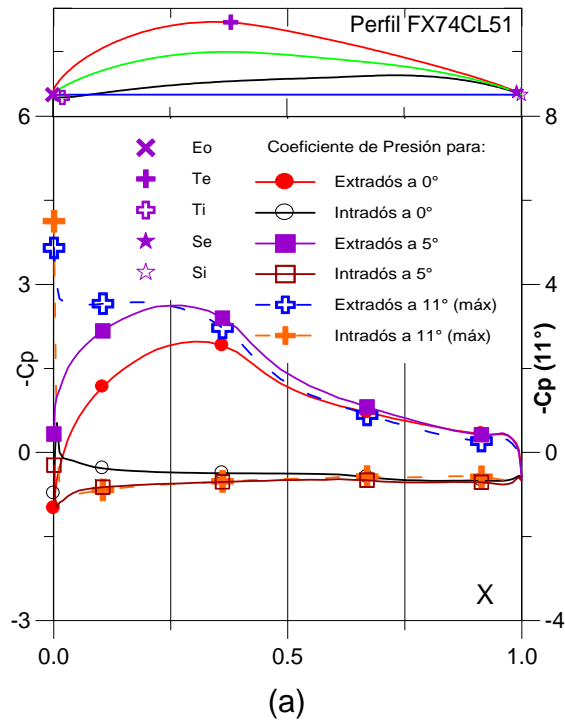


Fig. 5.3.107. (a) C_p (0° , 5° y Máx) vs. X para $Re = 1 E 6$ (leer $C_{p\text{máx}}$ a la derecha) y (b) Curvas Polares del Perfil FX74CL51.

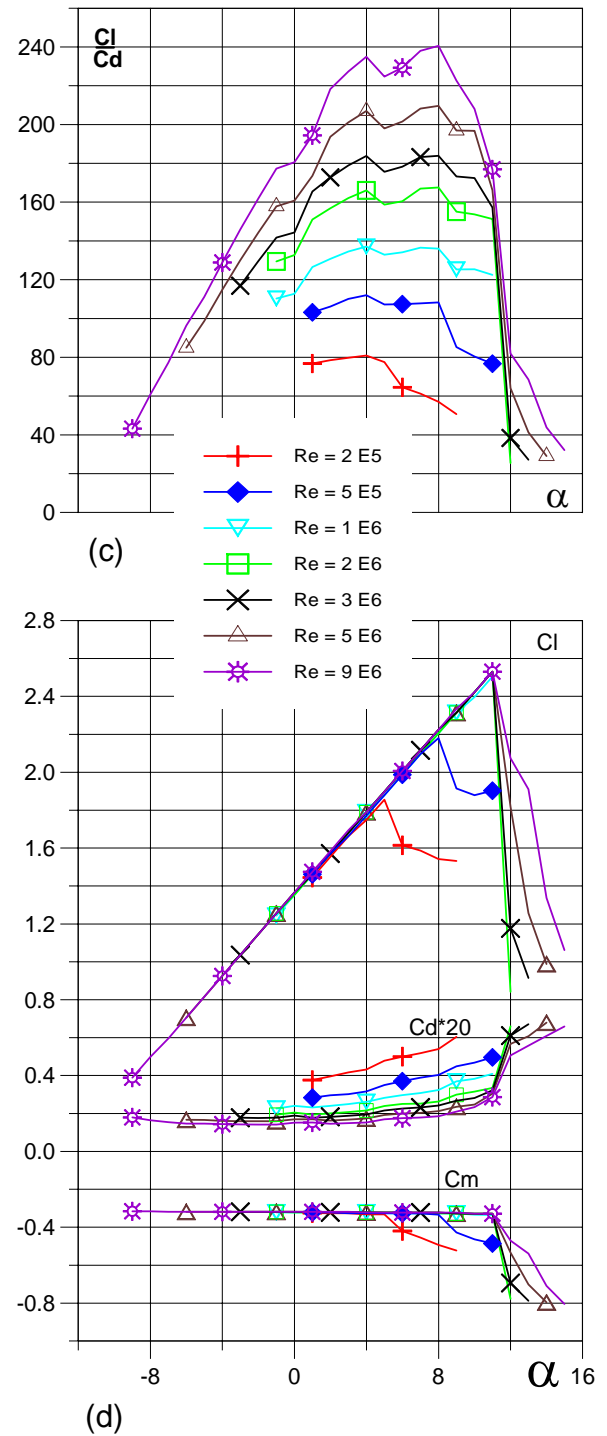
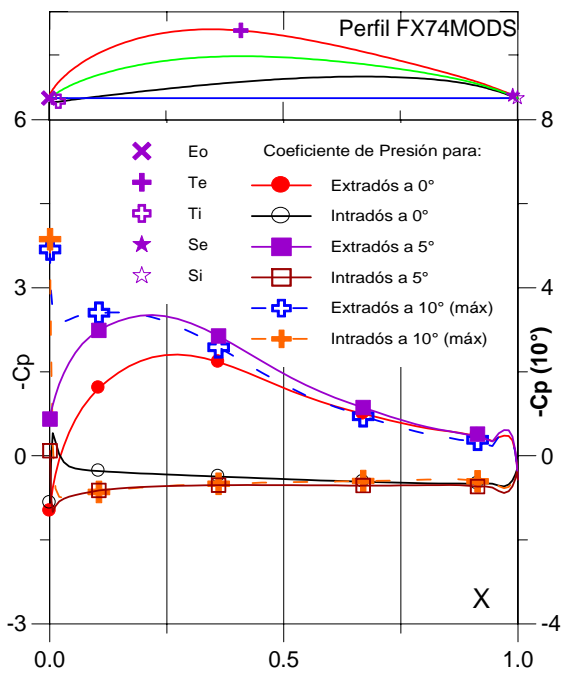
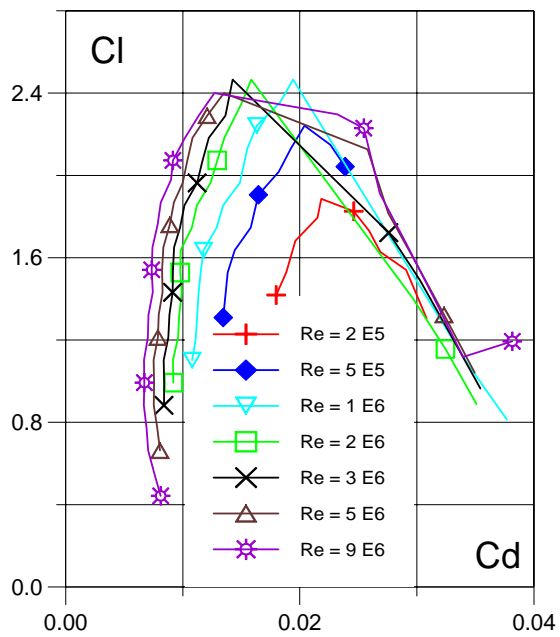


Fig. 5.3.108. (c) Curvas de Cl/Cd y (d) Cl , Cd , C_m vs. Ángulo de ataque del Perfil FX74CL51.

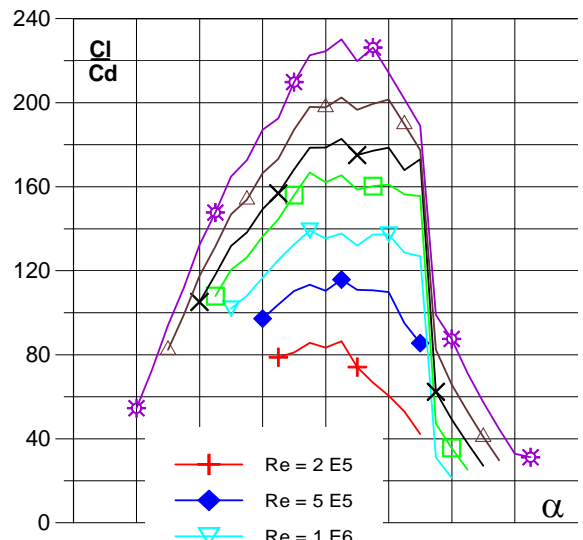


(a)

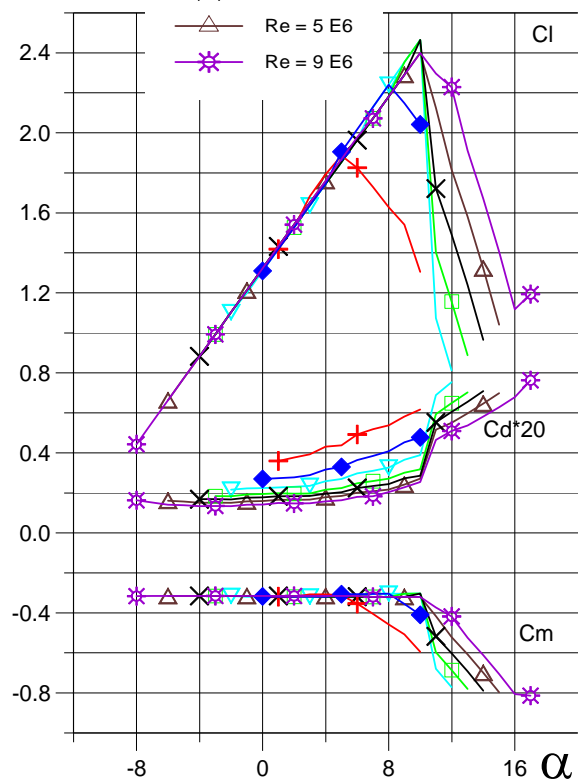


(b)

Fig. 5.3.109. (a) C_p (0°, 5° y Máx) vs. X para $Re = 1 E 6$ (leer $C_{p\text{máx}}$ a la derecha) y (b) Curvas Polares del Perfil FX74MODS.



(c)



(d)

Fig. 5.3.110. (c) Curvas de Cl/Cd y (d) Cl , Cd , Cm vs. Ángulo de ataque del Perfil FX74MODS.

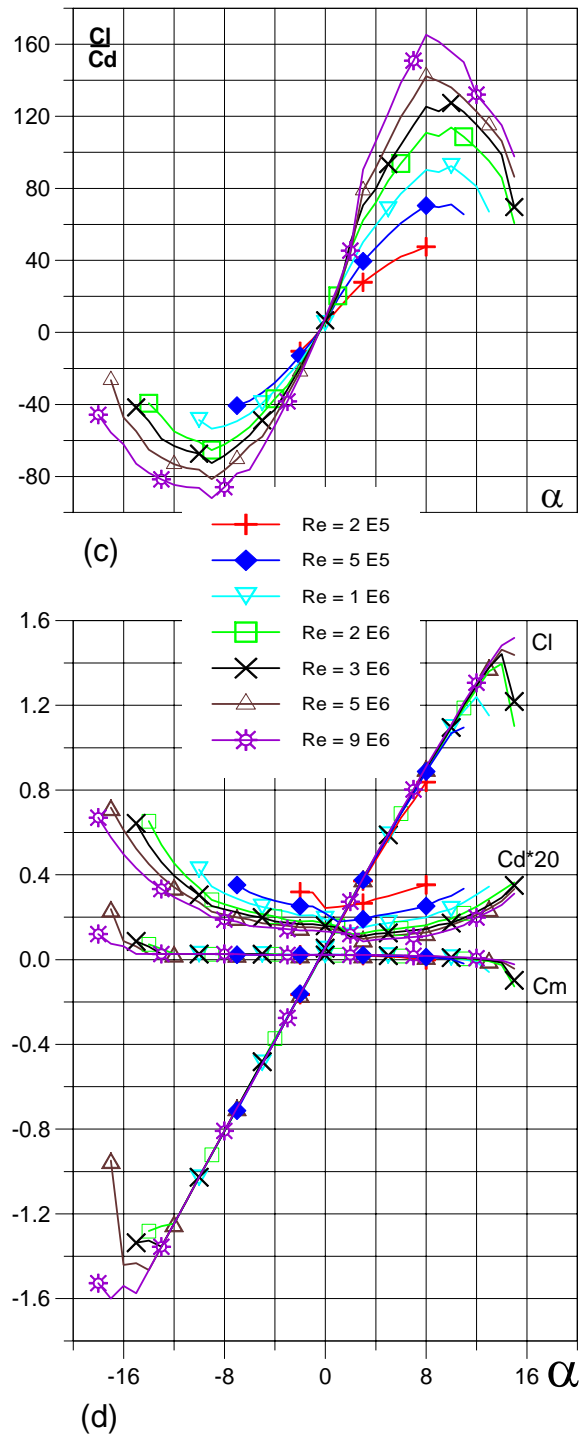
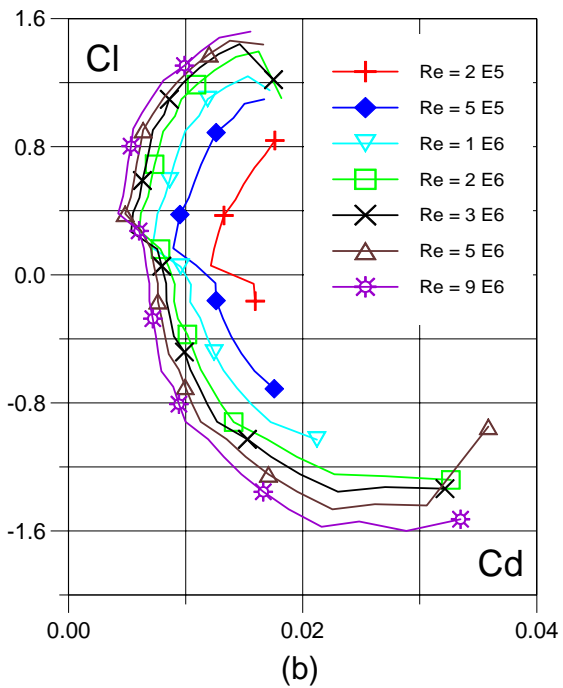
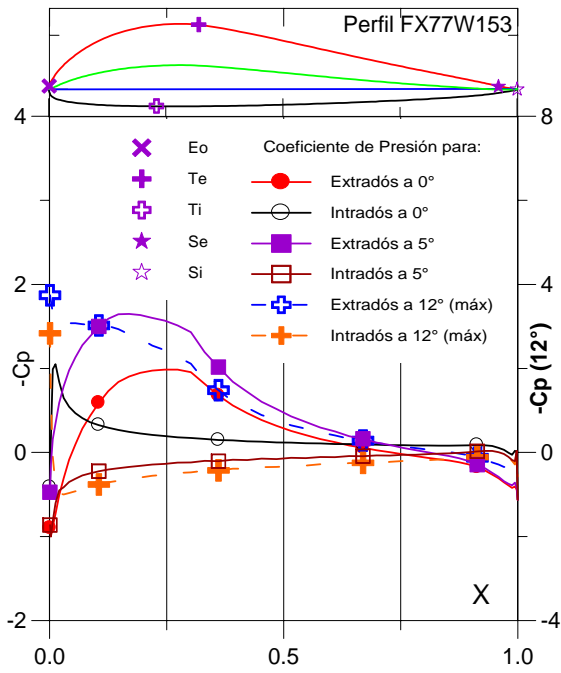


Fig. 5.3.111. (a) C_p (0° , 5° y Máx) vs. X para $Re = 1 E 6$ (leer $C_{p\text{máx}}$ a la derecha) y (b) Curvas Polares del Perfil FX77W153.

Fig. 5.3.112. (c) Curvas de Cl/Cd y (d) Cl , Cd , C_m vs. Ángulo de ataque del Perfil FX77W153.

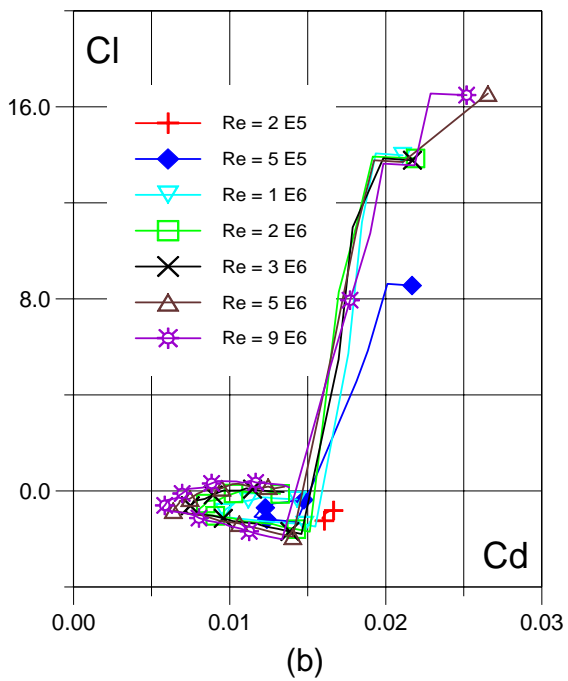
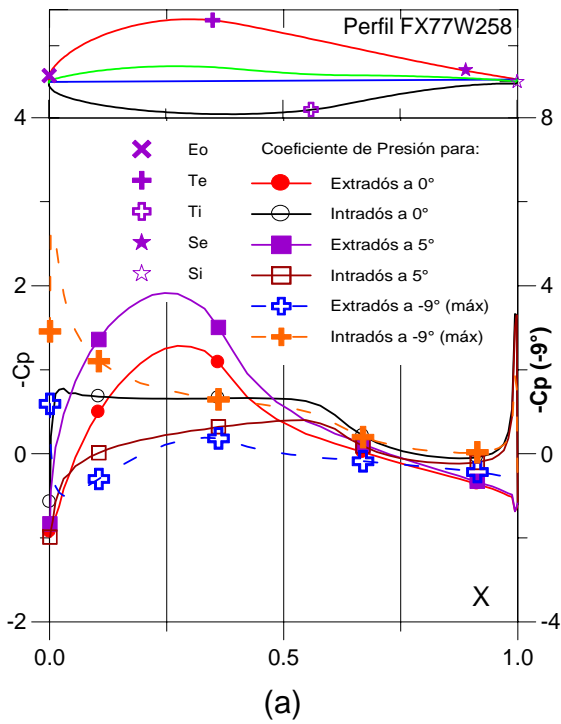


Fig. 5.3.113. (a) C_p (0° , 5° y Max) vs. X para $Re = 1 E 6$ (leer $C_{p\text{max}}$ a la derecha) y (b) Curvas Polares del Perfil FX77W258.

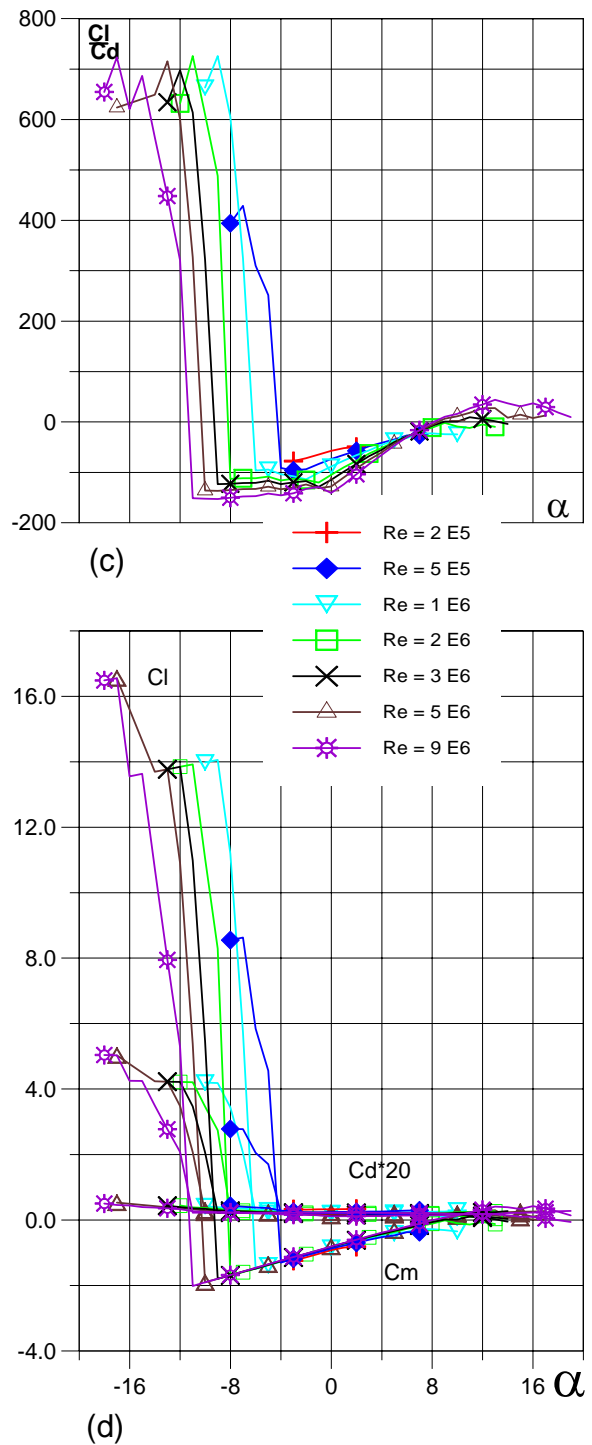
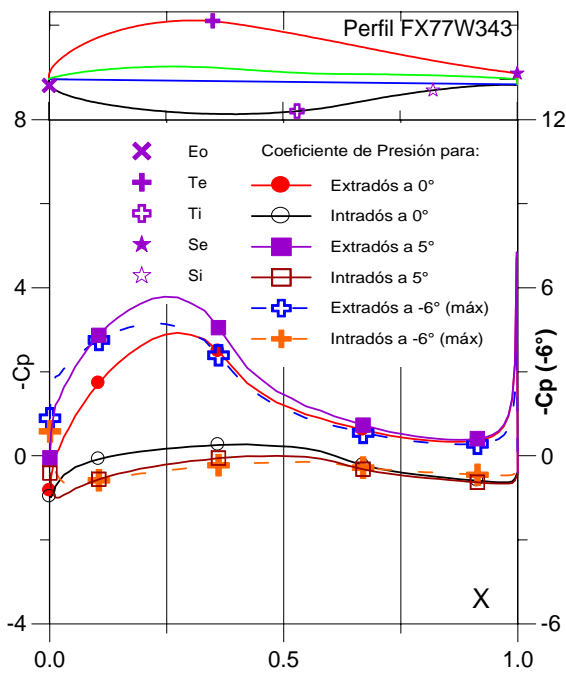
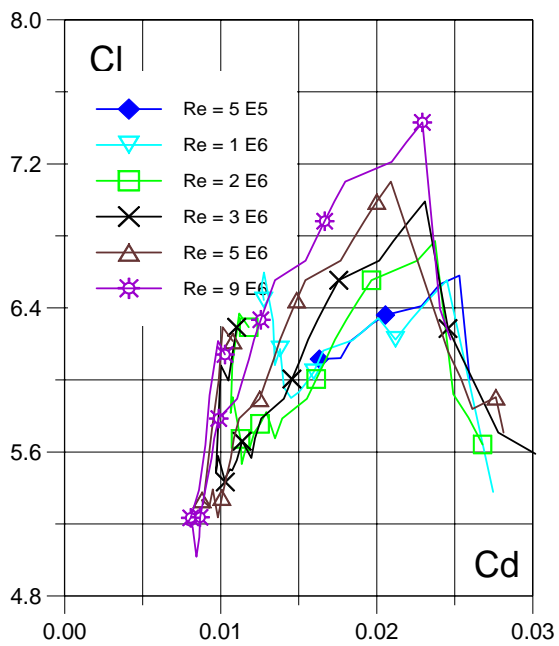


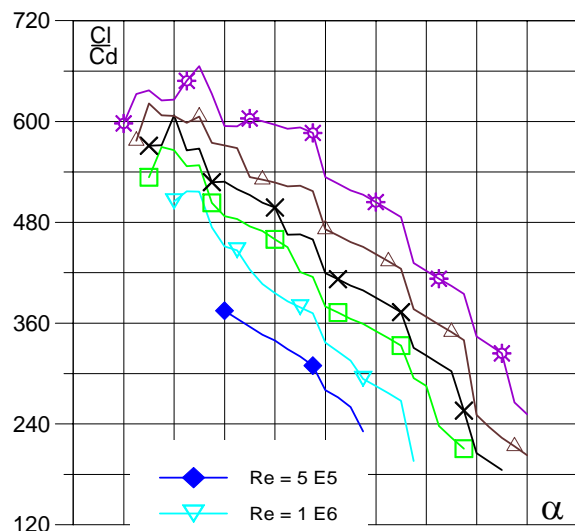
Fig. 5.3.114. (c) Curvas de Cl/Cd y (d) Cl , Cd , C_m vs. ngulo de ataque del Perfil FX77W258.



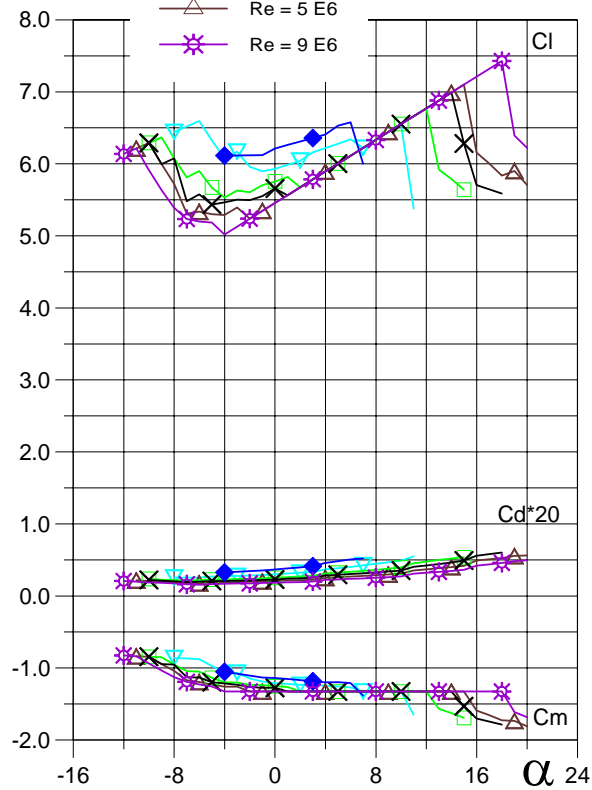
(a)



(b)



(c)



(d)

Fig. 5.3.115. (a) C_p (0° , 5° y Máx) vs. X para $Re = 1 E 6$ (leer $C_{p\text{máx}}$ a la derecha) y (b) Curvas Polares del Perfil FX77W343.

Fig. 5.3.116. (c) Curvas de Cl/Cd y (d) Cl , Cd , C_m vs. Ángulo de ataque del Perfil FX77W343.

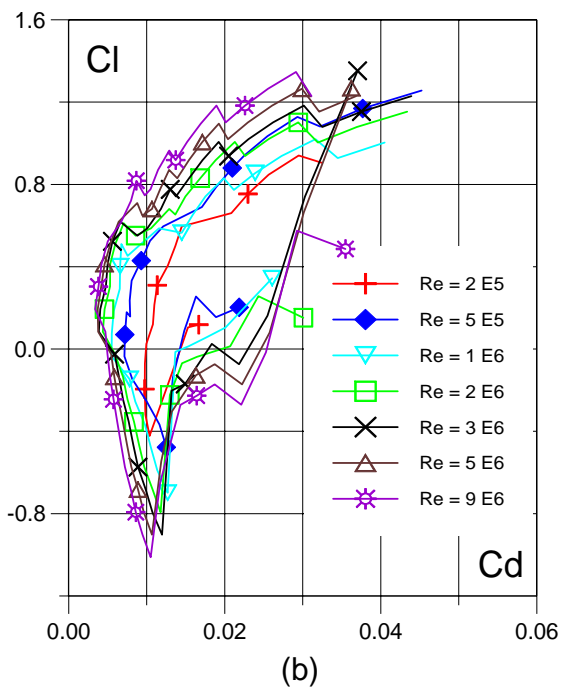
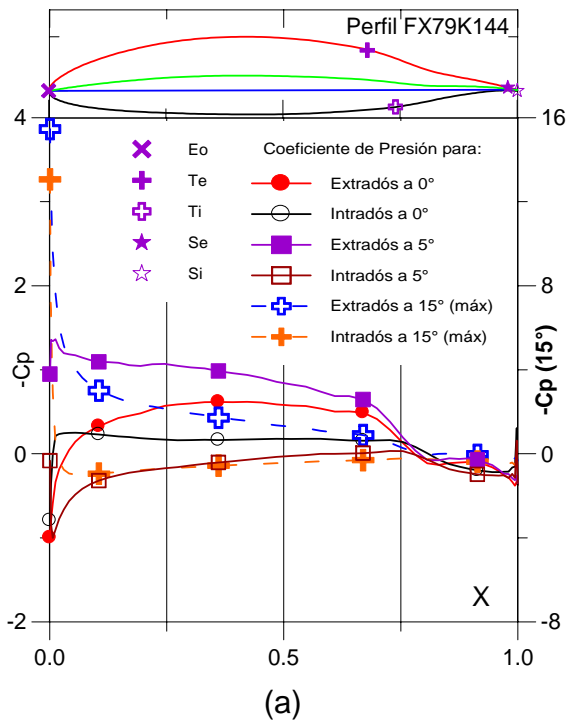


Fig. 5.3.117. (a) C_p (0° , 5° y Máx) vs. X para $Re = 1 E 6$ (leer $C_{p\text{máx}}$ a la derecha) y (b) Curvas Polares del Perfil FX79K144.

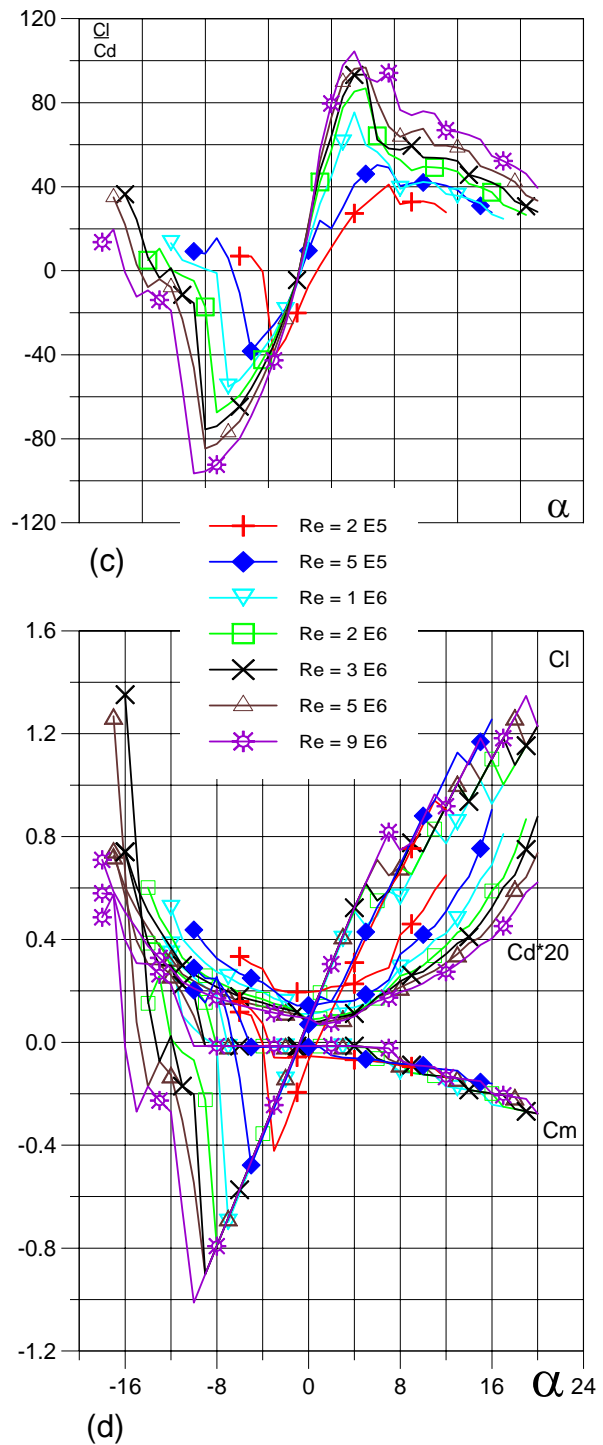


Fig. 5.3.118. (c) Curvas de Cl/Cd y (d) Cl , Cd , Cm vs. Ángulo de ataque del Perfil FX79K144.

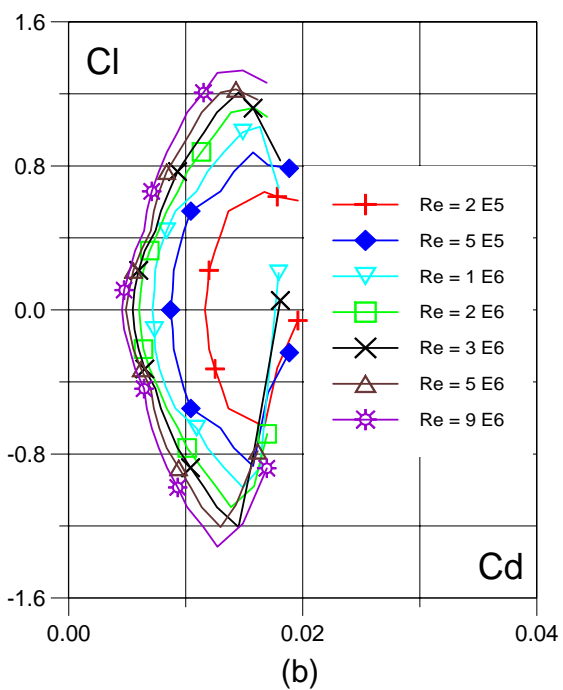
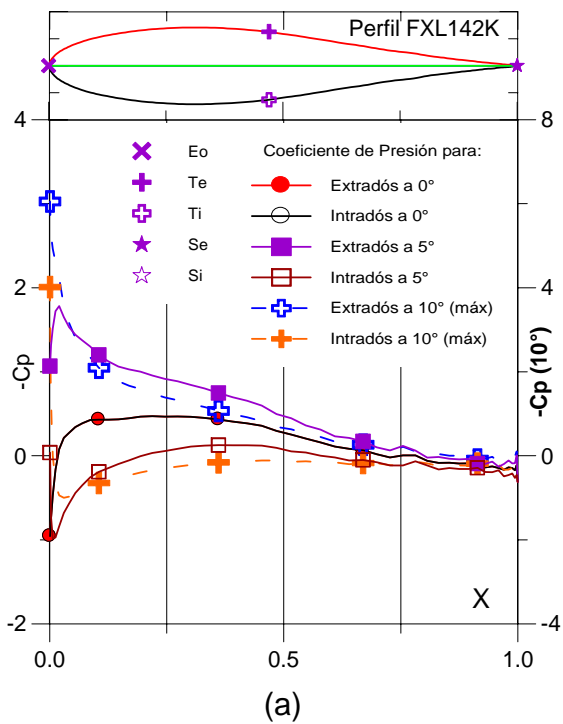


Fig. 5.3.119. (a) C_p (0° , 5° y Máx) vs. X para $Re = 1 E 6$ (leer $C_{p\text{máx}}$ a la derecha) y (b) Curvas Polares del Perfil FXL142K.

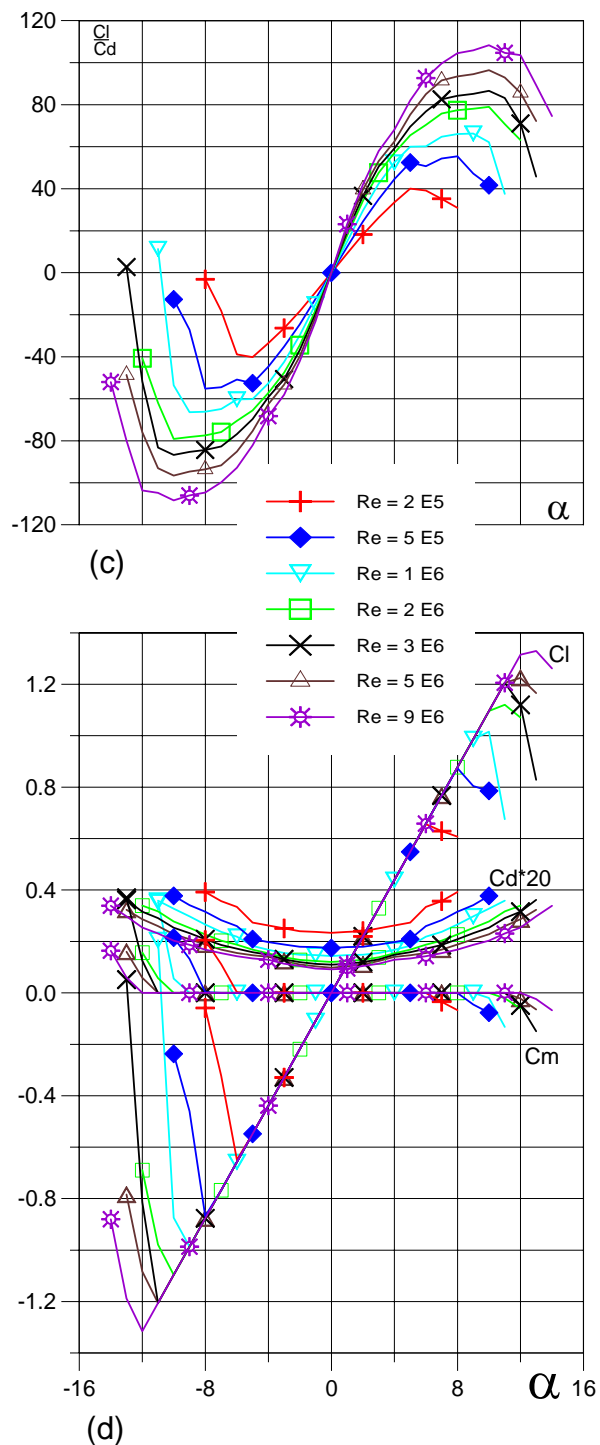


Fig. 5.3.120. (c) Curvas de Cl/Cd y (d) Cl , Cd , Cm vs. Ángulo de ataque del Perfil FXL142K.

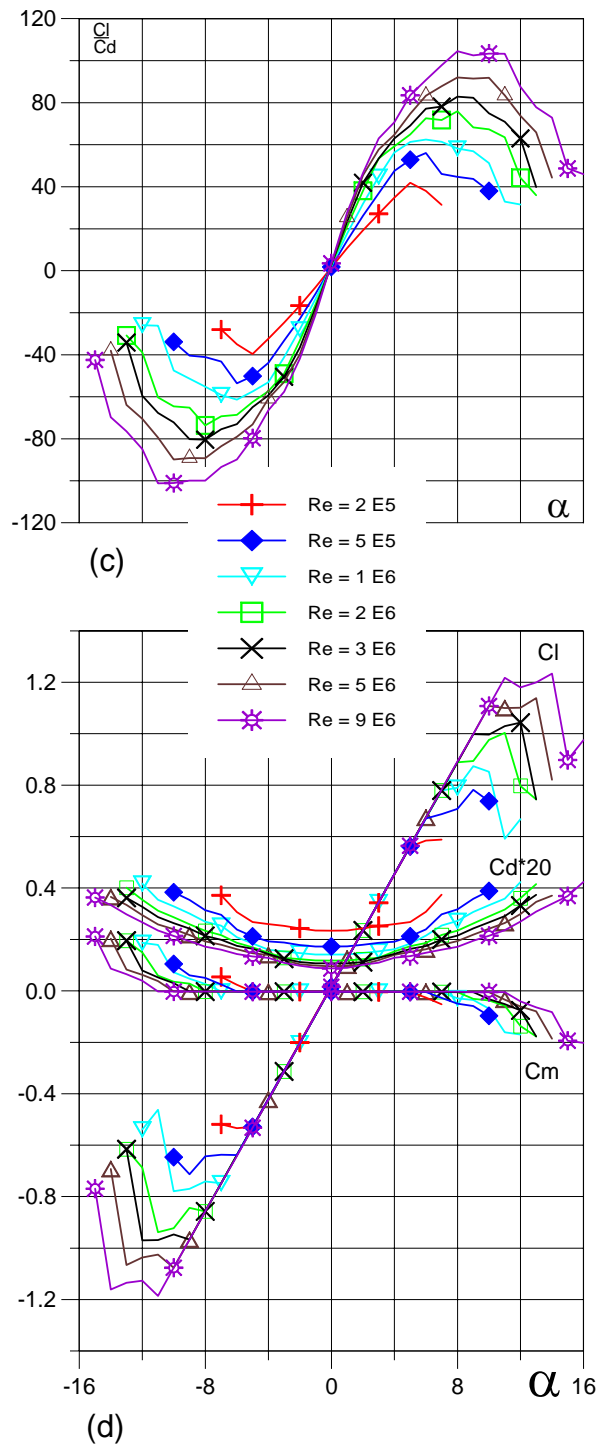
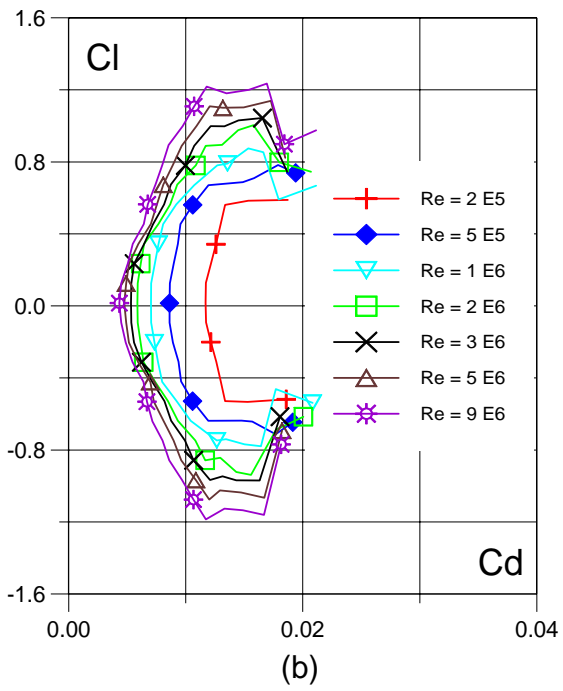
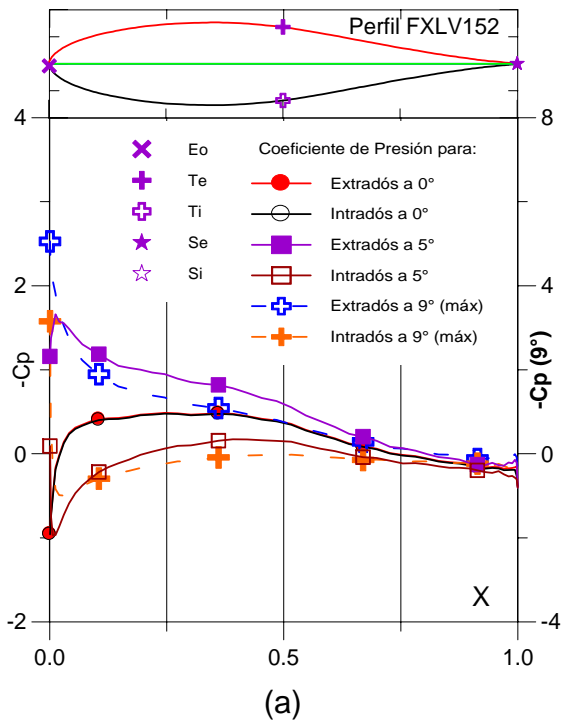


Fig. 5.3.121. (a) C_p (0° , 5° y Máx) vs. X para $Re = 1 E 6$ (leer $C_{p\text{máx}}$ a la derecha) y (b) Curvas Polares del Perfil FXLV152.

Fig. 5.3.122. (c) Curvas de Cl/Cd y (d) Cl , Cd , C_m vs. Ángulo de ataque del Perfil FXLV152.

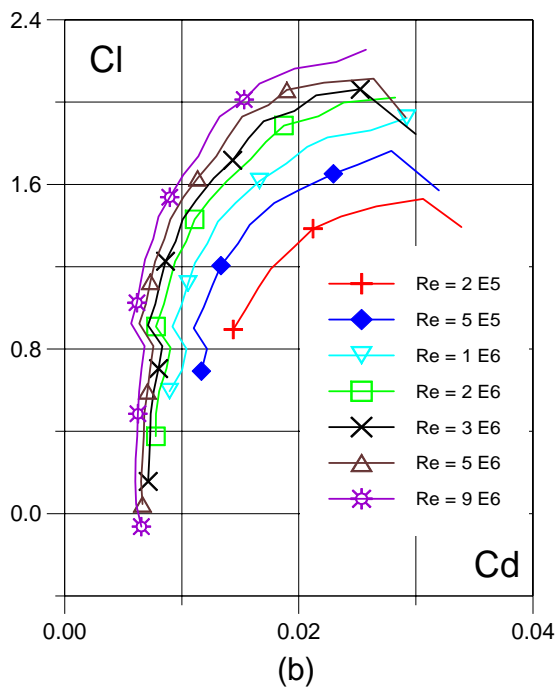
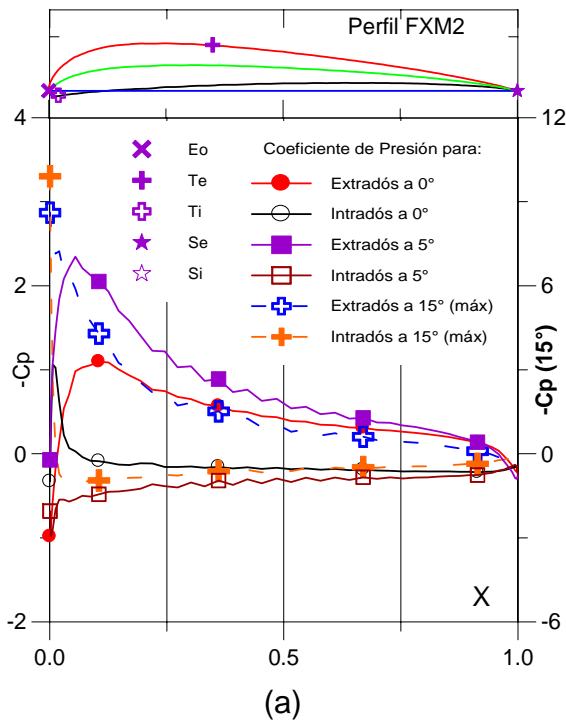


Fig. 5.3.123. (a) C_p (0° , 5° y Máx) vs. X para $Re = 1 E 6$ (leer $C_{p\text{máx}}$ a la derecha) y (b) Curvas Polares del Perfil FXM2.

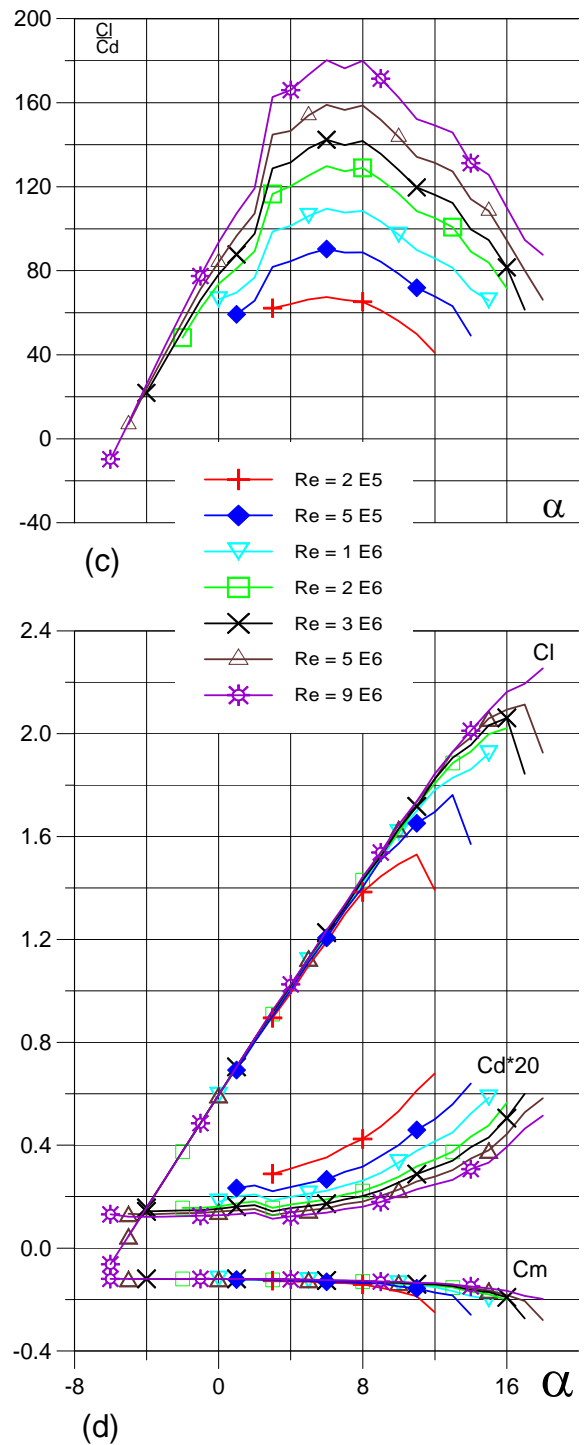


Fig. 5.3.124. (c) Curvas de Cl/C_d y (d) Cl , C_d , C_m vs. Ángulo de ataque del Perfil FXM2.

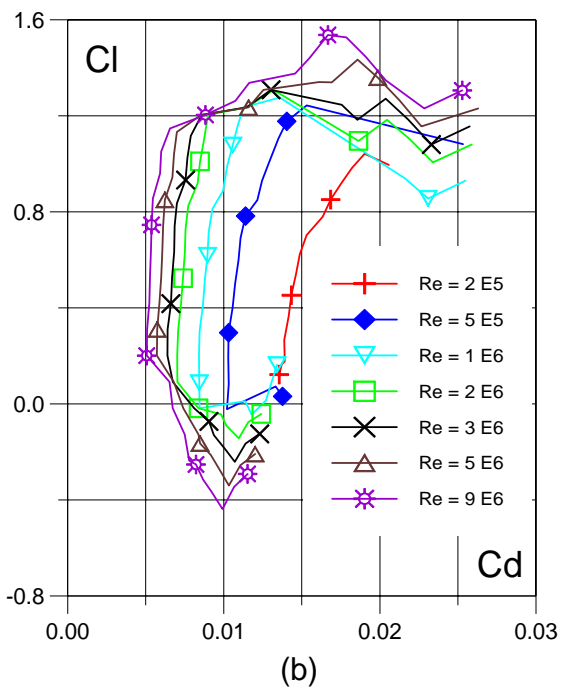
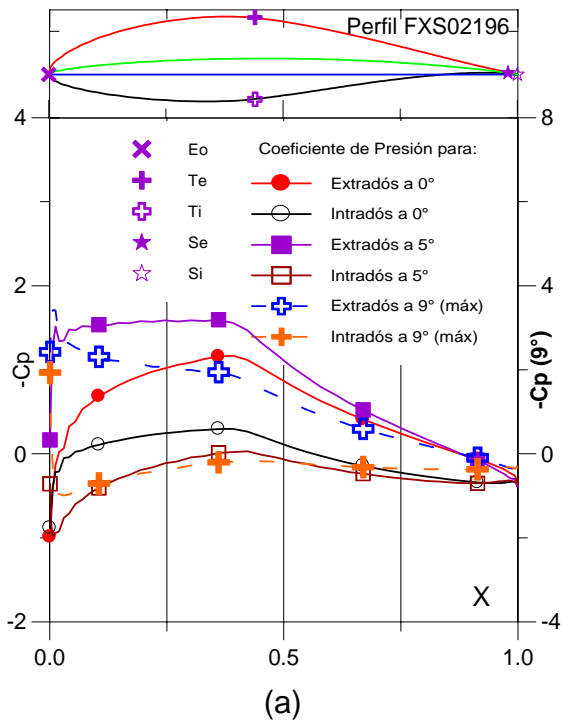


Fig. 5.3.125. (a) C_p (0° , 5° y Máx) vs. X para $Re = 1 E 6$ (leer $C_{p\text{máx}}$ a la derecha) y (b) Curvas Polares del Perfil FXS02196.

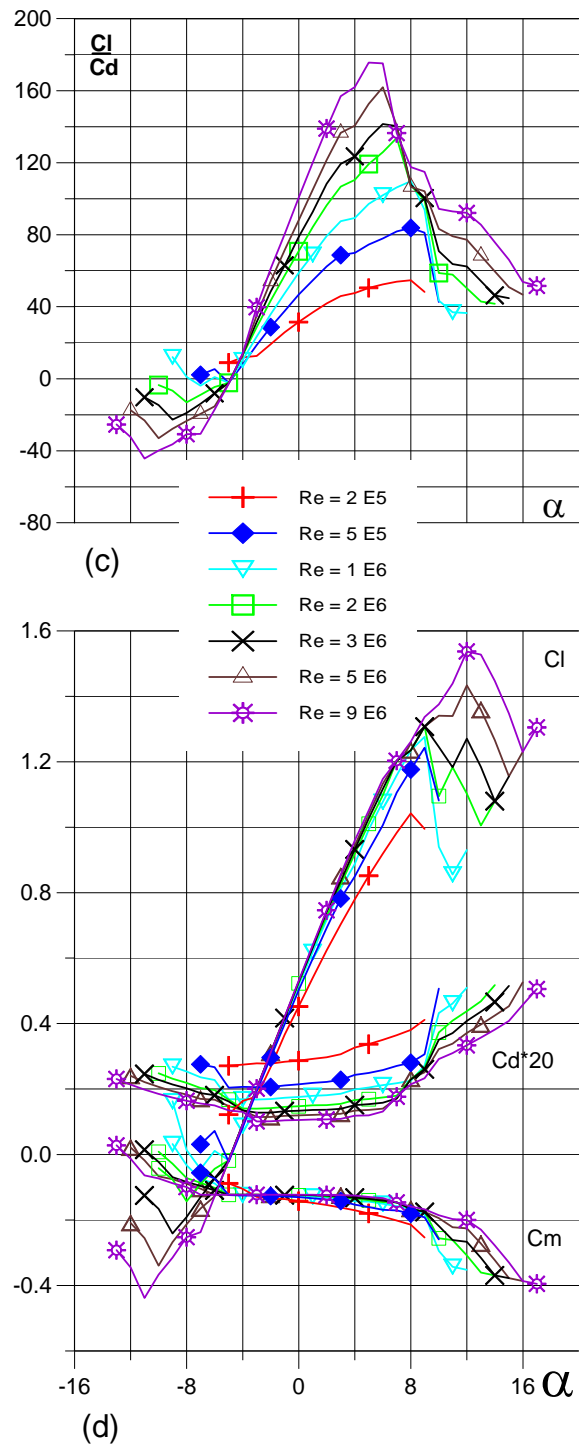


Fig. 5.3.126. (c) Curvas de Cl/Cd y (d) Cl , Cd , Cm vs. Ángulo de ataque del Perfil FXS02196.

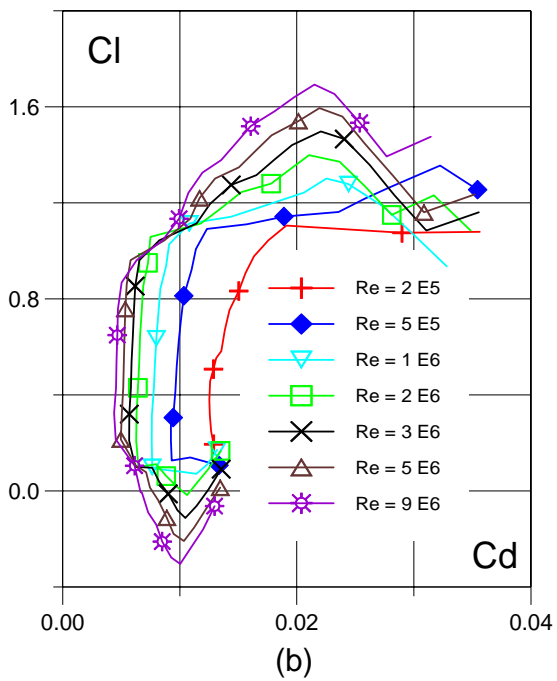
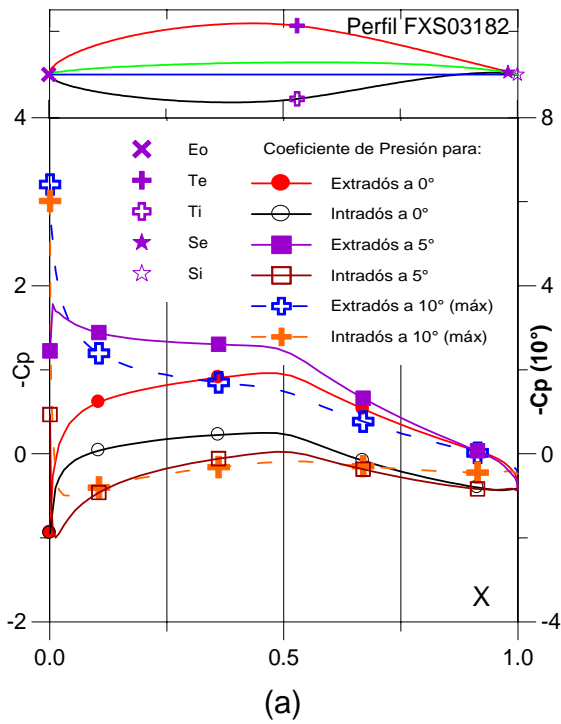


Fig. 5.3.127. (a) C_p (0° , 5° y Máx) vs. X para $Re = 1 E 6$ (leer $C_{p\text{máx}}$ a la derecha) y (b) Curvas Polares del Perfil FXS03182.

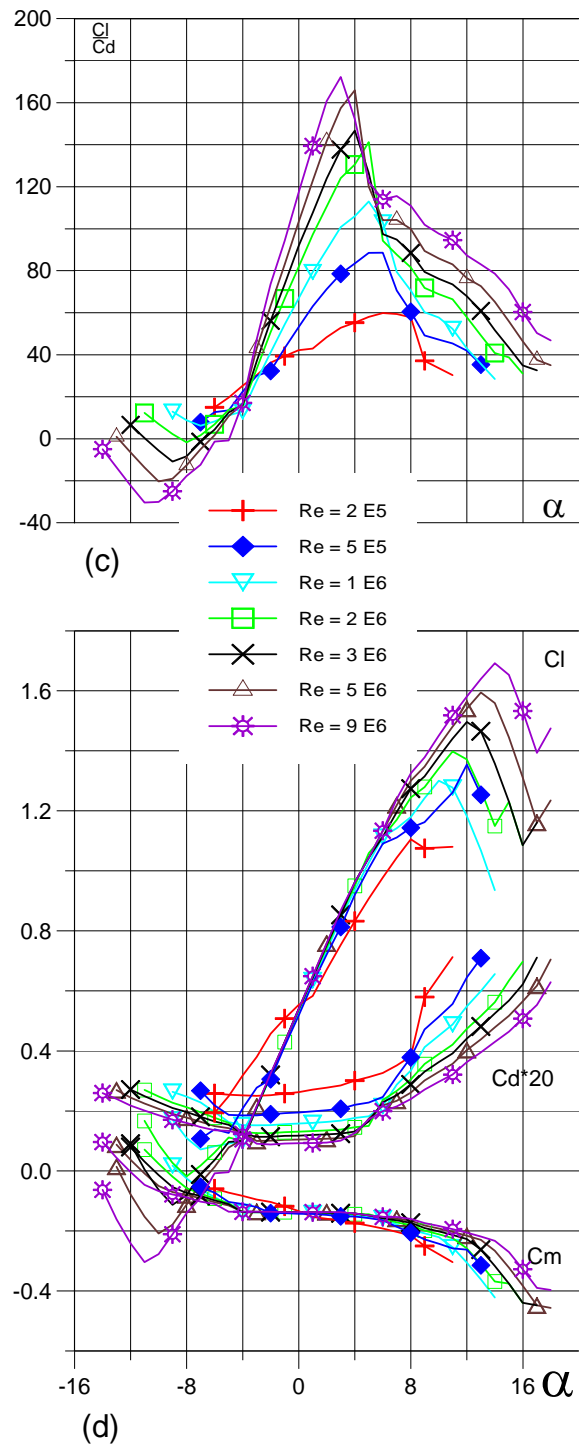


Fig. 5.3.128. (c) Curvas de C_l/C_d y (d) C_l , C_d , C_m vs. Ángulo de ataque del Perfil FXS03182.

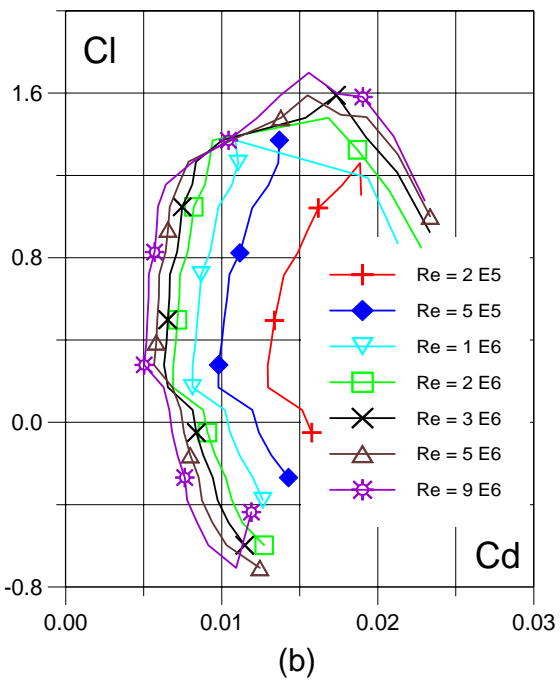
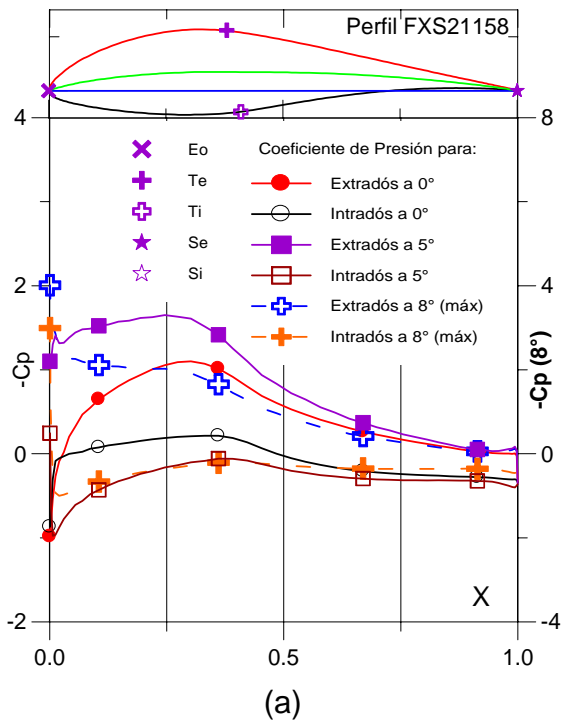


Fig. 5.3.129. (a) C_p (0°, 5° y Máx) vs. X para $Re = 1 E 6$ (leer $C_{p\text{máx}}$ a la derecha) y (b) Curvas Polares del Perfil FXS21158.

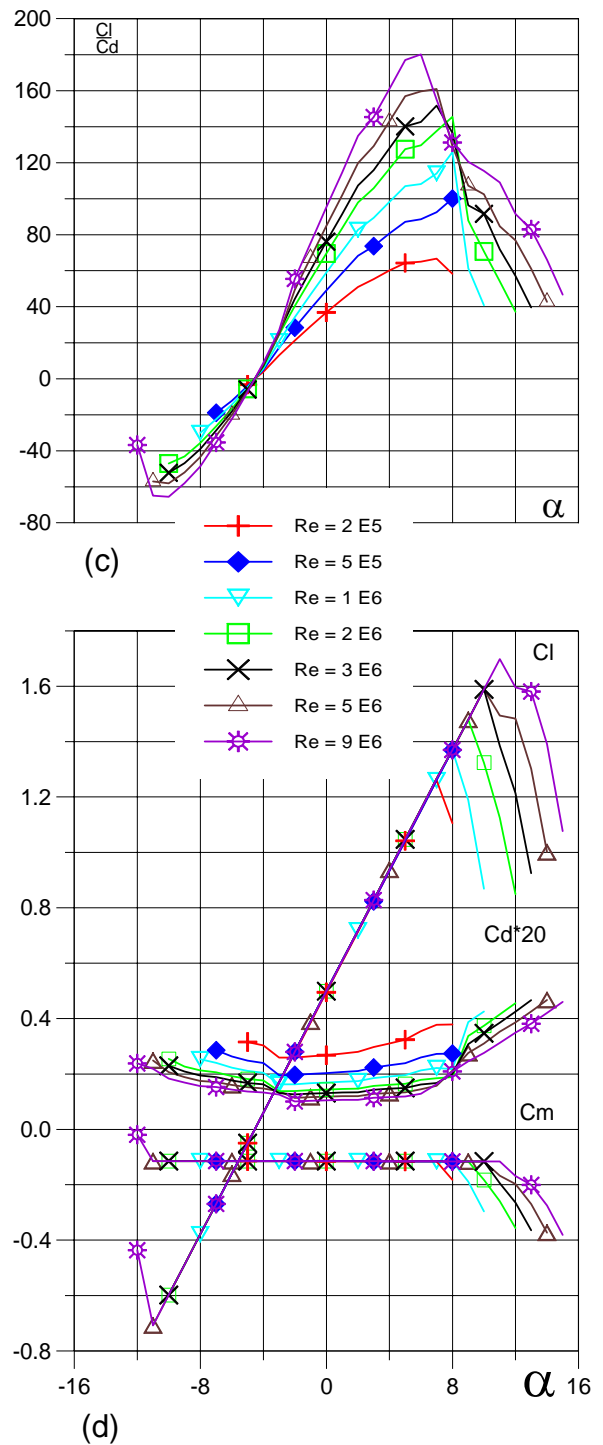


Fig. 5.3.130. (c) Curvas de Cl/Cd y (d) Cl , Cd , C_m vs. Ángulo de ataque del Perfil FXS21158.